



TUGAS AKHIR - SS141501

**PENGENDALIAN KUALITAS STATISTIK GULA
KRISTAL PUTIH DI PG REJO AGUNG BARU MADIUN
DENGAN DIAGRAM KENDALI MEWMV DAN MEWMA
MENGGUNAKAN PENDEKATAN MODEL *TIME SERIES***

**RETNO PUSPITANINGRUM
NRP 062114 4000 0035**

**Dosen Pembimbing
Dr. Drs. Agus Suharsono, MS
Novri Suhermi, S.Si, M.Sc.**

**PROGRAM STUDI SARJANA
DEPARTEMEN STATISTIKA
FAKULTAS MATEMATIKA, KOMPUTASI, DAN SAINS DATA
INSTITUT TEKNOLOGI SEPULUH NOPEMBER
SURABAYA 2018**



TUGAS AKHIR - SS141501

PENGENDALIAN KUALITAS STATISTIK GULA KRISTAL PUTIH DI PG REJO AGUNG BARU MADIUN DENGAN DIAGRAM KENDALI MEWMV DAN MEWMA MENGGUNAKAN PENDEKATAN MODEL *TIME SERIES*

RETNO PUSPITANINGRUM
NRP 062114 4000 0035

Dosen Pembimbing
Dr. Drs. Agus Suharsono, MS
Novri Suhermi, S.Si., M.Sc.

PROGRAM STUDI SARJANA
DEPARTEMEN STATISTIKA
FAKULTAS MATEMATIKA, KOMPUTASI, DAN SAINS DATA
INSTITUT TEKNOLOGI SEPULUH NOPEMBER
SURABAYA 2018



FINAL PROJECT - SS 141501

QUALITY CONTROL ANALYSIS IN THE PRODUCTION OF WHITE CRYSTAL SUGAR OF PG REJO AGUNG BARU MADIUN USING MEWMV AND MEWMA CONTROL CHART BASED ON TIME SERIES MODEL

**RETNO PUSPITANINGRUM
SN 062114 4000 0035**

Supervisor
Dr. Drs. Agus Suharsono, MS
Novri Suhermi, S.Si, M.Sc.

**UNDERGRADUATE PROGRAMME
DEPARTMENT OF STATISTICS
FACULTY OF MATHEMATICS, COMPUTING, AND DATA SCIENCE
INSTITUT TEKNOLOGI SEPULUH NOPEMBER
SURABAYA 2018**

LEMBAR PENGESAHAN

PENGENDALIAN KUALITAS STATISTIK GULA KRISTAL PUTIH DI PG REJO AGUNG BARU MADIUN DENGAN DIAGRAM KENDALI MEWMV DAN MEWMA MENGGUNAKAN PENDEKATAN MODEL TIME SERIES

TUGAS AKHIR

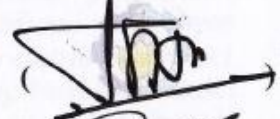
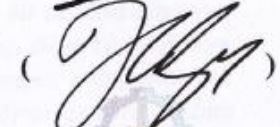
Diajukan untuk Memenuhi Salah Satu Syarat
Memperoleh Gelar Sarjana Sains
pada

Program Studi Sarjana Departemen Statistika
Fakultas Matematika, Komputasi, dan Sains Data
Institut Teknologi Sepuluh Nopember

Oleh :
RETNO PUSPITANINGRUM
NRP. 062114 4000 0035

Disetujui oleh Pembimbing:
Dr. Drs. Agus Suharsono, MS
NIP. 19580823 1984031 003

Novri Suhermi, S.Si, M.Sc.
NIP. 1992201711035

(
(



SURABAYA, JULI 2018

(Halaman ini sengaja dikosongkan)

**PENGENDALIAN KUALITAS STATISTIK GULA
KRISTAL PUTIH (GKP) DI PG REJO AGUNG BARU
MADIUN DENGAN DIAGRAM KENDALI MEWMV DAN
MEWMA MENGGUNAKAN PENDEKATAN MODEL
TIME SERIES**

Nama Mahasiswa : Retno Puspitaningrum
NRP : 062114 4000 0035
Departemen : Statistika
Dosen Pembimbing : Dr. Drs. Agus Suharsono, MS
Novri Suhermi, S.Si, M.Sc.

Abstrak

Terdapat 3 standar kualitas pada GKP (Gula Kristal Putih) di PG Rejo Agung Baru, yaitu kadar air (%), warna larutan (IU), dan besar jenis butir (mm). Asumsi yang harus dipenuhi untuk menggunakan diagram kendali adalah data berdistribusi normal dan independen. Namun tidak semua data yang dikendalikan memenuhi asumsi tersebut, penyebabnya adalah terdapat autokorelasi. Autokorelasi antar pengamatan menyebabkan munculnya false alarm. Pendekatan yang dapat dilakukan adalah menggunakan pendekatan residual dari model time series. Karakteristik kualitas GKP saling berkorelasi maka diagram kendali yang tepat dalam penelitian ini adalah diagram kendali MEWMV dan MEWMA. Hasil yang diperoleh dalam pengendalian variabilitas proses adalah dengan menggunakan bobot optimum $\omega=0.4$ dan $\lambda=0.2$ variabilitas proses belum terkendali. Sedangkan untuk mean proses dengan pembobot optimum $\lambda=0.1$ proses belum terkendali secara statistik. Faktor penyebab ketidaksesuaian dalam proses produksi dipengaruhi oleh faktor pekerja, mesin, dan metode. Indeks kapabilitas proses yang diperoleh adalah sebesar nilai MP_p dan MP_{pk} kurang dari 1 yaitu masing-masing sebesar 0.528 dan -0.495.

Kata Kunci : Besar Jenis Butir, GKP, Kadar Air, MEWMA, MEWMV, VAR, Warna Larutan

(Halaman ini sengaja dikosongkan)

QUALITY CONTROL ANALYSIS IN THE PRODUCTION OF WHITE CRYSTAL SUGAR (GKP) OF PG REJO AGUNG BARU MADIUN USING MEWMV AND MEWMA CONTROL CHART BASED ON TIME SERIES MODEL

Name : Retno Puspitaningrum
SN : 062114 4000 0035
Department : Statistics
Supervisor : Dr. Drs. Agus Suharsono
Novri Suhermi, S.Si., M.Sc.

Abstract

There are 3 quality standards in GKP, moisture (%), color of solution (IU), and grain type (mm). The three characteristics of these qualities are correlated. In the process of quality control using control chart, the basic assumption that must be met is the data has a normal distribution and independent. However, not all data meet these assumptions, the cause is there autocorrelation in observation data. Autocorrelation between observations will lead to the emergence of many false alarms. An approach that can be done if there is autocorrelation in the data is to use the residual approach of the time series model on the control chart. Quality characteristics of GKP are correlated, the control chart used in this research is MEWMV and MEWMA control chart. The results obtained in the process variability control is by using the optimum weight $\omega = 0.4$ and $\lambda = 0.2$ there are still 5 observations that are out of control. While for the mean process with optimum weighting $\lambda = 0.1$ the process has not been statistically controlled. Factors causing non-conformance in GKP production process are influenced by workers, raw materials, measurement, machinery, and methods. The process capability index obtained is MPp and MPpk value less than 1 that is 0.528 and -0.495.

Keywords: *Color of Solution, GKP, Grain, MEWMA, MEWMV, Moisture, VAR,*

(Halaman ini sengaja dikosongkan)

KATA PENGANTAR

Puji syukur penulis panjatkan atas rahmat dan hidayah yang diberikan Allah SWT sehingga penulis dapat menyelesaikan laporan Tugas Akhir yang berjudul **“Pengendalian Kualitas Statistik Gula Kristal Putih di PG Rejo Agung Baru madiun dengan Diagram Kendali MEWMV dan MEWMA Menggunakan Pendekatan Time Series”** dengan lancar.

Penulis menyadari bahwa Tugas Akhir ini dapat terselesaikan tidak terlepas dari bantuan dan dukungan berbagai pihak. Oleh karena itu, penulis menyampaikan terima kasih kepada :

1. Kedua orang tua penulis yaitu Bapak Sumiyardi dan Ibu Sri Isti Utami, atas segala doa, nasihat, kasih sayang, dan dukungan yang diberikan kepada penulis demi kesuksesan dan kebahagiaan penulis.
2. Dr. Suhartono selaku Ketua Departemen Statistika dan Dr. Sutikno, M.Si. selaku Ketua Program Studi Sarjana yang telah memberikan fasilitas, sarana, dan prasarana.
3. Dr. Drs. Agus Suharsono, MS dan Novri Suhermi, S.Si, M.Sc. selaku dosen pembimbing Tugas Akhir yang telah meluangkan waktu dan dengan sangat sabar memberikan bimbingan, saran, dukungan serta motivasi selama penyusunan Tugas Akhir.
4. Dr. Muhammad Mashuri, MT dan Diaz Fitra Aksioma, S.Si., M.Si. selaku dosen penguji yang telah banyak memberi masukan kepada penulis.
5. Pihak PG Rejo Agung Baru khususnya Mbak Opik selaku pembimbing lapangan yang sangat ramah dan mau membagi ilmu kepada penulis.
6. Seluruh Bapak/Ibu dosen Statistika atas segala bimbingan, masukan, dan ilmu yang telah diberikan.
7. Kakak penulis Rizky Bagus Wijanarko yang telah ikut mendukung dan mendoakan penulis agar dapat menyelesaikan tugas akhir tepat waktu.
8. Sahabat-sahabat penulis di masa perkuliahan, Hepta, Firdha, Ayuk, Agis, Dina, Anggun, Ridza, dan Ria selama ini telah

- membantu, mendukung, dan mendengarkan keluh kesah penulis selama masa perkuliahan berlangsung.
- 9. Sahabat penulis dari SMA, Very, Dila, Intan, Firda, Ulyl, Yoga, dan Anin yang selalu menghibur disaat penulis butuh motivasi walaupun terpisah jarak yang jauh.
 - 10. Teman-teman Statistika ITS 2014 dan semua pihak yang turut membantu dalam pelaksanaan Tugas Akhir yang tidak bisa penulis sebutkan satu persatu.
- Besar harapan penulis untuk mendapatkan kritik dan saran yang membangun sehingga Tugas Akhir ini dapat memberikan manfaat bagi semua pihak yang terkait.

Surabaya, Juli 2018

Penulis

DAFTAR ISI

	Halaman
HALAMAN JUDUL.....	i
COVER PAGE.....	ii
LEMBAR PENGESAHAN.....	iii
ABSTRAK.....	v
ABSTRACT	vii
KATA PENGANTAR.....	ix
DAFTAR ISI.....	xi
DAFTAR GAMBAR.....	xiii
DAFTAR TABEL.....	xv
DAFTAR LAMPIRAN.....	xvii
BAB I PENDAHULUAN	1
1.1 Latar Belakang	1
1.2 Rumusan Masalah	5
1.3 Tujuan	6
1.4 Manfaat	6
1.5 Batasan Masalah.....	6
BAB II TINJAUAN PUSTAKA	7
2.1 Analisis <i>Time Series</i>	7
2.2 Model <i>Vector Autoregressive (VAR)</i>	8
2.3 Stationeritas.....	9
2.3.1. Transformasi Box-Cox.....	9
2.3.2. Uji Stationer <i>Mean</i>	10
2.4 Identifikasi Model VAR.....	10
2.4.1 <i>Cross-Correlation Matrix Function</i>	11
2.4.2 <i>Partial Cross-Correlation Matrix Function</i>	12
2.5 Estimasi Parameter Model	13
2.6 Pemeriksaan Model (<i>Dignostic Check</i>) dan Pemilihan Model Terbaik	13
2.6.1 Uji Portmanteau	13
2.6.2 Uji Multivariat Normal.....	14
2.7 Korelasi Variabel.....	15
2.8 Pengendalian Kualitas Statistik.....	16
2.8.1 Diagram Kendali MEWMV	17

2.8.2	Diagram Kendali MEWMA	21
2.8.3	Analisis Kapabilitas Proses	22
2.9	Diagram Ishikawa.....	23
2.10	Proses Produksi GKP di PG Rejo Agung Baru	24
BAB III METODOLOGI PENELITIAN	29
3.1	Sumber Data	29
3.2	Variabel Penelitian	29
3.3	Langkah Penelitian	30
3.4	Diagram Alir Penelitian.....	33
BAB IV ANALISIS DAN PEMBAHASAN	35
4.1	Deskriptif Karakteristik Kualitas GKP	35
4.2	Pengecekan Autokorelasi.....	38
4.3	Pemodelan <i>Vector Autoregressive</i>	40
4.3.1	Identifikasi Kestrasioneran Varians Data	40
4.3.2	Identifikasi Kestationera Rata-rata Data	41
4.3.3	Penentuan Orde VAR	42
4.3.4	Estimasi Parameter.....	44
4.3.5	Pengujian Asumsi Residual.....	49
4.4	Pengendalian Kualitas GKP	51
4.4.1	Pengujian Asumsi Diagram Kendali	52
4.4.2	Pengendalian Kualitas Pada Variabilitas Proses Pembuatan GKP	52
4.4.3	Pengendalian Kualitas Pada Rata-Rata Proses Pembuatan GKP	58
4.4.4	Analisis Kapabilitas Kualitas Proses GKP	62
BAB V KESIMPULAN DAN SARAN	65
5.1	Kesimpulan	65
5.2	Saran	66
DAFTAR PUSTAKA	67
LAMPIRAN	71
BIODATA PENULIS	137

DAFTAR GAMBAR

Halaman

Gambar 4.1	Histogram (a) Kadar Air (b) Warna Larutan (c) BJB	37
Gambar 4.2	Plot ACF Kadar Air	38
Gambar 4.3	Plot ACF Warna Larutan (ICUMSA)	39
Gambar 4.4	Plot ACF BJB	39
Gambar 4.5	Plot MPACF.....	42
Gambar 4.6	Plot ACF Residual (a) Kadar Air (b) Warna Larutan (c) BJB.....	50
Gambar 4.7	Diagram Kendali MEWMV $\omega=0,2$ $\lambda=0,2$ dan $L=3,3086$	53
Gambar 4.8	Diagram Kendali MEWMV $\omega=0,4$ $\lambda=0,4$ dan $L=3,9219$	54
Gambar 4.9	Diagram Kendali MEWMV $\omega=0,4$ $\lambda=0,2$ dan $L=3,9063$	56
Gambar 4.10	Diagram Ishikawa Produk GKP.....	57
Gambar 4.11	Diagram Kendali MEWMV $\omega=0,4$ $\lambda=0,2$ dan $L=3,9063$ setelah perbaikan.....	58
Gambar 4.12	Diagram Kendali MEWMA dengan $\lambda=0,1$	59
Gambar 4.13	Diagram Kendali MEWMA dengan $\lambda=0,3$	60
Gambar 4.14	Diagram Kendali MEWMA dengan $\lambda=0,5$	60

(Halaman ini sengaja dikosongkan)

DAFTAR TABEL

	Halaman
Tabel 4.1 Karakteristik Kualitas GKP	36
Tabel 4.2 Identifikasi Kestationeran Varians Data	40
Tabel 4.3 Identifikasi Kestationeran Varians Data Setelah Transformasi.....	41
Tabel 4.4 Pengujian Stationeritas Data Dalam Rata-rata.....	41
Tabel 4.5 Nilai AIC VARI (1,1) hingga VARI (15,1).....	43
Tabel 4.6 Estimasi Parameter Model VARI (14,1)	44
Tabel 4.7 Uji Portmentau Model VAR 14.....	49
Tabel 4.8 Hasil Perhitungan BKA-BKB Diagram Kendali MEWMV.....	55
Tabel 4.9 Perhitungan Bobot Maksimum Diagram Kendali MEWMA.....	61
Tabel 4.10 Perhitungan Analisis Kapabilitas Univariat.....	62

(Halaman ini sengaja dikosongkan)

DAFTAR LAMPIRAN

Halaman

Lampiran A. Data Karakteristik Kualitas GKP PG Rejo Agung Baru Madiun.....	71
Lampiran B. <i>Time Series Plot</i> Karakteristik Kualitas GKP PG Rejo Agung Baru Madiun.....	72
Lampiran C. Plot Pengujian Stationer Dalam Varians Data Karakteristik Kualitas Kadar Air, Warna Larutan, dan BJB.....	73
Lampiran D. Data Karakteristik Kulitas GKP Stationer Dalam Varians.....	75
Lampiran E. Pengujian Stationer Dalam Rata-rata dengan Uji ADF Pada <i>Package Software R</i>	76
Lampiran F. Syntax VAR (1) Data Karakteristik Kualitas GKP.....	78
Lampiran G. Uji Portmanteau dan ACF Residual VARI (1,1) Hingga VARI (15,1)	79
Lampiran H. Output VARI (14,1) Data Karakteristik Kualitas GKP Periode Giling Tahun 2017.....	95
Lampiran I. Residual Pemodelan Data Karakteristik Kualitas GKP PG Rejo Agung Baru Madiun	116
Lampiran J. Pengujian Distribusi Multivariat Normal Pada <i>Package Software R</i>	117
Lampiran K. Pengujian Dependensi Variabel dengan Uji Bartlett menggunakan <i>Software SPSS</i>	118
Lampiran L. Tabel Nilai L dengan p=3.....	119
Lampiran M. Residual Kualitas GKP PG Rejo Agung Baru Madiun Setelah Dilakukan Pembuangan Data <i>Out of Control</i>	120
Lampiran N. Peta Kendali MEWMV	121
Lampiran O. Peta Kendali MEWMA.....	127

Lampiran P. Kapabilitas Proses GKP.....	130
Lampiran Q. Syntax MATLAB MEWMV.....	132
Lampiran R. Surat Permohonan Ijin Perusahaan.....	134
Lampiran S. Surat Keterangan Pengambilan Data	135

BAB I

PENDAHULUAN

1.1 Latar Belakang

Tebu atau *saccharum officinarum* (*sugarcane*) termasuk tanaman jenis rumput-rumputan yang dimanfaatkan air dari batangnya untuk bahan baku gula. Gula Kristal Putih (GKP) adalah gula kristal yang terbuat dari tebu atau bit melalui proses sulfitasi/karbonatasasi/fosfatasi atau proses lainnya sehingga langsung dapat dikonsumsi, hal ini dijelaskan dalam peraturan SNI 3140.3:2010. Gula pasir merupakan kebutuhan pokok strategis yang memegang peran penting di sektor pertanian, khususnya sub sektor perkebunan dalam perekonomian nasional, yaitu sebagai bahan pangan sumber kalori yang menempati urutan ke-4 setelah padi-padian, pangan hewani, minyak dan lemak (Sugiyanto, 2007). Sebagai salah satu bahan pokok, kebutuhan gula terus meningkat dari tahun ke tahun seiring dengan bertambahnya jumlah penduduk, pendapatan masyarakat, dan berkembangnya industri makanan dan minuman. Berdasarkan data Kementerian Pertanian kebutuhan gula Indonesia pada tahun 2009 adalah sebesar 2,593 juta ton, tahun 2010 sebesar 2,663 juta ton, tahun 2011 sebesar 2,692 juta ton, tahun 2012 sebesar 2,613 juta ton, tahun 2013 sebesar 2,642 juta ton, dan tahun 2014 kebutuhan gula mencapai 2,841 juta ton (Anonim, 2015). Dengan meningkatnya kebutuhan gula ini maka tahun 2019 mendatang pemerintah merencanakan untuk memenuhi program swasembada gula agar tidak melakukan import terus menerus (Idris, 2017). Hal ini menjadi tantangan bagi pabrik gula di seluruh Indonesia untuk mengasilkan gula kualitas premium karena kualitas produk merupakan faktor utama yang dipertimbangkan oleh konsumen untuk memilih suatu barang atau jasa yang mereka inginkan.

Pabrik Gula Rejo Agung Baru adalah salah satu pabrik gula yang berdiri dan masih aktif di Kota Madiun, Jawa Timur. Saat awal didirikan, pabrik ini hanya memiliki kapasitas produksi sebesar 2000 TCD. Pada tahun 2008 kapasitas produksi PG Rejo

Agung ditingkatkan menjadi 4500 TCD dan sistem pemurnian diubah menjadi Sulfitasi. Hingga kini PG Rejo Agung memiliki kapasitas produksi sebesar 6000 TCD. Produk utama dari PG Rejo Agung Baru Madiun adalah gula kemasan 50 Kg, 5 Kg, dan 0,5 Kg, dengan produk sampingan tetes, ampas tebu, dan pupuk organik.

Kualitas merupakan kemampuan suatu produk atau jasa untuk memuaskan dan memenuhi kebutuhan konsumen. Pengendalian kualitas adalah kegiatan memastikan apakah kebijakan dalam hal kualitas (standar) dapat tercermin dalam hasil akhir, atau dengan kata lain usaha untuk mempertahankan mutu atau kualitas dari barang-barang yang dihasilkan agar sesuai dengan spesifikasi produk yang telah ditetapkan berdasarkan kebijakan pimpinan. (Assauri, 1993). Peningkatan kualitas produk atau jasa perlu dilakukan oleh suatu perusahaan karena dapat meningkatkan penjualan dan mengurangi biaya karena peningkatan kualitas akan meningkatkan produktivitas dan mengurangi *rework*, bahan sisa, dan biaya garansi (Heizer, Render, & Munson, 2017).

Pengendalian kualitas di PG Rejo Agung Baru salah satunya dilakukan pada produk GKP. Terdapat 3 standar kualitas pada GKP, yaitu kadar air (%), warna larutan (IU), dan besar jenis butir (mm). Ketiga karakteristik kualitas tersebut saling berhubungan, yaitu jika kadar air dalam gula tinggi maka kristal gula akan menggumpal, sedangkan ketika ukuran butir gula kristal semakin besar maka warna larutan gula akan semakin coklat. Sebagai konsumen tentu lebih menyukai gula dengan kristal yang putih. Pengamatan karakteristik kualitas GKP dilakukan satu kali pada setiap shift, terdapat tiga shift kerja di PG Rejo Agung Baru. Pengendalian kualitas GKP yang dilakukan oleh pihak *quality control* dilakukan pada masing-masing karakteristik kualitas, namun pada kenyataannya ketiga variabel tersebut saling berhubungan. Hasil pengendalian kualitas pada masing-masing karakteristik kualitas menunjukkan beberapa nilai pengamatan kadar air, warna larutan, dan besar jenis butir masih

berada di luar batas spesifikasi. Oleh karena itu, Pabrik Gula Rejo Agung dapat menggunakan ilmu statistik untuk melakukan kontrol atau evaluasi proses demi meningkatkan kualitas produk agar sesuai dengan standar yang telah ditetapkan.

Dalam pengendalian kualitas statistik dikenal *seven tools quality control* yang terdiri dari lembar pemeriksaan, histogram, diagram pareto, diagram pencar, diagram sebab akibat, *defect concentration diagram*, dan diagram kendali. Diagram kendali adalah alat yang digunakan untuk melihat apakah suatu proses terkendali atau tidak secara statistik. Diagram kendali terdiri dari garis tengah yang menyatakan rata-rata dari nilai karakteristik kualitas, batas kendali atas, dan batas kendali bawah. Batas kendali ini digunakan untuk menentukan apakah suatu pengamatan *in control* atau *out of control* (Montgomery, 2013). Penggunaan diagram kendali pada penelitian disesuaikan pada pengamatan yang dilakukan. Terdapat dua jenis diagram kendali, yaitu diagram kendali univariat yang digunakan untuk mengendalikan proses dengan satu karakteristik kualitas dan diagram kendali multivariat yang digunakan untuk mengendalikan proses dengan karakteristik lebih dari satu di mana variabel kualitas tersebut memiliki hubungan (Heizer, Render, & Munson, 2017).

Pada proses pengendalian kualitas secara statistik menggunakan diagram kendali, asumsi dasar yang harus dipenuhi adalah data memiliki distribusi normal dan independen (Montgomery, 2013). Namun tidak semua data yang dikendalikan memenuhi asumsi dasar tersebut, salah satu penyebabnya adalah terdapat autokorelasi pada data pengamatan. Hal ini dapat terjadi ketika proses yang dilakukan secara terus-menerus atau kontinyu. Autokorelasi antar pengamatan akan membuat batas kendali pada diagram kendali konvensional menjadi semakin ketat dan menyebabkan munculnya banyak *false alarm* dan mengakibatkan terjadinya penurunan kemampuan mendeteksi perubahan proses (Psarakis & Papaleonida, 2007). Pendekatan yang dapat dilakukan jika terdapat autokorelasi pada data adalah dengan

menggunakan pendekatan residual dari model *time series* untuk digunakan pada peta kendali. Residual yang dihasilkan oleh model terbaik *time series* akan memenuhi asumsi independen dan identik (Alwan & Roberts, 1988). Selanjutnya residual yang diperoleh dari model terbaik *time series* tersebut akan dikendalikan menggunakan diagram kendali konvensional.

Karakteristik kualitas GKP saling berkorelasi maka diagram kendali yang tepat dalam penelitian ini adalah diagram kendali multivariat. Diagram kendali *Multivariate Exponentially Weighted Moving Variance* (MEWMV) merupakan diagram kendali multivariat untuk mendeteksi pergeseran variabilitas proses yang sangat kecil. Diagram kendali *Multivariate Exponentially Weighted Moving Average* (MEWMA) merupakan salah satu diagram kendali multivariat yang dapat mendeteksi perubahan rata-rata proses. MEWMA merupakan pengembangan diagram kendali *Exponentially Weighted Moving Average* (EWMA) yang digunakan untuk mengontrol kualitas data univariat. Kelebihan dari diagram kendali ini adalah lebih sensitif terhadap pergeseran data, sehingga data yang tidak terkendali akan lebih cepat terdeteksi. Selain itu diagram kendali ini *robust* terhadap distribusi normal (Montgomery, 2013).

Penelitian yang berkaitan dengan diagram kendali *multivariate* untuk data yang berautokorelasi dengan menggunakan pendekatan *time series* dilakukan oleh Jarret dan Pan (2006). Pada penelitian tersebut dilakukan estimasi dan pemilihan model terbaik sehingga diperoleh residual dari data kemudian menggunakan pada diagram kontrol VAR. Penelitian menggunakan diagram kendali MEWMV dan MEWMA dilakukan oleh Harianja (2016) mengenai analisis kualitas tetes PG Krembung Sidoarjo. Diketahui bahwa variabilitas dan rata-rata proses produksi tetes pada fase satu dan dua belum terkendali. Pembobot optimum dalam mendeteksi variabilitas proses adalah $\lambda=0,7$ dan $\omega=0,1$, sedangkan pembobot optimum dalam mendeteksi rata-rata proses adalah $\lambda=0,8$.

Penelitian yang berkaitan dengan metode T^2 Hotelling dengan pendekatan *time series* VAR dilakukan oleh Putri (2015) untuk melakukan pengendalian kualitas tetes di PG Pesantren Baru Kediri. Pada penelitian ini dicari model terbaik untuk variabel tingkat kemurnian dan kadar gula dengan menggunakan metode VAR sehingga diperoleh residual model terbaik yang kemudian dikendalikan dengan menggunakan diagram kendali *Generalized Variance* pada pengendalian varians dan diagram kendali T^2 Hotelling untuk mengendalikan *mean* proses.

Berdasarkan uraian diatas, dalam penelitian ini pengendalian kualitas GKP dilakukan dengan menggunakan diagram kendali MEWMA dan MEWMV dengan pendekatan *time series* VAR. Data yang digunakan adalah data sekunder periode giling Tahun 2017 yang diperoleh dari departemen *Quality Control* PG Rejo Agung Baru Madiun dengan menggunakan tiga variabel kualitas GKP. Ketiga variabel yang diukur adalah kadar air, warna larutan, dan besar jenis butir. Diharapkan hasil analisis penelitian ini dapat memberikan informasi mengenai pengendalian kualitas GKP secara statistik pada PG Rejo Agung Baru Madiun sehingga dapat dilakukan peningkatan kualitas pada periode giling mendatang.

1.2 Rumusan Masalah

Pengendalian kualitas di Pabrik Gula Rejo Agung Baru dilakukan dengan analisis statistika deskriptif. Karakteristik kualitas proses diukur secara univariat padahal pada ketiga karakteristik kualitas yaitu, kadar air, warna, dan besar jenis butir, memiliki hubungan yang erat yaitu jika kadar air dalam gula tinggi maka kristal gula akan menggumpal, sedangkan ketika ukuran butir gula kristal semakin besar maka warna larutan gula akan semakin coklat. Selain itu diduga data antar pengamatan berautokorelasi dikarenakan proses produksi yang kontinyu. Oleh karena itu akan digunakan diagram kendali MEWMV dan MEWMA dari residual model terbaik *time series* VAR terpilih. Kemudian perlu dilakukan penilaian kebaikan pada proses pembuatan GKP dengan menggunakan indeks kapabilitas proses.

1.3 Tujuan

Berdasarkan rumusan masalah yang telah disusun, tujuan yang ingin dicapai dalam penelitian ini adalah sebagai berikut memonitor variabilitas dan rata-rata proses pembuatan GKP di PG Rejo Agung Baru Madiun dengan menggunakan diagram kendali MEWMV dan MEWMA dengan pendekatan *time series*, serta menganalisis kapabilitas proses produksi GKP produksi PG Rejo Agung Baru Madiun.

1.4 Manfaat

Manfaat dari penelitian ini adalah sebagai informasi untuk PG Rejo Agung Baru Madiun mengenai pengendalian kualitas GKP secara statistik menggunakan diagram kendali kendali MEWMV dan MEWMA dengan pendekatan *time series* sehingga dapat dijadikan pertimbangan dalam pengendalian kualitas pada periode giling selanjutnya.

1.5 Batasan Masalah

Batasan masalah pada penelitian ini adalah sebagai berikut,

1. Karakteristik kualitas yang digunakan adalah sebanyak 3 dari 11 karakteristik kualitas, yakni besar jenis butir, warna larutan dan kadar air.
2. Pemodelan time series hanya menggunakan model VAR.
3. Pembobot yang digunakan pada diagram kendali MEWMV $0,1 \leq \omega \leq 0,4$ dan $0,1 \leq \lambda \leq 0,4$ dengan selisih 0,1 tiap pembobotnya. Sedangkan pembobot pada diagram kendali MEWMA adalah $0,1 \leq \lambda \leq 0,9$.

BAB II

TINJAUAN PUSTAKA

Pada proses pengendalian kualitas secara statistik menggunakan diagram kendali, asumsi dasar yang harus dipenuhi adalah data memiliki distribusi normal dan independen (Montgomery, 2013). Ketika data tidak berdistribusi normal multivariat maka dapat digunakan peta kendali yang *robust* terhadap asumsi saat berdistribusi normal. Namun tidak semua data yang dikendalikan memenuhi asumsi dasar saling independen antar data pengamatan, salah satu penyebabnya adalah terdapat autokorelasi pada data pengamatan. Hal ini dapat terjadi ketika proses yang dilakukan secara terus-menerus atau kontinyu. Autokorelasi antar pengamatan akan membuat batas kendali pada diagram kendali konvensional menjadi semakin ketat dan menyebabkan munculnya banyak *false alarm* dan mengakibatkan terjadinya penurunan kemampuan mendeteksi perubahan proses (Psarakis & Papaleonida, 2007). Pendekatan yang dapat dilakukan jika terdapat autokorelasi pada data adalah dengan menggunakan pendekatan residual dari model *time series* untuk digunakan pada peta kendali. Residual yang dihasilkan oleh model terbaik *time series* akan memenuhi asumsi independen dan identik (Alwan & Roberts, 1988).

Bab ini membahas mengenai analisis *time series*, *vector autoregressive*, stasioneritas, identifikasi model *time series*, estimasi parameter model, pemeriksaan model (*diagnostic checking*) dan pemilihan model terbaik, uji dependensi variabel, pengendalian kualitas statistik, serta proses produksi GKP di PG Rejo Agung Baru Madiun.

2.1 Analisis *Time Series*

Data deret waktu (*time series*) adalah rangkaian pengamatan yang diambil dari waktu ke waktu dan dicatat secara berurutan menurut urutan waktu kejadianya dengan interval waktu yang tetap sehingga data periode sekarang memiliki korelasi dengan data periode sebelumnya (Wei, 2006). Terdapat

dua jenis data *time series* yakni univariat dan multivariat. Pada kasus *univariate time series* hanya terdapat satu variabel yang saling berautokorelasi, sedangkan dalam kasus *multivariate time series* terdapat lebih dari satu variabel yang saling berhubungan timbal balik. Salah satu metode yang sering digunakan menurut Wei (2006) dalam *multivariate time series* adalah *Vector Autoregressive* (VAR) karena metode ini mudah digunakan dibanding metode lain.

2.2 Model *Vector Autoregressive* (VAR)

Model *Vector Autoregressive* (VAR) adalah pengembangan model *Univariate Autoregressive* (AR). Perbedaan antara model VAR dan AR adalah model AR hanya dapat diidentifikasi dengan menggunakan plot ACF sedangkan model VAR dapat diidentifikasi menggunakan plot *Partial Cross-Correlation Matrix Function*. Model VAR digunakan untuk memodelkan data dengan dua atau lebih variabel yang memiliki hubungan. Menurut Wei (2006), bentuk umum dari model VAR adalah sebagai berikut:

$$\mathbf{Z}_t = \boldsymbol{\mu} + \Phi_1 \mathbf{Z}_{t-1} + \dots + \Phi_p \mathbf{Z}_{t-p} + \mathbf{a}_t, \quad (2.1)$$

dengan

\mathbf{Z}_t : vektor berukuran $m \times 1$ dari variabel pada waktu ke- t

$\boldsymbol{\mu}$: vektor konstanta

Φ_1 : matriks berukuran $m \times m$ dari parameter ke-1

Φ_p : matriks berukuran $m \times m$ dari parameter ke- p

\mathbf{a}_t : vektor berukuran $m \times 1$ yang merupakan residual parameter pada waktu ke- t .

Di mana m adalah banyaknya karakteristik kualitas. Persamaan (2.1) dapat dibentuk dalam bentuk matriks pada persamaan berikut.

$$\begin{bmatrix} Z_{1,t} \\ \vdots \\ Z_{m,t} \end{bmatrix} = \begin{bmatrix} \boldsymbol{\mu}_1 \\ \vdots \\ \boldsymbol{\mu}_m \end{bmatrix} + \begin{bmatrix} \phi_{111} & \cdots & \phi_{11m} \\ \vdots & \ddots & \vdots \\ \phi_{1mm} & \cdots & \phi_{1mm} \end{bmatrix} \begin{bmatrix} Z_{1,t-1} \\ \vdots \\ Z_{m,t-1} \end{bmatrix} + \dots +$$

$$\begin{bmatrix} \phi_{p11} & \cdots & \phi_{plm} \\ \vdots & \ddots & \vdots \\ \phi_{pm1} & \cdots & \phi_{pmm} \end{bmatrix} + \begin{bmatrix} Z_{1,t-p} \\ \vdots \\ Z_{m,t-p} \end{bmatrix} + \begin{bmatrix} a_{1,t} \\ \vdots \\ a_{m,t} \end{bmatrix}. \quad (2.2)$$

2.3 Stationeritas

Data yang akan dianalisis menggunakan pemodelan *time series* harus stasioner dalam varians dan *mean*. Suatu data dapat dikatakan stasioner apabila data tersebut berada pada nilai rata-rata yang konstan, tidak bergantung pada waktu dan variansi konstan selama waktu tertentu (Makridakis, Wheelwright, & Hyndman, 1983). Untuk menstationerkan data dalam varians digunakan transformasi Box-Cox sedangkan pengujian stationeritas dalam *mean* yang digunakan adalah Augmented Dickey-Fuller.

2.3.1. Transformasi Box-Cox

Dalam suatu data *time series* dapat terjadi ketidakstasioneran dalam varians. Apabila hal tersebut terjadi maka perlu dilakukan transformasi agar varians stabil. Menurut Wei (2006), transformasi Box-Cox merupakan salah satu metode yang dapat digunakan untuk dapat menstabilkan varians. Secara umum dapat digunakan transformasi pangkat yang dikenalkan oleh Box-Cox (1964) pada persamaan sebagai berikut:

$$T(Z_t) = \frac{Z_t^\kappa - 1}{\kappa}, \quad (2.3)$$

κ (*rounded value*) dan transformasi yang sering digunakan diberikan pada Tabel 2.1 sebagai berikut:

Tabel 2.1 Transformasi Box-Cox

Nilai κ	Transformasi
-1,0	$1/Z_t$
-0,5	$1/\sqrt{Z_t}$
0	$\ln Z_t$
0,5	$\sqrt{Z_t}$
1	Z_t

Dari Tabel 2.1 diketahui bahwa suatu data *time series* dikatakan stationer dalam varians apabila nilai κ sama dengan 1.

2.3.2. Uji Stationer Mean

Pengujian stationeritas terhadap *mean* dilakukan dengan menggunakan uji Augmented Dickey-Fuller (Gujarati, Damodar, & Porter, 2015). Uji Augmented Dickey-Fuller merupakan perluasan dari uji Dickey-Fuller. Model yang digunakan dalam uji ADF adalah sebagai berikut.

$$\Delta Z_t = \beta_1 + \beta_2 t + \delta Z_{t-1} + \sum_{i=1}^k \alpha_i \Delta Z_{t-i} + \varepsilon_t, \quad (2.4)$$

di mana β_1 adalah koefisien, β_2 adalah koefisien tren terhadap waktu, δ adalah koefisien estimasi pada Z_{t-i} , ε_t adalah *error* yang bersifat *white noise* murni dan $\Delta Z_{t-i} = Z_{t-i} - Z_{t-i-1}$.

Pada pengujian menggunakan Augmented Dickey-Fuller, hipotesis yang digunakan adalah sebagai berikut,

$H_0 : \gamma = 0$ (data tidak stationer dalam *mean*)

$H_1 : \gamma \neq 0$ (data stationer dalam *mean*)

Statistik uji yang digunakan dalam uji Augmented Dickey-Fuller adalah sebagai berikut.

$$\tau = \frac{\hat{\gamma}}{SE(\hat{\gamma})}. \quad (2.5)$$

Apabila $|\tau| > \tau_{(\alpha,n)}$ atau *p-value* yaitu $P(|\tau| > \tau_{(\alpha,n)})$ di mana $\tau \sim \tau_{(\alpha,n)}$ yang diperoleh kurang dari taraf signifikan yang telah ditetapkan maka tolak H_0 atau dapat disimpulkan bahwa data telah stasioner dalam *mean*. Apabila terjadi ketidakstasioneran dalam *mean* maka dilakukan metode pembedaan atau *differencing* (Makridakis, Wheelwright, & Hyndman, 1983).

2.4 Identifikasi Model VAR

Identifikasi model pada *multivariat time series* dapat dilakukan dengan melihat pola yang terbentuk dari fungsi *Matrix*

Cross-Correlation Function dan *Matrix Partial Cross-Correlation Function*.

2.4.1 Cross-Correlation Matrix Function

Menurut Wei (2006), apabila terdapat n pengamatan, matriks fungsi autokorelasi dituliskan dalam persamaan berikut:

$$\hat{\rho}(k) = [\hat{\rho}_{ij}(k)], \quad (2.6)$$

$\hat{\rho}_{ij}(k)$ adalah *cross-correlation* sampel untuk komponen ke- i dan ke- j dalam sebuah estimator yang mendekati distribusi normal pada sebuah proses vektor yang stasioner $\hat{\rho}_{ij}(k)$ dapat diperoleh pada persamaan berikut

$$\hat{\rho}_{ij}(k) = \frac{\sum_{t=1}^{n-k} (Z_{i,t} - \bar{Z}_i)(Z_{j,t+k} - \bar{Z}_j)}{\left(\sum_{t=1}^n (Z_{i,t} - \bar{Z}_i)^2 \sum_{t=1}^n (Z_{j,t} - \bar{Z}_j)^2 \right)^{\frac{1}{2}}}. \quad (2.7)$$

Matriks fungsi korelasi sampel dapat digunakan untuk mengidentifikasi orde model *Vector Moving Average* (VMA). Namun dalam penerapannya, bentuk matriks dan grafik akan semakin kompleks karena peningkatan dimensi vektor, sehingga untuk megatasi hal tersebut dapat digunakan metode koefisien dengan menggunakan tanda (+), (-), dan (.) (Tiao & Box, 1981). Tanda (+) menotasikan nilai $\hat{\rho}_{ij}(k)$ yang lebih besar dari 2 kali estimasi *standard error* yang menunjukkan hubungan korelasi positif, tanda (-) menotasikan nilai $\hat{\rho}_{ij}(k)$ yang lebih kecil -2 kali estimasi *standard error* dan menunjukkan hubungan korelasi negatif. Serta tanda (.) menotasikan $\hat{\rho}_{ij}(k)$ yang terletak diantara ± 2 kali estimasi *standard error* dan menunjukkan tidak adanya hubungan. Estimasi standard error sendiri adalah $1/\sqrt{n}$ dengan n adalah jumlah pengamatan.

2.4.2 Partial Cross-Correlation Matrix Function

Orde model vektor AR dapat ditentukan dari *partial autocorrelation matrix function*. Menurut Tiao & Box (1981) dalam Wei (2006), *partial autocorrelation matrix function* pada lag k yang dinotasikan sebagai $\varphi(k)$, didapatkan dari persamaan berikut

$$\varphi(k) = \begin{cases} \Gamma'(1)[\Gamma'(0)]^{-1}, & k=1 \\ \left\{ \Gamma'(k) - \mathbf{c}'[\mathbf{A}'(k)]^{-1}\mathbf{b}(k) \right\} \left\{ \Gamma'(0) - \mathbf{b}'(k)[\mathbf{A}'(k)]^{-1}\mathbf{b}(k) \right\}^{-1}, & k>1 \end{cases} \quad (2.8)$$

Apabila $k \geq 2$ maka nilai $\mathbf{A}(k)$, $\mathbf{b}(k)$ dan $\mathbf{c}(k)$ adalah sebagai berikut.

$$\mathbf{A}(k) = \begin{bmatrix} \Gamma(0) & \Gamma'(0) & \dots & \Gamma'(k-2) \\ \Gamma(1) & \Gamma(0) & \dots & \Gamma'(k-3) \\ \vdots & \vdots & \ddots & \vdots \\ \Gamma(k-2) & \Gamma(k-3) & \dots & \Gamma(0) \end{bmatrix}, \quad (2.9)$$

$$\mathbf{b}(k) = \begin{bmatrix} \Gamma'(k-1) \\ \Gamma'(k-2) \\ \vdots \\ \Gamma'(1) \end{bmatrix}, \quad (2.10)$$

$$\mathbf{c}(k) = \begin{bmatrix} \Gamma(1) \\ \Gamma(2) \\ \vdots \\ \Gamma(k-1) \end{bmatrix}, \quad (2.11)$$

di mana $\Gamma(k)$ merupakan matriks kovarians yang dapat diperoleh dari persamaan berikut

$$\Gamma(k) = \frac{1}{n} \sum_{k=1}^{n-k} (\mathbf{Z}_t - \bar{\mathbf{Z}})(\mathbf{Z}_{t-k} - \bar{\mathbf{Z}})', \text{ dengan } k=1,2,\dots \quad (2.12)$$

Identifikasi orde nantinya pada serangkaian observasi nilai-nilai yang diperoleh juga disimbolkan dengan metode koefisien yang telah dijelaskan sebelumnya pada *cross correlation matrix function*.

2.5 Estimasi Parameter Model

Salah satu metode yang dapat digunakan untuk estimasi parameter model VAR (p) adalah metode *Least Square* dengan estimasi yang diperoleh sebagai berikut (Tsay, 2014).

$$\hat{\phi} = (\mathbf{X}'\mathbf{X})^{-1}\mathbf{X}'\mathbf{Z}. \quad (2.13)$$

Hipotesis yang digunakan untuk signifikansi parameter yang diperoleh dari metode *least square* adalah sebagai berikut

$$H_0: \phi_p = 0 \text{ (parameter tidak signifikan)}$$

$$H_1: \phi_p \neq 0 \text{ (parameter sudah signifikan)}$$

Statistik uji yang digunakan dalam pengujian ini adalah sebagai berikut.

$$t = \frac{\hat{\phi}}{SE(\hat{\phi})}. \quad (2.14)$$

H_0 tolak apabila $|t_{hitung}| > t_{\alpha/2,(n,p)}$ atau *p-value* yang diperoleh kurang dari taraf signifikan yang telah ditetapkan.

2.6 Pemeriksaan Model (*Diagnostic Check*) dan Pemilihan Model Terbaik

Parameter yang telah signifikan pada model VAR, akan dilakukan pemeriksaan diagnostik pada residual \hat{a}_t . Model VAR yang dieproleh dikatakan sesuai apabila residual dari model tersebut memenuhi asumsi *white noise* dan asumsi distribusi multivariat normal.

2.6.1 Uji Portmanteau

Untuk menguji apakah residual telah memenuhi asumsi *white noise* sampai lag ke- k atau belum dapat menggunakan Uji *Portmanteau* dengan hipotesis sebagai berikut.

$$H_0 : \mathbf{R}_i = (R_1, R_2, \dots, R_p) = 0 \text{ (residual model VAR (p) memenuhi asumsi } white noise)$$

$$H_1 : \mathbf{R}_i \neq (R_1, R_2, \dots, R_p) \neq 0 \text{ (residual model VAR (p) tidak memenuhi asumsi } white noise)$$

Statistik uji yang digunakan pada pengujian *portmanteau* adalah sebagai berikut (Lutkepohl, 2005).

$$Q_k = n \sum_{i=1}^k \text{tr}(\hat{\mathbf{C}}_k' \hat{\mathbf{C}}_0^{-1} \hat{\mathbf{C}}_k \hat{\mathbf{C}}_0^{-1}), \quad (2.15)$$

di mana

$$\mathbf{C}_k = n^{-1} \sum_{k+1}^n \hat{\mathbf{a}}_t \hat{\mathbf{a}}_{t-k}' \quad (2.16)$$

dengan,

n : ukuran sampel

$\hat{\mathbf{C}}_0^{-1}$: invers estimator residual matriks varians-covarian Σ

$\hat{\mathbf{C}}_k'$: transformasi dari $\hat{\mathbf{C}}_k'$

$\hat{\mathbf{C}}_k'$: matriks autokovarians dari vektor residual a_t , dengan $k=1,2,\dots$

H_0 ditolak ketika $Q_k > \chi^2_{(m^2 K)}$ atau *p-value* yang diperoleh kurang dari taraf signifikan yang telah ditetapkan.

2.6.2 Uji Multivariat Normal

Distribusi multivariat normal adalah perluasan dari distribusi univariat normal dengan jumlah variabel yang lebih dari satu. Distribusi ini digunakan pada sekelompok data yang memiliki hubungan (Johnson & Wichern, 2007). Distribusi normal multivariat diuji dengan pengujian Shapiro Wilk menggunakan hipotesis sebagai berikut (Alva & Estrada, 2009).

H_0 : Data berdistribusi normal multivariat

H_1 : Data tidak berdistribusi normal multivariat
dengan statistik uji :

$$W^* = \frac{1}{m} \sum_{j=1}^m W_o, \quad (2.17)$$

di mana,

$$W_o = \frac{d^2}{S^2} \quad (2.18)$$

dengan

$$d = \sum_{t=1}^n g_t \hat{a}_{(t)}, \quad (2.19)$$

$$s^2 = \sum_{t=1}^n (\hat{a}_t - \bar{\hat{a}})^2 \quad (2.20)$$

Variabel dikatakan mengikuti distribusi normal multivariat jika nilai statistik uji W^* mendekati 1, namun jika nilai statistik uji W^* kecil atau jauh dari 1 maka dikatakan tidak mengikuti distribusi normal multivariat. H_0 ditolak ketika $W^* > C_{(\alpha,n,m)}$ atau $p\text{-value}$ yaitu $P(W^* > C_{(\alpha,n,m)})$ di mana $W^* \sim C_{(\alpha,n,m)}$ bernilai kurang dari α . Nilai g adalah nilai koefisien tabel normal.

2.6.3 Pemilihan Model Terbaik

Akaike Information Criterion (AIC) merupakan kriteria yang dapat digunakan untuk menentukan model terbaik (Wei, 2006) pada persamaan berikut:

$$AIC(p) = \ln(|\hat{\Sigma}_p|) + \frac{2pm^2}{n} \quad (2.21)$$

dengan $|\hat{\Sigma}_p|$ adalah determinan dari matriks varians kovarians residual dan m adalah jumlah karakteristik kualitas, dan n adalah ukuran sampel. Model terbaik merupakan model yang memiliki AIC yang kecil.

2.7 Korelasi Variabel

Residual yang diperoleh dari hasil analisis akan dianggap sebagai observasi pengamatan yang terbaru. Pengujian korelasi bertujuan untuk mengetahui hubungan antara semua variabel data pengamatan dalam kasus multivariat. Uji korelasi yang digunakan adalah uji Bartlett. Hipotesis yang digunakan dalam uji Bartlett adalah sebagai berikut (Morrison, 1990).

$H_0 : \rho = \mathbf{I}$ (tidak ada korelasi antar variabel)

$H_1 : \rho \neq \mathbf{I}$ (ada korelasi antara variabel)

Statistik uji dalam uji Bartlett dituliskan dalam rumus berikut

$$\chi^2 = -\left(n-1-\frac{2m+5}{6}\right)\ln|R|. \quad (2.22)$$

Dengan,

n = ukuran sampel

m = jumlah variabel

R = matriks korelasi antar variabel

Variabel dikatakan berkorelasi ketika $\chi^2 \geq \chi^2_{(\alpha, \frac{1}{2}m(m-1))}$ atau p -value yaitu $P(\chi^2 \geq \chi^2_{(\alpha, \frac{1}{2}m(m-1))})$ di mana $\chi^2 \sim \chi^2_{(\alpha, \frac{1}{2}m(m-1))}$ kurang dari α .

$$R = \begin{pmatrix} 1 & r_{12} & r_{13} & \cdots & r_{1p} \\ r_{21} & 1 & r_{22} & \cdots & r_{2p} \\ r_{31} & r_{32} & 1 & \cdots & r_{3p} \\ \vdots & \vdots & \vdots & \ddots & \vdots \\ r_{p1} & r_{p2} & r_{p3} & \cdots & 1 \end{pmatrix},$$

di mana :

$$r_{jk} = \frac{\sum_{t=1}^n (\hat{a}_{tj} - \bar{\hat{a}}_j)(\hat{a}_{tk} - \bar{\hat{a}}_k)}{\sqrt{\sum_{t=1}^n (\hat{a}_{tj} - \bar{\hat{a}}_j)^2} \sqrt{\sum_{t=1}^n (\hat{a}_{tk} - \bar{\hat{a}}_k)^2}}, \quad (2.23)$$

2.8 Pengendalian Kualitas Statistik

Tujuan dari pengendalian kualitas proses menurut Srinivasu (2009) adalah menggambarkan variabilitas dari suatu proses baik yang dapat dikendalikan dan tidak. Salah satu alat dalam pengendalian kualitas adalah diagram kendali atau *control chart*. Diagram kendali adalah alat yang digunakan untuk melihat apakah suatu proses terkendali atau tidak secara statistik.

Terdapat dua jenis karakteristik kualitas, yaitu kualitas variabel dan atribut. Karakteristik kualitas variabel adalah karakteristik kualitas produk yang dinyatakan dengan besaran yang dapat diukur, sedangkan karakteristik kualitas atribut adalah

karakteristik kualitas suatu produk yang dinyatakan dengan kategori tertentu, yaitu cacat dan produk baik. Terdapat dua jenis diagram kendali, yaitu diagram kendali univariat yang digunakan untuk mengendalikan proses dengan satu karakteristik kualitas dan diagram kendali multivariat yang digunakan untuk mengendalikan proses dengan karakteristik lebih dari satu di mana variabel kualitas tersebut memiliki hubungan (Heizer, Render, & Munson, 2017). Salah satu peta kendali untuk memonitor variabilitas proses dengan variabel kualitas lebih dari satu dan memiliki hubungan adalah MEWMV sedangkan peta kendali untuk memonitor rata-rata proses adalah peta kendali MEWMA.

2.8.1 Diagram Kendali MEWMV

Diagram kendali MEWMV digunakan untuk mendeteksi pergeseran variabilitas proses pada kasus multivariat tanpa adanya asumsi tidak terjadi perubahan rata-rata proses selama periode pengontrolan berlangsung (Huwang, Yeh, & Wu, 2007). Berikut merupakan perumusan diagram kendali MEWMV

$$\mathbf{V}_n = \omega(\mathbf{x}_n - \mathbf{y}_n)(\mathbf{x}_n - \mathbf{y}_n)' + (1 - \omega)\mathbf{V}_{n-1}, \quad (2.24)$$

ω = besar pembobot bernilai $0 < \omega < 1$ dan

$$\mathbf{V}_0 = (\mathbf{x}_1 - \mathbf{y}_1)(\mathbf{x}_1 - \mathbf{y}_1)'$$

Estimasi dari y_n untuk perubahan rata-rata proses pada waktu ke n yang didefinisikan sebagai berikut (Lowry dkk., 1992)

$$y_n = \lambda x_n + (1 - \lambda)y_{n-1}, \quad (2.25)$$

dengan $0 < \lambda < 1$ dan $y_0 = 0$, untuk mendeteksi adanya perubahan matriks kovarians dapat dilakukan dengan persamaan berikut

$$\mathbf{X} = \begin{bmatrix} x_1 \\ x_2 \\ \vdots \\ x_n \end{bmatrix} \text{ dan } \mathbf{Y} = \begin{bmatrix} y_1 \\ y_2 \\ \vdots \\ y_n \end{bmatrix} \quad (2.26)$$

n adalah banyaknya pengamatan yang dilakukan dengan m adalah banyaknya variabel karakteristik kualitas. Untuk mengetahui perubahan dalam matriks kovarians, maka harus didefinisikan suatu matriks \mathbf{C} , \mathbf{C} adalah matriks diagonal berukuran $n \times n$

dengan ω sebagai elemen *smoothing constant*. Matriks ini menunjukkan suatu nilai pembobot dari \mathbf{V}_n yang dapat dituliskan

$$\mathbf{C} = \begin{bmatrix} (1-\omega)^{n-1} & 0 & 0 & \cdots & 0 \\ 0 & \omega(1-\omega)^{n-2} & 0 & \cdots & 0 \\ 0 & 0 & \ddots & 0 & 0 \\ \vdots & \vdots & 0 & \omega(1-\omega) & \vdots \\ 0 & 0 & \cdots & 0 & \omega \end{bmatrix}.$$

Untuk masing-masing nilai n , persamaan (2.24) dapat dijabarkan sebagai berikut.

Untuk $n = 1$,

$$\mathbf{V}_1 = \omega(\mathbf{x}_1 - \mathbf{y}_1)(\mathbf{x}_1 - \mathbf{y}_1)' + (1-\omega)\mathbf{V}_0.$$

Untuk $n = 2$,

$$\mathbf{V}_2 = \omega(\mathbf{x}_2 - \mathbf{y}_2)(\mathbf{x}_2 - \mathbf{y}_2)' + \omega(1-\omega)(\mathbf{x}_1 - \mathbf{y}_1)(\mathbf{x}_1 - \mathbf{y}_1)' + (1-\omega)^2\mathbf{V}_0.$$

Untuk $n = 3$,

$$\mathbf{V}_3 = \omega(\mathbf{x}_3 - \mathbf{y}_3)(\mathbf{x}_3 - \mathbf{y}_3)' + \omega(1-\omega)(\mathbf{x}_2 - \mathbf{y}_2)(\mathbf{x}_2 - \mathbf{y}_2)' + \omega(1-\omega)^2(\mathbf{x}_1 - \mathbf{y}_1)(\mathbf{x}_1 - \mathbf{y}_1)' + (1-\omega)^3\mathbf{V}_0.$$

Dan seterusnya, berlaku untuk semua pengamatan. Secara umum persamaan (2.21) dapat dituliskan sebagai berikut

$$\mathbf{V}_n = \sum_{t=1}^n \omega(1-\omega)^{n-1}(\mathbf{x}_i - \mathbf{y}_i)(\mathbf{x}_i - \mathbf{y}_i)' + (1-\omega)^n\mathbf{V}_0 \quad (2.27)$$

Persamaan (2.25) memiliki penjabaran yang serupa dengan persamaan (2.24) pada masing-masing nilai n , sebagai berikut.

Untuk $n = 1$

$$\mathbf{y}_1 = \lambda\mathbf{x}_1$$

Untuk $n = 2$

$$\mathbf{y}_2 = \lambda\mathbf{x}_2 + \lambda(1-\lambda)\mathbf{x}_1$$

Untuk $n = 3$

$$\mathbf{y}_3 = \lambda\mathbf{x}_3 + \lambda(1-\lambda)\mathbf{x}_2 + \lambda(1-\lambda)^2\mathbf{x}_1$$

Dan seterusnya, berlaku untuk semua pengamatan. Secara umum persamaan (2.25) dapat dituliskan sebagai berikut

$$\mathbf{y}_n = \sum_{t=1}^n \lambda(1-\lambda)^{n-1}\mathbf{x}_t \quad (2.28)$$

Persamaan (2.28) disubtitusikan ke dalam $x_t - y_t$ didapatkan persamaan baru sebagai berikut

$$\begin{aligned} \mathbf{x}_t - \mathbf{y}_t &= \mathbf{x}_t - \sum_{j=1}^t \lambda(1-\lambda)^{t-j} \mathbf{x}_j \\ &= (1-\lambda)\mathbf{x}_t - \lambda(1-\lambda)\mathbf{x}_{t-1} - \cdots - \lambda(1-\lambda)^{t-1}\mathbf{x}_1, \quad (2.29) \\ t &= 1, 2, \dots, n \end{aligned}$$

Persamaan (2.29) dapat dituliskan dalam bentuk matriks sebagai berikut.

$$\begin{aligned} (\mathbf{X} - \mathbf{Y}) &= \begin{bmatrix} (\mathbf{x}_1 - \mathbf{y}_1)' \\ (\mathbf{x}_2 - \mathbf{y}_2)' \\ \vdots \\ (\mathbf{x}_n - \mathbf{y}_n)' \end{bmatrix} \\ &= \begin{bmatrix} 1-\lambda & 0 & \cdots & 0 \\ -\lambda(1-\lambda) & 1-\lambda & \ddots & 0 \\ \vdots & \vdots & \ddots & \vdots \\ -\lambda(1-\lambda)^{n-1} & \cdots & -\lambda(1-\lambda) & 1-\lambda \end{bmatrix} \times \begin{bmatrix} \mathbf{x}'_1 \\ \mathbf{x}'_2 \\ \vdots \\ \mathbf{x}'_n \end{bmatrix} \\ &= (\mathbf{I}_n - \mathbf{M})\mathbf{X} \quad (2.30) \end{aligned}$$

\mathbf{I}_n adalah matriks identitas berukuran $n \times n$ yang dapat dituliskan sebagai berikut

$$\mathbf{I}_n = \begin{bmatrix} 1 & 0 & 0 \\ 0 & \ddots & 0 \\ 0 & 0 & 1 \end{bmatrix},$$

dengan \mathbf{M} adalah matriks segitiga bawah berukuran $n \times n$ dengan λ sebagai bobot yang telah ditetapkan.

$$\mathbf{M} = \begin{bmatrix} \lambda & 0 & \cdots & 0 \\ \lambda(1-\lambda) & \lambda & \ddots & 0 \\ \vdots & \vdots & \ddots & \vdots \\ \lambda(1-\lambda)^{n-1} & \cdots & \lambda(1-\lambda) & \lambda \end{bmatrix}$$

Persamaan (2.27) juga dapat dituliskan dengan persamaan berikut

$$\mathbf{V}_n = (\mathbf{X} - \mathbf{Y})' \mathbf{C} (\mathbf{X} - \mathbf{Y}). \quad (2.31)$$

Dengan mensubtitusikan persamaan (2.30) ke persamaan (2.31) maka diperoleh,

$$\begin{aligned} \mathbf{V}_n &= \mathbf{X}(\mathbf{I}_n - \mathbf{M})' \mathbf{C} (\mathbf{I}_n - \mathbf{M})\mathbf{X} \\ &= \mathbf{X}' \mathbf{Q} \mathbf{X} \quad (2.32) \end{aligned}$$

di mana \mathbf{Q} adalah matriks bujur sangkar berukuran $n \times n$

$$\mathbf{Q} = (\mathbf{I}_n - \mathbf{M})' \mathbf{C} (\mathbf{I}_n - \mathbf{M}) \quad (2.33)$$

Dari persamaan (2.32), nilai $\text{tr}(\mathbf{V}_n)$ dapat diperoleh dengan persamaan berikut,

$$\begin{aligned}\text{tr}(\mathbf{V}_n) &= \text{tr}(\mathbf{X}'\mathbf{Q}\mathbf{X}) \\ &= \text{tr}(\mathbf{Q}\mathbf{X}\mathbf{X}')\end{aligned}\quad (2.34)$$

dengan,

$$\mathbf{Q}\mathbf{X}\mathbf{X}' = \begin{bmatrix} q_{11} & q_{12} & \dots & q_{1n} \\ q_{21} & q_{22} & \ddots & q_{2n} \\ \vdots & \vdots & \ddots & \vdots \\ q_{n1} & q_{n2} & \dots & q_{nn} \end{bmatrix} \times \begin{bmatrix} \sum_{k=1}^m x_{1k}^2 & \sum_{k=1}^m x_{1k}x_{2k} & \dots & \sum_{k=1}^m x_{1k}x_{tk} \\ \sum_{k=1}^m x_{1k}x_{2k} & \sum_{k=1}^m x_{2k}^2 & \ddots & \sum_{k=1}^m x_{2k}x_{tk} \\ \vdots & \vdots & \ddots & \vdots \\ \sum_{k=1}^m x_{1k}x_{nk} & \sum_{k=1}^m x_{2k}x_{nk} & \dots & \sum_{k=1}^m x_{nk}^2 \end{bmatrix}$$

Sehingga diperoleh

$$\begin{aligned}\text{tr}(\mathbf{V}_n) &= \sum_{j=1}^n q_{1j} \left(\sum_{k=1}^m x_{1k}x_{jk} \right) + \sum_{j=1}^n q_{2j} \left(\sum_{k=1}^m x_{2k}x_{jk} \right) + \dots + \sum_{j=1}^n q_{nj} \left(\sum_{k=1}^m x_{nk}x_{jk} \right) \\ &= \sum_{t=1}^n \sum_{j=1}^n q_{tj} \left(\sum_{k=1}^m x_{tk}x_{jk} \right)\end{aligned}\quad (2.35)$$

Saat $p=1$ persamaan $\text{tr}(\mathbf{V}_n)$ akan menjadi persamaan EWMA. Saat proses dalam keadaan terkontrol dapat ditunjukkan perhitungan untuk mendapatkan $E(\text{tr}(\mathbf{V}_n))$.

$$\begin{aligned}E[\text{tr}(\mathbf{V}_n)] &= \sum_{t=1}^n q_{tt} E \left(\sum_{k=1}^m x_{tk}^2 \right) + \sum_{t=1}^n \sum_{j \neq 1}^n q_{tj} E \left(\sum_{k=1}^m x_{tk}x_{jk} \right) \\ &= m \sum_{t=1}^n q_{tt} = m \text{ tr}(\mathbf{Q}).\end{aligned}\quad (2.36)$$

Untuk mendapatkan batas kendali dari $\text{tr}(\mathbf{V}_n)$ harus didapatkan nilai $\text{Var}[\text{tr}(\mathbf{V}_n)]$ terlebih dahulu.

$$\text{Var}[\text{tr}(\mathbf{V}_n)] = \text{Var} \left[\sum_{t=1}^n q_{tt} \sum_{k=1}^m x_{tk}^2 + 2 \sum_{t=1}^n \sum_{j < 1}^n q_{tj} \sum_{k=1}^m x_{tk}x_{jk} \right]$$

$$\begin{aligned}
&= \sum_{t=1}^n q_{tt}^2 \text{Var} \left(\sum_{k=1}^m x_{tk}^2 \right) + 4 \sum_{t=1}^n \sum_{j < t} q_{tj}^2 \text{Var} \left(\sum_{k=1}^m x_{tk} x_{jk} \right) \\
&= 2m \sum_{t=1}^n q_{tt}^2 + 4m \sum_{t=1}^n \sum_{j < t} q_{tj}^2 \\
&= 2m \sum_{t=1}^n \sum_{j=1}^n q_{tj}^2. \tag{2.37}
\end{aligned}$$

Sehingga dapat ditunjukkan batasan kendali untuk setiap n berdasarkan $\text{tr}(\mathbf{V}_n)$ diberikan oleh

$$E[\text{tr}(\mathbf{V}_t)] \pm L \sqrt{\text{Var}[\text{tr}(\mathbf{V}_t)]} = m \text{tr}(\mathbf{Q}) \pm L \sqrt{2m \sum_{t=1}^n \sum_{j=1}^n q_{tj}^2}. \tag{2.38}$$

L merupakan konstanta yang bergantung pada p (banyaknya karakteristik kualitas) dan nilai ω dan λ yang telah ditentukan sebelumnya. Nilai batas kendali MEWMV dilakukan melalui simulasi Monte Carlo dengan ARL 370 (Huwang, Yeh, & Wu, 2007).

2.8.2 Diagram Kendali MEWMA

Diagram Kendali MEWMA adalah diagram kendali yang digunakan untuk mendeteksi pergeseran rata-rata proses yang kecil pada kasus multivariat. MEWMA merupakan pengembangan diagram kendali EWMA yang digunakan untuk mengontrol kualitas data univariat. Kelebihan dari diagram MEWMA adalah tahan terhadap asumsi distribusi normal, bila data tidak memenuhi asumsi distribusi normal multivariat maka diagram kendali MEWMA masih dapat digunakan (Montgomery, 2013).

Perumusan diagram kendali MEWMA didefinisikan sebagai berikut.

$$\mathbf{M}_t = \lambda \mathbf{z}_t + (1 - \lambda) \mathbf{M}_{t-1} \tag{2.39}$$

di mana λ adalah pembobot yang bernilai $0 \leq \lambda \leq 1$ dan $M_0 = 0$. Pada diagram kendali ini dapat digunakan nilai pembobot yang

sama atau tidak pada masing-masing karakteristik kualitas. Apabila tidak ada alasan pemilihan pembobot yang berbeda untuk masing-masing karakteristik kualitas maka pembobot $\lambda_1 = \lambda_2 = \dots = \lambda_p = \lambda$. Titik pengamatan yang diplotkan di diagram kendali adalah sebagai berikut

$$T_t^2 = \mathbf{M}_t' \Sigma_{M_t}^{-1} \mathbf{M}_t \quad (2.40)$$

$$\Sigma_{M_t} = \frac{\lambda}{2-\lambda} [1 - (1-\lambda)^{2t}] \Sigma \quad (2.41)$$

Data dikatakan *out of control* ketika nilai T_t^2 lebih besar dari h_4 . Nilai h_4 merupakan batas kendali atas (BKA) sedangkan batas kendali bawah (BKB) untuk diagram kendali MEWMA sama dengan 0 karena nilai T_t^2 yang selalu positif sehingga batas pengendali bawah (LCL) yang paling minimum dari suatu nilai yang positif adalah 0 (Montgomery, 2013).

2.8.3 Analisis Kapabilitas Proses

Analisis kapabilitas proses adalah analisis guna menaksir kemampuan proses pada suatu produk dalam memenuhi spesifikasi yang telah ditentukan. Analisis kemampuan proses merupakan bagian yang sangat penting dari keseluruhan program peningkatan kualitas. Proses dikatakan kapabel jika dalam keadaan terkendali, memenuhi batas spesifikasi, dan tingkat akurasi dan presisi tinggi. Presisi adalah ukuran pendekatan antara suatu pengamatan dengan yang lain. Sedangkan akurasi adalah ukuran kedekatan pengamatan dengan nilai target dalam spesifikasi.

Untuk mengetahui kapabel tidaknya suatu proses untuk karakteristik univariat dapat dilihat dari nilai C_p , C_{pk} , C_{pc} , C_{pkm} . Menurut *Automotive Industry Action Group* (AIAG) (1991), Keempat indikator tersebut digunakan ketika proses dalam keadaan terkendali secara statitsik. Sedangkan jika proses tidak terkendali secara statistik maka menggunakan indikator P_p dan P_{pk} .

$$P_p = \frac{BSA - BSB}{6\sigma} \quad (2.42)$$

$$P_{pk} = \min \left\{ \frac{BSA - \bar{x}}{3\sigma}, \frac{\bar{x} - BSB}{3\sigma} \right\} \quad (2.43)$$

Keterangan:

BSA : Batas Spesifikasi Atas

BSB : Batas Spesifikasi Bawah

Indeks nilai kapabilitas multivariat dapat dituliskan sebagai berikut (Raissi, 2009).

$$MP_p = \sum_{k=1}^m W_k P_p(X_k) \quad (2.44)$$

$$MP_{pk} = \sum_{k=1}^m W_k P_{pk}(X_k) \quad (2.45)$$

Keterangan:

MP_p : Tingkat presisi data multivariat

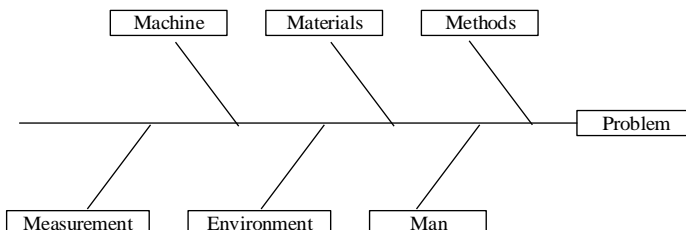
MP_{pk} : Tingkat akurasi data multivariat

W_i merupakan pembobotan dengan $\sum_{i=1}^p W_i = 1$. Presisi adalah ukuran kedekatan antara satu pengamatan dengan pengamatan lain. Sedangkan akurasi adalah ukuran kedekatan hasil pengamatan dengan nilai target.

2.9 Diagram Ishikawa

Ketika catat, error, atau masalah telah teridentifikasi maka hal yang harus dilakukan adalah menganalisis penyebab yang berpotensi menimbulkan kecacatan tersebut. Diagram sebab akibat adalah alat yang biasa digunakan untuk menganalisis akar penyebab yang berpotensi menimbulkan kecacatan.

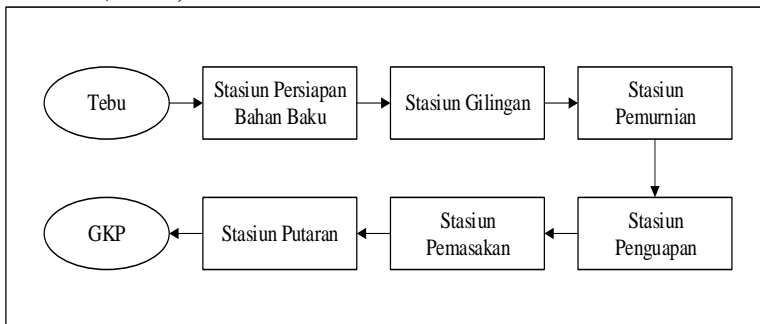
Untuk memudahkan menganalisis faktor penyebab, pada umumnya faktor penyebab dikelompokkan menjadi 5M+1E yaitu, *man, materials, methode, machines, measurement, and environment* (Montgomery, 2013).



Gambar 2.1 Diagram Sebab Akibat

2.10 Proses Produksi GKP di PG Rejo Agung Baru

Berikut ini merupakan tahapan proses pembuatan di Pabrik Gula Rejo Agung Baru Madiun, terdapat 6 stasiun pada proses pembuatan gula di PG Rejo Agung Baru Madiun (Sari & Al-Hanif, 2017).



Gambar 2.2 Proses Produksi GKP

1. Stasiun Persiapan Bahan Baku

Pada stasiun persiapan bahan baku ini dilakukan proses pencatatan asal tebu dan dilakukan proses seleksi kelayakan tebu. Klasifikasi tebu yang diterima di PG Rejo Agung Baru Madiun adalah sebagai berikut:

- Manis, tebu yang diolah menjadi gula memiliki brix lebih dari 15%
- Bersih, maksud dari bersih disini adalah bersih dari daun, dari akar dan tanah, serta bukan merupakan tebu lidi. Hal ini dilakukan agar proses putaran berjalan dengan baik,
- Segar, yaitu tebu yang setelah ditebang tidak lebih dari 36 jam.

2. Stasiun Gilingan

Proses penggilingan dilakukan pada tebu yang telah melewati proses penilaian mutu tebu. Pada stasiun gilingan ini berujuan untuk mengambil nira dari batang tebu semaksimal mungkin dan menekan sedikit mungkin kehilangan gula yang terikut dengan ampas. Tebu yang telah terpilih dengan syarat MBS (Manis, Bersih dan Segar) kemudian akan dipotong menjadi

bagian yang lebih kecil menggunakan mesin *Cane Cutter* hingga sel-sel tebu terbuka dan nira akan mudah diperah dari serabutnya lalu masuk pada mesin *Hammer Shredder* untuk di tumbuk agar bukaan sel-sel tebu terbuka dengan output sabut tebu. Kemudian sabut masuk ke *roll gilingan* 1 sampai 5 dengan output ampas. Ampas dari gilingan I ditambahkan nira dari gilingan III lalu dibawa ke gilingan II. Nira dari gilingan I dan II dialirkan menuju penampungan dan diberi kapur sebagai *pre-liming*, lalu dialirkan ke DSM *screen* untuk dilakukan penyaringan. Ampas dari gilingan II ditambah nira dari gilingan IV lalu dibawa ke gilingan III. Nira dari gilingan III ditampung dan ditambah ampas dari gilingan I, sementara ampasnya ditambah nira dari gilingan V dan air imbibisi kemudian dibawa ke gilingan IV. Nira dari gilingan IV ditampung lalu dialirkan ke ampas gilingan III. Ampas dari gilingan IV ditambahkan air imbibisi dan dibawa ke gilingan V. Ampas dari gilingan V dibawa menuju stasiun ketel untuk digunakan sebagai bahan bakar.

Penambahan air imbibisi betujuan untuk memaksimalkan ekstraksi nira. Kandungan air pada bagase akan berkurang karena ekstraksi, sehingga ketika kandungan air terlalu kecil pemerasan tidak dapat dilanjutkan. Air imbibisi tidak diberikan seluruhnya pada ampas gilingan terakhir saja, melainkan gilingan III dan IV untuk mencegah terjadinya ampas selip.

3. Stasiun Pemurnian

Pada stasiun pemurnian ini akan dilakukan pemisahan kotoran dalam nira mentah. Penghilangan kotoran tersebut hanya sekitar 10-25% dapat dihilangkan dari jumlah kotoran yang ada. Nira mentah dari stasiun gilingan masuk ke peti nira tertimbang setelah itu nira mentah ditambah dengan asam phosphat dengan kadar 300 ppm. Setelah itu masuk juice heater kemudian dialirkan ke defekator 1 yang diberi susu kapur dengan kualitas tinggi (90-95%). Penambahan susu kapur bertujuan untuk menaikkan pH nira menjadi 10-10,5. Di dalam defekator 1 terdapat proses pengadukan agar didapatkan nira yang homogen. Setelah dari defekator 1, kemudian dialirkan menuju tabung sulfitasi untuk

menurunkan pH nira menjadi 7-7,2 lalu nira masuk kedalam reaction tank untuk kembali menyempurnakan reaksi yang terjadi pada nira. Kemudian dipanaskan kembali pada defekator II sampai suhu 105°C. Setelah itu nira dialirkan pada flash tank untuk menghilangkan gas-gas yang tak terembunkan dan dapat mengganggu proses pengendapan. Setelah itu nira mengalir ke *Single Tray Clarifier* untuk diendapkan dengan memisahkan nira jernih dan nira kotor.

4. Stasiun Penguapan

Stasiun penguapan ini bertujuan untuk menguapkan air dalam nira sehingga tersisa nira kental. Terdapat 5 evaporator dan 2 VK (Voor Kooker) masing –masing pada seri barat dan timur. Nira encer dari proses pemurnian selanjutnya masuk voorkoker (pre-evaporator) yang berfungsi untuk mengurangi beban kerja evaporator. Selanjutnya nira masuk pada penguapan 1 kemudian dipanaskan menggunakan uap bekas berasal dari gilingan lalu nira masuk ke badan penguapan 2. Pada badan penguapan 2 nira dipanaskan dengan uap berasal dari penguapan 1 lalu nira masuk ke penguapan 3. Pada badan penguapan 3 nira dipanaskan dengan uap berasal dari badan penguapan 2 lalu nira masuk ke badan penguapan 4. Pada badan penguapan 4 nira dipanaskan dengan uap berasal dari badan penguapan 3 lalu nira masuk ke badan penguapan 5, uap dari badan 5 dialirkan ke kondensor. Penguapan dilakukan sampai nira mencapai kekentalan 30-35°Be. Nira yang telah memenuhi standar kekentalan yang telah ditentukan akan masuk ke sulfurtower kemudian ditransfer ke stasiun pemasakan.

5. Stasiun Pemasakan

Pada stasiun pemasakan terdapat 3 pan yaitu pan masakan A, C dan D. Masing-masing pan digunakan untuk mengkristalkan nira kental dengan bantuan uap air.

Setelah dari sulfur tower, nira akan masuk pertama kali pada pan masakan A dengan ditambah klare I dan bibit gula C. Pemasakan dilakukan sampai terbentuk kristal yang bagus dan tidak terdapat pasir palsu. Apabila terdapat pasir palsu maka

harus dihilangkan dengan menambahkan air panas. Keberadaan pasir palsu dapat menyumbat saringan pada unit putaran sehingga dapat mengganggu penyaringan dan merusak alat. Kemudian ditambah lagi nira kental sulfitas secara bertahap sampai volume 200 HL. Apabila masih ada pasir palsu maka ditambah air secukupnya. Penambahan akhir dari bahan sampai volume 250 HL kemudian dituakan, setelah tua maka diturunkan ke palung pendingin. Pan masakan A menghasilkan *masscuite* yang selanjutnya diturunkan ke palung pendingin dan masuk ke putaran A

Pada maskan C, stroop A dimasukkan lalu dipanaskan sampai pekat dan keluar benang. Kemudian ditambahkan gula D2 dan dikentalkan. Apabila masih terdapat pasir palsu akan ditambahkan dengan air panas, penambahan bahan maksimal 300 HL. Setelah masak, masakan C diturunkan ke palung pendingin dan menghasilkan masscuite C yang kemudian masuk ke putaran C.

Untuk masakan D bahan yang digunakan adalah stroop C dan klare III yang berisi nira kental. Kemudian dipanaskan sampai tua, apabila terdapat pasir palsu maka ditambah dengan air panas. Penambahan bahan sampai volume 400 HL dan dipanaskan sampai tua, setelah tua maka diturunkan pada palung pendingin, kemudian *masscuite* dipompa ke putaran D.

6. Stasiun Putaran

Setelah masakan didinginkan proses selanjutnya adalah pemisahan kristal gula dari larutan induknya dengan memanfaatkan gaya sentrifugal yang dilakukan pada stasiun putaran. Larutan induk yang dipisahkan dapat berupa tetes, klare, dan stroop dari inti kristal.

Terdapat 3 bagian pada stasiun putaran, yaitu:

a. Unit putaran SHS (*Superior High Sugar*)

Bahan unit putaran SHS merupakan masakan pan A yang kemudian akan menghasilkan gula SHS. Saat proses pemutaran dilakukan pula pencucian (washing) dengan air siraman dan air siraman tersebut menyemprot lapisan masakan yang menempel di

dinding saringan puteran. Pada saat ini akan terjadi pemisahan larutan induk dan kristalnya. Proses dilanjutkan dengan *steaming* yang berfungsi untuk membersihkan kristal gula dengan menembus kristal gula dengan *steam* yang bertekanan tertentu sehingga lapisan molasse yang masih melekat dapat terlepas. Selanjutnya dilakukan penurunan kecepatan putaran.

b. Unit putaran C

Hasil pemutaran ini adalah gula yang digunakan sebagai bahan masakan A dan stroopnya untuk bahan masakan pan D

c. Unit putaran D

Unit putaran D terdiri dari dua jenis yaitu putaran D1 dan D2. Pada putaran D1 menghasilkan gula D1 dan tetes sedangkan putaran D2 bertujuan untuk memurnikan gula D1 menjadi D2. Gula D2 ini kemudian digunakan untuk masakan C dan niranya diolah untuk masakan A. Dalam proses pemutaran dan pencucian kristal digunakan air dingin sebagai siraman agar diperoleh kristal gula yang bersih.

Proses terakhir adalah proses penyelesaian. Hasil dari putaran SHS masih mengandung kadar air 0,5-2%, serta ukuran kristal yang bervariasi. Karena itu gula memerlukan pengeringan dan pemisahan dari gula halus dan gula kasar. Gula yang berasal dari stasiun putaran masuk ke talang goyan. Talang goyang berfungsi untuk membawa gula menuju *sugar dryer and cooler* untuk dikeringkan dan membuat gula supaya tidak menggumpal. Setelah gula masuk ke dalam *sugar dryer and cooler*, gula disimpan pada *sugar bin* kemudian dilanjutkan pengemasan dan pengepakan kemasan per 50kg.

BAB III

METODOLOGI PENELITIAN

3.1 Sumber Data

Data yang digunakan dalam penelitian ini adalah data sekunder kualitas GKP mulai 1 Juni 2017 – 10 September 2017 yang diperoleh dari departemen *Quality Control* PG Rejo Agung Baru yang didapatkan pada tanggal 4 Januari 2018. Pengukuran tiga karakteristik kualitas dilakukan satu kali pada tiap shift di stasiun putaran dan penyelesaian, terdapat tiga shift berlaku di PG Rejo Agung Baru Madiun, yaitu shift 1 pukul 06.00-14.00, shift 2 pukul 14.00-22.00, dan shift 3 pukul 22.00-06.00. Pengukuran kualitas dilakukan dengan cara mengambil sampel SHS sebanyak 300 gram dari sugar *dryer and cooler* kemudian dilakukan pengecekan di laboratorium.

3.2 Variabel Penelitian

Penelitian ini menggunakan kualitas GKP dengan penjelasan sebagai berikut.

Tabel 3.1 Variabel Penelitian

Variabel	Keterangan	Satuan	Spesifikasi
X ₁	Kadar air	%	Maks 0,1
X ₂	Warna larutan	IU	81-200
X ₃	Besar jenis butir	Mm	0,8-1,2

- X₁: Kadar air adalah jumlah air (%) yang terdapat dalam gula. Gula yang mengandung kadar air tinggi cepat mengalami penurunan mutu atau kerusakan dalam penyimpanan. Selain itu kadar air yang tinggi pada gula berpengaruh pada warna gula, semakin tinggi kadar air maka warna gula akan semakin coklat (Payne, 1982).
- X₂: Warna larutan gula yaitu suatu parameter nilai kemurnian yang berkaitan dengan warna kejernihan larutan gula yang diukur berdasarkan standar internasional dalam satuan internasional unit (IU). Semakin besar indeks semakin gelap warna larutan.

X_3 : Besar jenis butir adalah ukuran rata-rata butir kristal putih gula yang dinyatakan dalam milimeter. Semakin besar ukuran kristal gula maka warna gula akan semakin coklat (Payne, 1982).

Ketiga variabel ini adalah variabel utama yang diukur dalam pengendalian GKP yang saling berhubungan, di mana jika kadar air dalam gula tinggi maka kristal gula akan menggumpal, sedangkan ketika ukuran butir gula kristal semakin besar maka warna gula akan semakin coklat.

Berikut merupakan struktur data berdasarkan pengukuran yang telah dilakukan.

Tabel 3.2 Struktur Data

Pengamatan ke-	X_1	X_2	X_3
1	x_{11}	x_{21}	x_{31}
2	x_{12}	x_{22}	x_{32}
:	:	:	:
267	$x_{1,267}$	$x_{2,267}$	$x_{3,267}$

3.3 Langkah Penelitian

Langkah-langkah yang dikerjakan dalam pengendalian rata-rata proses dan variabilitas data berautokorelasi adalah sebagai berikut.

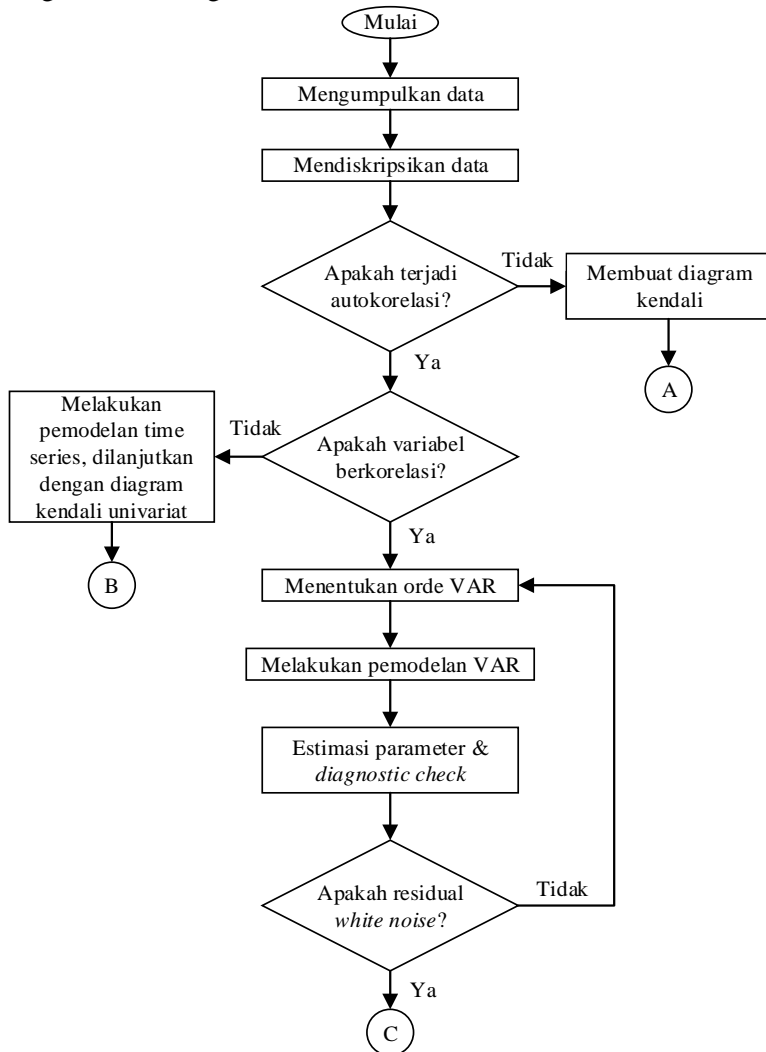
1. Mendefinisikan karakteristik pada setiap variabel kadar air, warna, dan besar jenis butir dengan statistika deskriptif.
2. Membentuk model *time series* terbaik sehingga diperoleh residual untuk seluruh karakteristik kualitas menggunakan VAR dengan tahanpan sebagai berikut.
 - a. Menguji *stasioneritas* masing-masing karakteristik kualitas secara individu meliputi stasioneritas dalam varians dan *mean* menggunakan transformasi Box – Cox dan uji Augmented Dickey – Fuller *Test*.
 - b. Mengidentifikasi orde model VAR dengan MPACF dengan menggunakan persamaan (2.12).
 - c. Melakukan estimasi parameter model VAR menggunakan persamaan (2.13)

- d. Melakukan pengujian signifikansi parameter menggunakan persamaan (2.14)
 - e. Menghitung residual model *time series*
 - f. Melakukan pemeriksaan asumsi *white noise* menggunakan uji portmanteau dengan persamaan (2.15)
 - g. Melakukan pengujian distribusi multivariat normal dengan persamaan (2.17)
3. Melakukan pengujian asumsi dependensi dengan persamaan (2.22)
 4. Melakukan pengendalian variabilitas proses dengan diagram kendali MEWMV dan menetapkan pembobot optimal dengan langkah berikut.
 - a. Membuat matriks \mathbf{C} dengan ukuran $n \times n$, dengan diagonal utama ω .
 - b. Membuat matriks \mathbf{M} yang merupakan matriks segitiga bawah dengan elemennya λ
 - c. Membuat matriks \mathbf{I}_n , merupakan matriksidentitas berukuran $n \times n$.
 - d. Menghitung matriks \mathbf{Q} yang digunakan untuk mendapatkan $\text{tr}(\mathbf{V}_n)$ sebagai matriks karakteristik kualitas yang akan dikendalikan dengan persamaan (2.33)
 - e. Menghitung nilai $\text{tr}(\mathbf{V}_n)$ sesuai persamaan (2.34).
 - f. Membuat $E(\text{tr}(\mathbf{V}_n))$ berdasarkan persamaan (2.36) dan menghitung $\text{Var}(\text{tr}(\mathbf{V}_n))$ berdasar persamaan (2.37).
 - g. Menentukan batas diagram kontrol setiap pengamatan $k = n$ dengan persamaan (2.38).
 - h. Memplot nilai $\text{tr}(\mathbf{V}_n)$ dengan berbagai kombinasi pembobot λ dan ω yang sudah ditetapkan.
 - i. Memilih pembobot λ dan ω diagram kendali MEWMV yang optimum.
 5. Melakukan pengendalian rata-rata proses dengan diagram kendali MEWMA dan menetapkan pembobot optimal dengan langkah berikut.
 - a. Menetapkan pembobot $0,1 \leq \lambda \leq 0,9$.

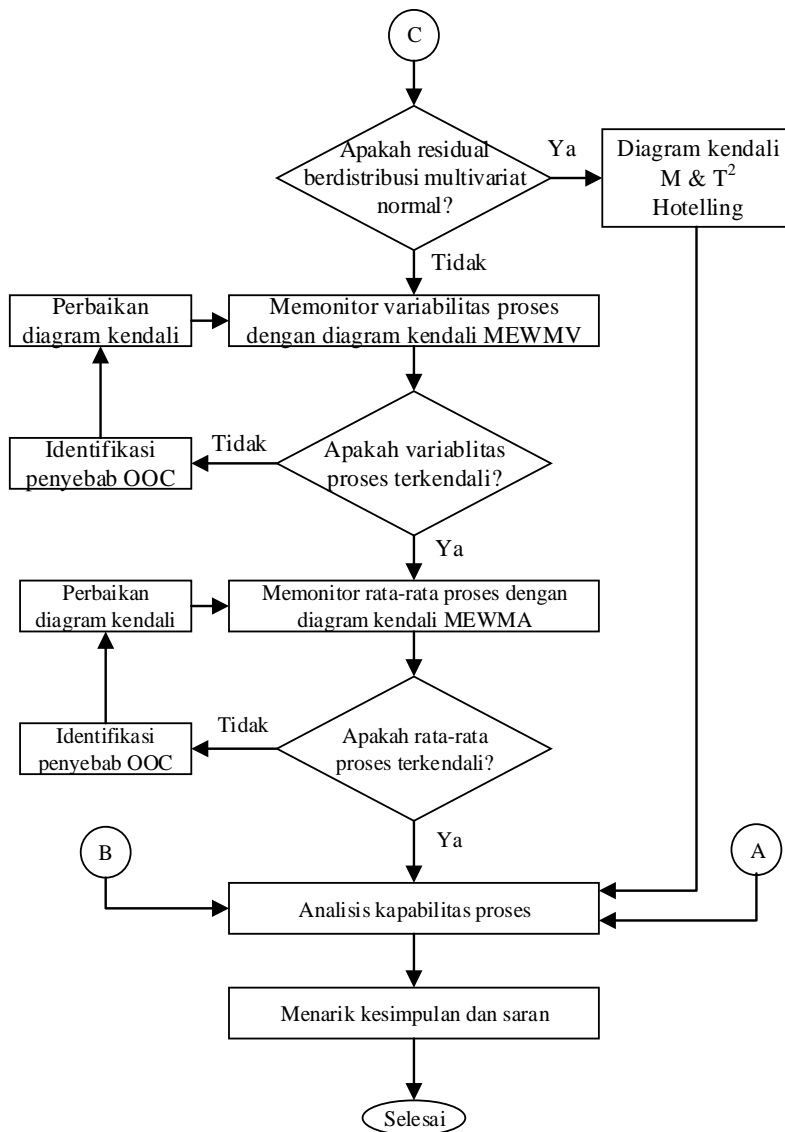
- b. Menghitung vektor MEWMA \mathbf{M}_t dengan persamaan (2.39).
 - c. Meghitung varians kovarians $\Sigma_{\mathbf{M}_t}$ dengan persamaan (2.41).
 - d. Menghitung statistik MEWMA yaitu T_t^2 dengan persamaan (2.40).
 - e. Memplot T_t^2 dengan BKA = h_4 dan BKB = 0 yang diperoleh berdasar pembobotan λ yang ditetapkan.
 - f. Memilih pembobot λ diagram kendali MEWMA yang optimum.
6. Menentukan kapabilitas proses untuk mengetahui apakah dengan persamaan (2.44) dan (2.45)
7. Melakukan intepretasi dan menarik kesimpulan.

3.4 Diagram Alir Penelitian

Dalam penelitian ini langkah analisis digambarkan dalam diagram alir sebagai berikut



Gambar 3.1 Diagram Alir Penelitian



Gambar 3.1 Diagram Alir Penelitian (lanjutan)

BAB IV

ANALISIS DAN PEMBAHASAN

PG Rejo Agung Baru merupakan salah satu pabrik gula yang berdiri di Kota Madiun, Jawa Timur. Pada awal didirikan, pabrik ini hanya memiliki kapasitas produksi sebesar 2000 TCD. Pada Tahun 2008 kapasitas produksi ditingkatkan menjadi 4500 TDC dan sistem pemurnian diubah menjadi sulfitasi. Hingga kini kapasitas produksi telah mencapai 6000 TCD. Produk utama dari PG Rejo Agung Baru adalah gula kemasan 50 kg, 5 kg, dan 0,5 kg, dengan produk sampingan berupa tetes, ampas tebu, dan pupuk organik.

Pengendalian kualitas yang dilakukan pada GKP diukur berdasarkan tiga variabel yaitu kadar air, warna larutan (ICUMSA), dan BJB. Jika kadar air dalam gula tinggi maka kristal gula akan menggumpal, sedangkan ketika ukuran butir gula kristal semakin besar maka warna larutan gula akan semakin coklat. Sebagai konsumen tentu lebih menyukai gula dengan kristal yang putih.

Analisis dan pembahasan yang akan dilakukan terhadap ketiga variabel kualitas GKP adalah melakukan analisa deskriptif untuk mengetahui karakteristik data kemudian dilanjutkan dengan melihat adanya autokorelasi antar pengamatan. Langkah berikutnya memodelkan VAR sehingga diperoleh residual yang bebas autokorelasi dan mencerminkan proses pada data yang sebenarnya. Berikutnya melakukan pengendalian variabilitas dengan diagram kendali MEWMV dan pengendalian mean proses dengan peta kendali MEWMA.

4.1 Deskriptif Karakteristik Kualitas GKP

Melakukan analisa deskriptif pada ketiga karakteristik kualitas GKP dilakukan untuk mengetahui gambaran umum karakteristik dari data. Berikut merupakan statistika deskriptif untuk karakteristik kualitas kadar air, warna larutan, dan BJB pada GKP periode giling Tahun 2017.

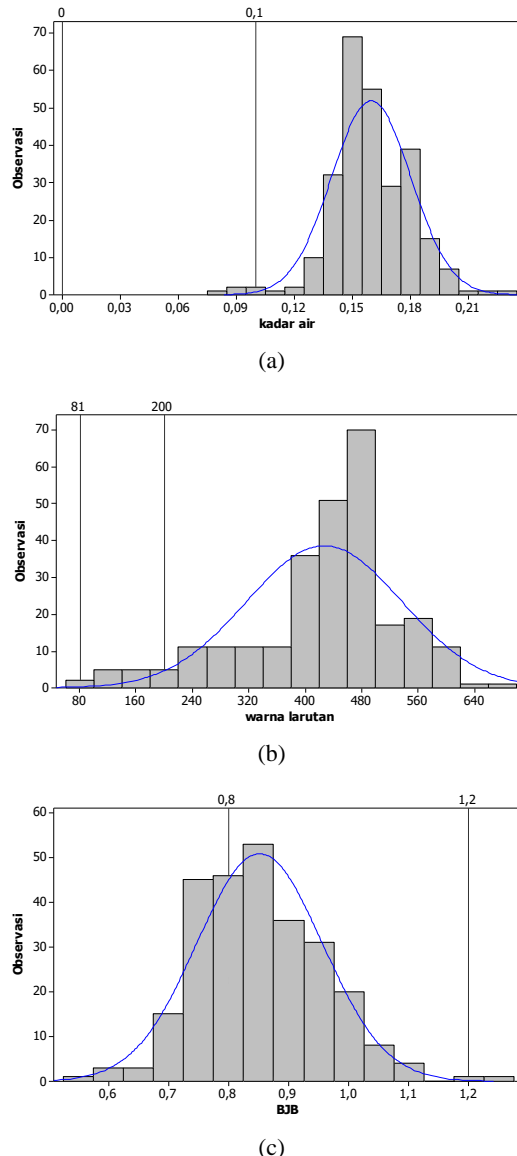
Tabel 4.1 Karakteristik Kualitas GKP

Karakteristik Kualitas	Spesifikasi	Rata-Rata	Varians	Minimum	Maximum
Kadar Air	Maks 0,1	0,160	0,000420	0,08	0,23
Warna	81-200	426,84	12179,01	86,90	675,03
Larutan					
BBJ	0,8-1,2	0,850	0,010970	0,56	1,23

Berdasarkan Tabel 4.1 dapat diketahui bahwa rata-rata kadar air selama periode giling tahun 2017 sebesar 0,16 dengan kadar air minimum sebesar 0,08 dan maksimum sebesar 0,23. Nilai rata-rata kadar air berada diluar batas spesifikasi yang telah ditentukan oleh perusahaan yakni maksimal 0,1. Nilai varians sebesar 0,00042 dapat dikatakan cukup kecil, hal ini menandakan bahwa kadar air GKP periode giling tahun 2017 cukup homogen, karena jarak antar data relatif kecil.

Rata-rata warna larutan GKP periode giling tahun 2017 sebesar 426,84 dengan nilai minimum 86,9 dan nilai maksimum sebesar 675,03. Rata-rata warna larutan GKP berada di luar batas spesifikasi yang telah ditentukan oleh perusahaan. Varians dari warna larutan cukup besar yakni 12179,01. Hal ini menandakan bahwa warna larutan GKP periode giling tahun 2017 heterogen, karena jarak antar data cukup besar.

Nilai rata-rata, nilai minimum, dan nilai maksimum dari karakteristik kualitas BJB dari GKP periode giling tahun 2017 secara berturut-turut adalah sebesar 0,85, 0,56, dan 1,23. Nilai rata-rata berada dalam batas spesifikasi yang telah ditetapkan oleh perusahaan, sedangkan nilai minimum dan maksimum BJB berada di luar spesifikasi. Varians dari BJB relatif kecil yakni 0,01097, nilai varians yang kecil ini menunjukkan bahwa data BJB homogen, dengan jarak antar data relatif kecil. Untuk melihat persebaran dari data maka dapat dilihat dari bentuk histogram data. Berikut merupakan histogram data masing-masing karakteristik kualitas.

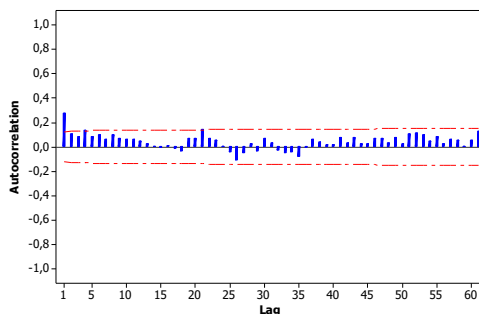


Gambar 4.1 Histogram (a) Kadar Air (b) Warna Larutan (c) BBB

Dari Gambar 4.1 (a) diketahui bahwa bentuk histogram data kadar air menyerupai lonceng. Namun kebanyak pengamatan nilai kadar air berada di luar batas spesifikasi yang telah ditentukan oleh perusahaan, maksimal 0,1, yaitu sebesar 98,13% pengamatan masih berada diluar batas. Selanjutnya disajikan pada Gambar 4.1 (b) dari data warna larutan diketahui 95,13% pengamatan berada di luar batas spesifikasi yaitu 80-200. Sedangkan untuk Gambar 4.1 (c) dari data BJB terdapat 31,08% pengamatan berada di luar batas spesifikasi yaitu antara 0,8-1,2.

4.2 Pengecekan Autokorelasi

Pengecekan autokorelasi pada data karakteristik kualitas GKP merupakan langkah pertama yang dilakukan, ada tidaknya autokorelasi pada data dapat dilihat dari plot ACF masing-masing data karakteristik kualitas yang terdapat pada Lampiran A. Berikut merupakan plot ACF untuk karakteristik kualitas kadar air.

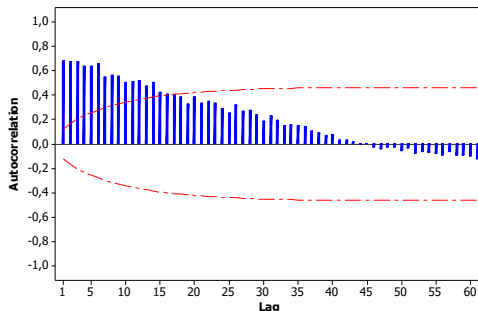


Gambar 4.2 Plot ACF Kadar Air

Berdasarkan Gambar 4.2 dapat dilihat bahwa beberapa lag ACF Kadar Air melewati batas *confidance interval*. Hal ini menandakan bahwa pada data karakteristik kualitas kadar air memiliki autokorelasi.

Selanjutnya dilakukan pengecekan autokorelasi pada data karakteristik kualitas warna larutan (ICUMSA). Berikut

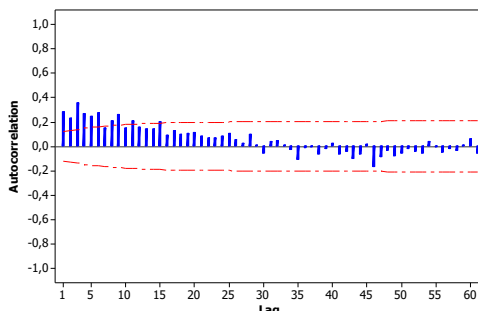
merupakan plot ACF untuk karakteristik kualitas warna larutan (ICUMSA).



Gambar 4.3 Plot ACF Warna Larutan (ICUMSA)

Pada Gambar 4.3 diketahui bahwa data karakteristik kualitas warna larutan (ICUMSA) memiliki autokorelasi. Hal ini ditunjukkan dari terdapat beberapa lag ACF yang melewati batas *confidence interval*.

Selanjutnya dilakukan pengecekan autokorelasi pada data karakteristik kualitas BJB. Plot ACF untuk karakteristik kualitas BJB ditunjukkan pada Gambar 4.3.



Gambar 4.4 Plot ACF BJB

Berdasarkan Gambar 4.4 dapat dilihat bahwa beberapa lag ACF BJB melewati batas *confidance interval*. Hal ini

menandakan bahwa pada data karakteristik kualitas BJB memiliki autokorelasi.

4.3 Pemodelan *Vector Autoregressive*

Pemodelan VAR dilakukan untuk memperoleh residual dari model VAR terbaik. Residual yang diperoleh akan mencerminkan proses dari data asli. Residual dari model VAR terbaik ini bebas autokorelasi sehingga residual ini dapat digunakan pada analisis diagram kendali MEWMV dan MEWMA. Langkah pada pemodelan VAR adalah melakukan identifikasi kestasioneran data karakteristik kadar air, warna larutan, dan BJB, menentukan orde VAR, estimasi parameter model VAR, serta pengujian asumsi residual model VAR.

4.3.1 Identifikasi Kestrasioneran Varians Data

Pada pemodelan VAR, langkah awal yang dilakukan adalah melakukan identifikasi kestasioneran data dalam varians dan rata-rata. Untuk melihat apakah data telah stationer dalam varians dapat dilihat dari nilai *rounded value*, batas bawah dan batas. Apabila data tidak stationer dalam varians maka dilakukan transformasi data. Berikut merupakan hasil dari identifikasi kestasioneran data dalam varians pada masing-masing variabel karakteristik kualitas GKP.

Tabel 4.2 Identifikasi Kestationeran Varians Data

Karakteristik Kualitas	Rounded Value	Batas Bawah	Batas Atas
Kadar Air	1	0,54	2,04
Warna Larutan	0,5	0,09	0,75
BJB	-0,5	-1,38	0,44

Dari Tabel 4.2 diketahui bahwa variabel karakteristik kualitas kadar air telah memiliki *rounded value* sebesar 1, hal ini menandakan bahwa data telah stationer dalam varians dan tidak perlu dilakukan transformasi pada data. Sedangkan pada variabel karakteristik kualitas warna larutan dan BJB masing-masing memiliki *rounded value* sebesar 0,5 dan -0,5. Hal ini berarti bahwa variabel karakteristik warna larutan dan BJB belum stationer dalam varians, sehingga perlu dilakukan transformasi

data. Untuk variabel karakteristik kualitas warna larutan yang memiliki *rounded value* sebesar 0,5 dilakukan transformasi $1/\sqrt{Z_t}$, sedangkan untuk variabel karakteristik kualitas BJB yang memiliki *rounded value* -0,5 dilakukan transformasi $\sqrt{Z_t}$. Setelah dilakukan transformasi diperoleh hasil sebagai berikut.

Tabel 4.3 Identifikasi Kestationeran Varians Data Setelah Transformasi

Karakteristik Kualitas	Rounded Value	Batas Bawah	Batas Atas
Warna Larutan	1,00	0,23	1,59
BJB	1,00	-0,93	2,90

Berdasarkan Tabel 4.3 dapat diketahui bahwa untuk data warna larutan dan BJB telah stationer dalam varians setelah dilakukan transformasi sesuai dengan *rounded value* yang diperoleh dari Tabel 4.2. Hal ini ditunjukkan dengan nilai *rounded value* telah bernilai 1.

4.3.2 Identifikasi Kestationeran Rata-rata Data

Untuk mengetahui apakah suatu data telah stationer dalam rata-rata digunakan uji ADF. Apabila data tidak stationer dalam rata-rata maka dilakukan *differencing* pada data tersebut. Uji ADF dilakukan pada data yang telah stationer dalam varians yang terdapat pada Lampiran D dan hasil dari uji ADF ditunjukkan pada Lampiran E. Berikut merupakan rangkuman dari uji ADF yang dilakukan untuk mengetahui kestasioneran data karakteristik kualitas GKP dalam rata-rata.

Tabel 4.4 Pengujian Stationeritas Data Dalam Rata-rata

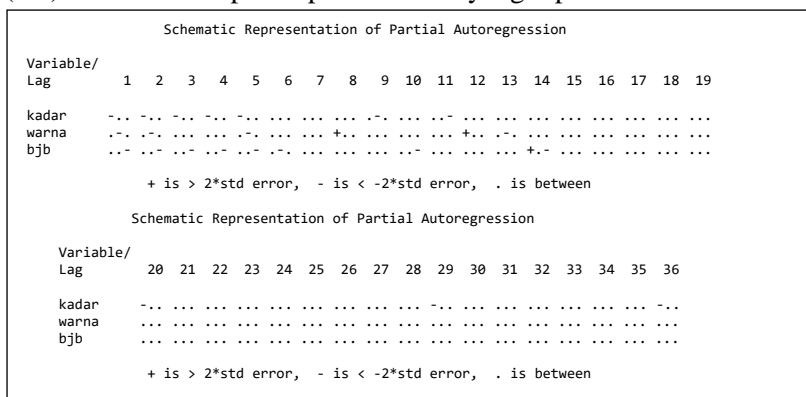
Karakteristik Kualitas	p-value
Kadar Air	0,010
Warna Larutan	0,577
BJB	0,010

Berdasarkan Table 4.4 *p-value* dari karakteristik kualitas kadar air dan BJB bernilai 0,01 yang kurang dari alpha sebesar 0,05 maka keputusan yang diambil adalah tolak H_0 data karakteristik kualitas kadar air dan BJB stationer dalam rata-rata. Sedangkan *p-value* karakteristik kualitas warna larutan sebesar

0,577 lebih dari alpha sebesar 0,05 sehingga keputusan yang diambil adalah gagal tolak H_0 atau data karakteristik warna larutan tidak stationer dalam *mean*, sehingga perlu dilakukan *differencing lag 1* untuk membuat data menjadi stationer.

4.3.3 Penentuan Orde VAR

Dalam menentukan orde VAR dari sebuah rangkaian data time series maka dapat dilihat dari plot MPACF. Dengan menggunakan data Lampiran D diperoleh hasil pada Lampiran H dan tanda pada plot MPACF diperoleh berdasarkan persamaan (2.7). Berikut merupakan plot MPACF yang diperoleh.



Gambar 4.5 Plot MPACF

Berdasarkan Gambar 4.5, panjang lag MPACF yang terbentuk hingga lag 36 terdapat simbol (+), (-), dan (.). Simbol (+) menggambarkan bahwa nilai estimator lebih besar dua kali nilai estimasi *standard error* yang berarti bahwa suatu variabel karakteristik kualitas memiliki korelasi yang positif dengan dirinya sendiri atau dengan variabel karakteristik kualitas lain. Simbol (-) menggambarkan bahwa nilai estimator lebih kecil dua kali nilai estimasi *standard error* yang berarti bahwa suatu variabel karakteristik kualitas memiliki korelasi yang negatif dengan dirinya sendiri atau dengan variabel karakteristik kualitas lain. Sedangkan simbol (.) menggambarkan nilai estimator terletak diantara \pm dua kali estimasi *standard error* yang berarti

bahwa suatu variabel karakteristik kualitas tidak memiliki korelasi dengan dirinya sendiri atau dengan variabel karakteristik kualitas lain. Berdasarkan Gambar 4.5 diketahui bahwa lag yang signifikan pada ketiga karakteristik adalah hingga lag 14.

Selain itu untuk penentuan orde VAR dapat dilihat melalui nilai *Akaike Information Criterion* (AIC) yang apabila semakin kecil nilainya maka model *time series* semakin baik. Berikut merupakan nilai AIC dari VARI (1,1) hingga VARI (15,1).

Tabel 4.5 Nilai AIC VARI (1,1) hingga VARI (15,1)

Model Time Series	AIC
VARI (1,1)	-11,7128
VARI (2,1)	-12,0834
VARI (3,1)	-12,1641
VARI (4,1)	-12,1930
VARI (5,1)	-12,3180
VARI (6,1)	-12,3282
VARI (7,1)	-12,3035
VARI (8,1)	-12,2967
VARI (9,1)	-12,2774
VARI (10,1)	-12,2442
VARI (11,1)	-12,2316
VARI (12,1)	-12,2370
VARI (13,1)	-12,2194
VARI (14,1)	-12,2228
VARI (15,1)	-12,1556

Berdasarkan Tabel 4.5 dapat dilihat bahwa model *time series* yang memiliki AIC terkecil adalah VARI (6,1). Namun model ini tidak dipilih karena residual dari model ini tidak memenuhi asumsi *white noise* yang mana asumsi ini harus dipenuhi untuk menghilangkan autokorelasi pada data. Untuk melihat hasil uji portmanteau pada masing-masing model VAR dapat dilihat pada Lampiran G. Hanya model VARI (14,1) yang menghasilkan uji portmanteau dan ACF masing-masing residual karakteristik kualitas yang telah memenuhi asumsi *white noise*, selain itu nilai AIC dari model VARI (14,1) tergolong cukup kecil. Sehingga model VAR yang terbentuk dari data kualitas GKP periode giling Tahun 2017 adalah VARI (14,1).

4.3.4 Estimasi Parameter

Untuk membuktikan bahwa model VAR yang terbentuk memiliki parameter yang signifikan maka dapat melihat estimasi parameter model VAR. Pada pemodelan VAR ini diutamakan model yang memenuhi asumsi residual yang *white noise* untuk menghasilkan residual yang bebas autokorelasi sehingga data residual dapat digunakan untuk membuat peta kendali multivariat.

Estimasi parameter dari model VARI (14,1) menghasilkan 126 parameter. Dengan menggunakan data pada Lampiran D dan hasilnya ditunjukkan pada Lampiran H. Berikut merupakan parameter yang signifikan dari model VARI (14,1).

Tabel 4.6 Estimasi Parameter Model VARI (14,1)

Variabel Karakteristik Kualitas	Parameter	Nilai	P-value	Variabel
Kadar Air	AR 1_1_1	-0,70401	0,0001	kadar(t-1)
	AR 1_1_2	0,00019	0,8090	warna(t-1)
	AR 1_1_3	-0,00988	0,6681	bjb(t-1)
	AR 2_1_1	-0,62574	0,0001	kadar(t-2)
	AR 2_1_2	0,00030	0,7532	warna(t-2)
	AR 2_1_3	0,00611	0,8428	bjb(t-2)
	AR 3_1_1	-0,52237	0,0001	kadar(t-3)
	AR 3_1_2	-0,00041	0,6963	warna(t-3)
	AR 3_1_3	-0,01034	0,7753	bjb(t-3)
	AR 4_1_1	-0,36757	0,0004	kadar(t-4)
	AR 4_1_2	0,00023	0,8300	warna(t-4)
	AR 4_1_3	-0,02282	0,5596	bjb(t-4)
	AR 5_1_1	-0,40904	0,0001	kadar(t-5)
	AR 5_1_2	0,00050	0,6565	warna(t-5)
	AR 5_1_3	-0,01988	0,6260	bjb(t-5)
	AR 6_1_1	-0,34562	0,0015	kadar(t-6)
	AR 6_1_2	-0,00009	0,9387	warna(t-6)
	AR 6_1_3	-0,04603	0,2758	bjb(t-6)
	AR 7_1_1	-0,32650	0,0027	kadar(t-7)

Tabel 4.6 Estimasi Parameter Model VARI (14,1) (lanjutan)

Variabel Karakteristik Kualitas	Parameter	Nilai	P-value	Variabel
Kadar Air	AR 7_1_2	-0,00191	0,1034	warna(t-7)
	AR 7_1_3	-0,02177	0,6109	bjb(t-7)
	AR 8_1_1	-0,23859	0,0272	kadar(t-8)
	AR 8_1_2	-0,00264	0,0242	warna(t-8)
	AR 8_1_3	-0,03590	0,4048	bjb(t-8)
	AR 9_1_1	-0,18968	0,0747	kadar(t-9)
	AR 9_1_2	-0,00334	0,0049	warna(t-9)
	AR 9_1_3	-0,02069	0,6285	bjb(t-9)
	AR 10_1_1	-0,18740	0,0691	kadar(t-10)
	AR 10_1_2	-0,00150	0,2079	warna(t-10)
	AR 10_1_3	-0,02188	0,5954	bjb(t-10)
	AR 11_1_1	-0,12001	0,2190	kadar(t-11)
	AR 11_1_2	-0,00116	0,3266	warna(t-11)
	AR 11_1_3	-0,03460	0,3747	bjb(t-11)
	AR 12_1_1	-0,07888	0,3716	kadar(t-12)
	AR 12_1_2	-0,00004	0,9748	warna(t-12)
	AR 12_1_3	0,02986	0,4092	bjb(t-12)
	AR 13_1_1	-0,06283	0,4229	kadar(t-13)
	AR 13_1_2	0,00001	0,9894	warna(t-13)
	AR 13_1_3	-0,01695	0,5805	bjb(t-13)
	AR 14_1_1	-0,01764	0,7841	kadar(t-14)
	AR 14_1_2	-0,00145	0,0782	warna(t-14)
	AR 14_1_3	-0,01178	0,6154	bjb(t-14)
Warna Larutan	AR 1_2_1	-2,48872	0,6798	kadar(t-1)
	AR 1_2_2	-0,67927	0,0001	warna(t-1)
	AR 1_2_3	1,80851	0,3686	bjb(t-1)
	AR 2_2_1	6,82231	0,3546	kadar(t-2)
	AR 2_2_2	-0,48966	0,0001	warna(t-2)
	AR 2_2_3	2,28344	0,3963	bjb(t-2)
	AR 3_2_1	0,30400	0,9708	kadar(t-3)

Tabel 4.6 Estimasi Parameter Model VARI (14,1) (lanjutan)

Variabel Karakteristik Kualitas	Parameter	Nilai	P-value	Variabel
Warna	AR 3_2_2	-0,30528	0,0010	warna(t-3)
Larutan	AR 3_2_3	0,30402	0,9233	bjb(t-3)
	AR 4_2_1	3,93165	0,6591	kadar(t-4)
	AR 4_2_2	-0,25980	0,0057	warna(t-4)
	AR 4_2_3	-2,91582	0,3929	bjb(t-4)
	AR 5_2_1	3,54472	0,6995	kadar(t-5)
	AR 5_2_2	-0,18071	0,0637	warna(t-5)
	AR 5_2_3	-5,15178	0,1486	bjb(t-5)
	AR 6_2_1	5,49049	0,5578	kadar(t-6)
	AR 6_2_2	-0,02941	0,7714	warna(t-6)
	AR 6_2_3	-5,82084	0,1147	bjb(t-6)
	AR 7_2_1	10,23564	0,2761	kadar(t-7)
	AR 7_2_2	-0,15402	0,1315	warna(t-7)
	AR 7_2_3	-4,00163	0,2841	bjb(t-7)
	AR 8_2_1	9,84624	0,2937	kadar(t-8)
	AR 8_2_2	-0,21135	0,0387	warna(t-8)
	AR 8_2_3	-4,04212	0,2825	bjb(t-8)
	AR 9_2_1	3,46290	0,7081	kadar(t-9)
	AR 9_2_2	-0,18776	0,0688	warna(t-9)
	AR 9_2_3	-5,11698	0,1710	bjb(t-9)
	AR 10_2_1	-0,64375	0,9427	kadar(t-10)
	AR 10_2_2	-0,23116	0,0263	warna(t-10)
	AR 10_2_3	-2,57776	0,4734	bjb(t-10)
	AR 11_2_1	3,79622	0,6552	kadar(t-11)
	AR 11_2_2	-0,22205	0,0321	warna(t-11)
	AR 11_2_3	-5,45312	0,1095	bjb(t-11)
	AR 12_2_1	4,38236	0,5691	kadar(t-12)
	AR 12_2_2	-0,13655	0,1770	warna(t-12)
	AR 12_2_3	-1,23593	0,6951	bjb(t-12)
	AR 13_2_1	-9,97275	0,1454	kadar(t-13)

Tabel 4.6 Estimasi Parameter Model VARI (14,1) (lanjutan)

Variabel Karakteristik Kualitas	Parameter	Nilai	P-value	Variabel
Warna Larutan	AR 13_2_2	-0,09738	0,2881	warna(t-13)
	AR 13_2_3	-2,43697	0,3625	bjb(t-13)
	AR 14_2_1	1,03217	0,8542	kadar(t-14)
	AR 14_2_2	0,07155	0,3169	warna(t-14)
	AR 14_2_3	-0,88949	0,6636	bjb(t-14)
BBB	AR 1_3_1	0,10411	0,6120	kadar(t-1)
	AR 1_3_2	-0,00356	0,1346	warna(t-1)
	AR 1_3_3	-0,89501	0,0001	bjb(t-1)
	AR 2_3_1	-0,14157	0,5722	kadar(t-2)
	AR 2_3_2	-0,00534	0,0639	warna(t-2)
	AR 2_3_3	-0,88204	0,0001	bjb(t-2)
	AR 3_3_1	-0,30440	0,2828	kadar(t-3)
	AR 3_3_2	-0,00685	0,0284	warna(t-3)
	AR 3_3_3	-0,69466	0,0001	bjb(t-3)
	AR 4_3_1	-0,38107	0,2097	kadar(t-4)
	AR 4_3_2	-0,01011	0,0016	warna(t-4)
	AR 4_3_3	-0,59706	0,0001	bjb(t-4)
	AR 5_3_1	-0,26782	0,3918	kadar(t-5)
	AR 5_3_2	-0,01314	0,0001	warna(t-5)
	AR 5_3_3	-0,52195	0,0001	bjb(t-5)
	AR 6_3_1	-0,06985	0,8265	kadar(t-6)
	AR 6_3_2	-0,01282	0,0003	warna(t-6)
	AR 6_3_3	-0,37789	0,0028	bjb(t-6)
	AR 7_3_1	0,00078	0,9980	kadar(t-7)
	AR 7_3_2	-0,00618	0,0758	warna(t-7)
	AR 7_3_3	-0,40591	0,0016	bjb(t-7)
	AR 8_3_1	0,30034	0,3465	kadar(t-8)
	AR 8_3_2	-0,00171	0,6210	warna(t-8)
	AR 8_3_3	-0,35987	0,0053	bjb(t-8)
	AR 9_3_1	0,53535	0,0900	kadar(t-9)

Tabel 4.6 Estimasi Parameter Model VARI (14,1) (lanjutan)

Variabel Karakteristik Kualitas	Parameter	Nilai	P-value	Variabel
BJB	AR 9_3_2	-0,00412	0,2397	warna(t-9)
	AR 9_3_3	-0,29199	0,0222	bjb(t-9)
	AR 10_3_1	0,33034	0,2792	kadar(t-10)
	AR 10_3_2	-0,00373	0,2903	warna(t-10)
	AR 10_3_3	-0,31934	0,0096	bjb(t-10)
	AR 11_3_1	0,44664	0,1237	kadar(t-11)
	AR 11_3_2	-0,00170	0,6283	warna(t-11)
	AR 11_3_3	-0,21231	0,0673	bjb(t-11)
	AR 12_3_1	0,67945	0,0100	kadar(t-12)
	AR 12_3_2	-0,00138	0,6881	warna(t-12)
	AR 12_3_3	-0,22334	0,0384	bjb(t-12)
	AR 13_3_1	0,36591	0,1166	kadar(t-13)
	AR 13_3_2	-0,00207	0,5057	warna(t-13)
	AR 13_3_3	-0,17598	0,0542	bjb(t-13)
	AR 14_3_1	0,39719	0,0387	kadar(t-14)
	AR 14_3_2	-0,00405	0,0967	warna(t-14)
	AR 14_3_3	-0,16260	0,0202	bjb(t-14)

Berdasarkan Tabel 4.6 diketahui bahwa pada kolom pertama merupakan variabel karakteristik kualitas GKP yaitu kadar air, warna larutan, dan BJB. Kolom kedua menunjukkan parameter mana yang signifikan pada masing-masing variabel karakteristik kualitas dan nilai dari parameter tersebut ditunjukkan pada kolom ketiga. Besarnya *p-value* masing-masing parameter terdapat pada kolom keempat dengan taraf signifikan sebesar 0,05 diperoleh 35 parameter signifikan dan 91 parameter tidak signifikan. Menurut Hyndman dan Kostenko (2008) pengujian signifikansi dan asumsi dapat diabaikan, sebab yang diutamakan adalah kebaikan model untuk memperoleh ramalan yang tepat sehingga pada penelitian ini parameter yang tidak signifikan tetap dimasukkan dalam model dan residual model

VARI (14,1) ini yang akan dikendalikan menggunakan diagram kendali.

4.3.5 Pengujian Asumsi Residual

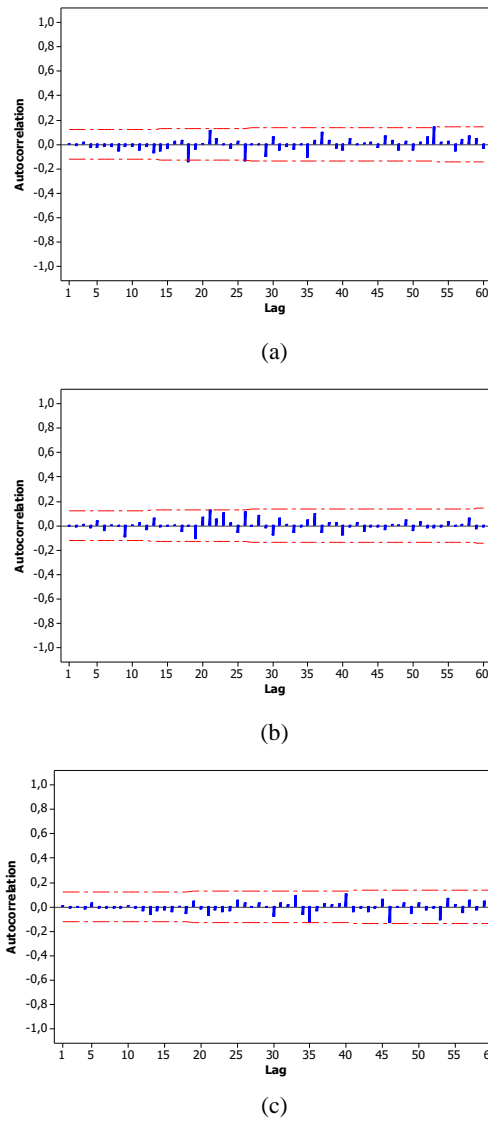
Untuk memperoleh residual yang bebas dari autokorelasi maka terdapat asumsi yang harus dipenuhi oleh residual, yakni residual yang *white noise*. Suatu residual dikatakan *white noise* apabila seluruh lag memenuhi nilai *p-value* yang lebih besar dari alpha yaitu 0,05 atau secara visual semua lag berada pada batas *confidence interval* pada plot ACF. Sedangkan untuk pengujian residual memiliki distribusi multivariat normal atau tidak dapat dilihat dengan uji Shapiro Wilk.

Dengan menggunakan data pada Lampiran D dan hasil dari pengujian Portmanteau dapat dilihat pada Lampiran H yang kemudian pada Tabel 4.7 ditampilkan rangkuman dari uji portmentau yang dilakukan.

Tabel 4.7 Uji Portmentau Model VAR 14

Lag	$\chi^2_{(m^2k)}$	Q _k	<i>p-value</i>	Lag	$\chi^2_{(m^2k)}$	Q _k	<i>P-value</i>
15	16,92	26,21	0,0019	26	133,26	115,8	0,2865
16	28,87	29,56	0,0419	27	143,25	121,57	0,3676
17	40,11	40,69	0,0441	28	153,20	127,91	0,4358
18	51,00	49,13	0,0710	29	163,12	140,24	0,3613
19	61,66	56,45	0,1177	30	173,00	152,79	0,2922
20	72,15	61,08	0,2367	31	182,86	158,81	0,3571
21	82,53	78,09	0,0955	32	192,70	167,23	0,3729
22	92,81	85,48	0,1324	33	202,51	173,57	0,4309
23	103,01	94,35	0,1473	34	212,30	180,01	0,4858
24	113,15	99,45	0,2326	35	222,08	192,24	0,4208
25	123,23	105,74	0,3030	36	231,83	202,66	0,3952

Berdasarkan Tabel 4.7 dapat diketahui bahwa terdapat beberapa lag yang memiliki nilai *p-value* kurang dari 0,05 sehingga dapat dikatakan bahwa masih terdapat autokorelasi. Namun untuk melihat apakah data sudah terbebas dari autokorelasi juga dapat dilihat berdasarkan plot ACF residual masing-masing karakteristik kualitas. Berikut merupakan plot ACF resisual dengan data residual terdapat pada Lampiran I.



Gambar 4.6 Plot ACF Residual (a) Kadar Air (b) Warna Larutan (c) BJB

Gambar 4.6 merupakan plot ACF dari residual yang terbentuk dari model VARI (14,1) untuk data karakteristik kualitas GKP periode giling Tahun 2017. Pada Gambar 4.6 terdapat 3 plot ACF, (a) plot ACF residual kadar air, plot (b) merupakan plot ACF residual warna larutan dan plot (c) adalah plot ACF residual BJB. Dalam plot ACF tersebut, garis vertikal menggambarkan tentang besarnya autokorelasi yang terjadi pada tiap lag dan garis horizontal berwarna merah dan terputus menggambarkan tentang *confidence interval* yang terbentuk pada plot ACF.

Berdasarkan Gambar 4.6 dapat pula diketahui bahwa lag ACF residual pada masing-masing karakteristik kualitas berada dalam *confidence interval* yang berarti bahwa sudah tidak terjadi autokorelasi pada data residual yang dihasilkan dari model VAR 14 data karakteristik kualitas GKP periode giling tahun 2017. Sehingga residual inilah yang akan dilakukan pengendalian kualitasnya dengan diagram kendali.

Selanjutnya dilakukan pengecekan apakah residual berdistribusi multivariat normal atau tidak dengan menggunakan uji Shapiro Wilk. Data yang digunakan pada uji Shapiro Wilk terdapat pada Lampiran I.

P-value dari pengujian Shapiro Wilk untuk residual model VARI (14,1) adalah sebesar 0,002101. *P-value* ini lebih kecil dari alpha yaitu sebesar 0,05 sehingga keputusan yang diambil adalah tolak H_0 , hal ini berarti bahwa residual model VARI (14,1) tidak berdistribusi multivariat normal.

4.4 Pengendalian Kualitas GKP

Langkah yang dilakukan dalam pengendalian kualitas GKP produksi PG Rejo Agung Baru Madiun adalah menguji korelasi antar variabel karakteristik kualitas GKP kemudian dilanjutkan dengan pengujian distribusi multivariat normal. Setelah dilakukan pengujian asumsi, langkah yang dilakukan yaitu pengendalian variabilitas dan rata-rata. Selanjutnya yaitu menghitung kapabilitas proses.

4.4.1 Pengujian Asumsi Diagram Kendali

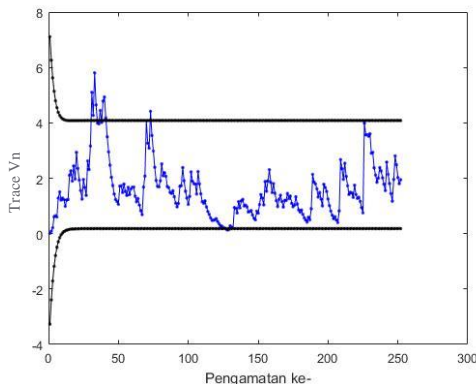
Asumsi yang harus terpenuhi agar dapat melakukan pengendalian kualitas secara multivariat adalah adanya dependensi antar variabel karakteristik kualitas dan data berdistribusi multivariat normal. Dalam menggunakan diagram kontrol dengan data berbasis *time series*, pengujian asumsi dilakukan pada residual karakteristik kualitas dari model yang telah diperoleh. Pengujian asumsi multivariat normal telah dilakukan pada saat pengujian asumsi model VAR. Dengan menggunakan data pada Lampiran I diperoleh *chi square* dari uji Bartlett data residual karakteristik kualitas GKP sebesar 12,205 dengan *p-value* sebesar 0,007. Jika *chi square* hitung dibandingkan dengan *chi square* tabel sebesar 7,815 atau *p-value* dibandingkan dengan alpha sebesar 0,05 maka keputusan yang diambil adalah tolak H_0 yang berarti varians dari matriks korelasi dari residual masing-masing karakteristik kualitas tidak sama dengan matriks identitas atau terdapat korelasi pada matriks kovariansnya.

4.4.2 Pengendalian Kualitas Pada Variabilitas Proses Pembuatan GKP

Setelah dilakukan pengujian asumsi dan hasil pengujian residual telah memenuhi asumsi, maka langkah selanjutnya yaitu membentuk diagram kendali variabilitas proses dengan menggunakan diagram kendali MEWMV, di mana titik yang diplot pada diagram kendali adalah nilai yang telah dilakukan pembobotan sebelumnya yaitu $\text{Tr}(V_n)$.

Huwang (2007) menyatakan bahwa nilai pembobot ω dan λ yang kurang dari 0,4 dapat memberikan hasil pengontrolan terhadap variabilitas proses yang terjadi lebih sensitif, oleh karena itu pada penelitian ini digunakan pembobot ω dan λ yang kurang dari sama dengan 0,4 yaitu 0,1, 0,2, 0,3, dan 0,4. Pembobotan ω dan λ dilakukan secara kombinasi, dimulai dari $\omega=0,1$ $\lambda=0,1$ kemudian $\omega=0,1$ $\lambda=0,2$ hingga $\omega=0,4$ $\lambda=0,4$ kemudian dipilih pembobot yang paling optimum. Batas kendali dipengaruhi oleh nilai L yang terdapat pada Lampiran L. Apabila terjadi proses

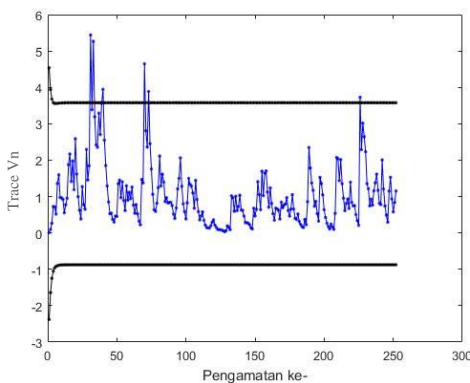
yang tidak terkendali maka dilakukan identifikasi faktor penyebab tidak terkendalianya proses tersebut. Berikut merupakan plot $\text{tr}(V_n)$ dengan $\omega=0,2 \lambda=0,2$.



Gambar 4.7 Diagram Kendali MEWMV $\omega=0,2 \lambda=0,2 L=3,3086$

Dari Gambar 4.7 diketahui bahwa sumbu mendatar menunjukkan pengamatan dan sumbu vertikal merupakan nilai $\text{tr}(V_n)$ pada pengamatan ke i , di mana $i=1,2, 3,\dots,252$. Nilai batas kendali atas kendali berbeda-beda pada tiap pengamatan yang diperoleh dari persamaan (2.37) kemudian diperoleh batas kendali atas (BKA) yang maksimum sebesar 4,0856 dan batas kendali bawah (BKB) sebesar 0,1811. Berdasarkan nilai pembobot $\omega=0,2 \lambda=0,2$ dan $L = 3,3086$, terlihat terdapat 12 data *out of control*.

Selanjutnya dilakukan pengendalian varians dengan menggunakan bobot $\omega=0,2 \lambda=0,2$ dan $L = 3,3086$, diagram kendali MEWMV disajikan pada Gambar 4.8. Nilai batas kendali berbeda-beda pada tiap pengamatan, kemudian diperoleh BKA yang maksimum sebesar 3,5767 dan BKB sebesar -0,8767. Berdasarkan nilai pembobot $\omega=0,2 \lambda=0,2$ dan $L = 3,3086$, terlihat terdapat 6 data *out of control* yang berarti bahwa variabilitas proses produksi GKP cukup baik dibandingkan dengan pembobot sebelumnya.



Gambar 4.8 Diagram Kendali MEWMV $\omega=0,4 \lambda=0,4 L=3,9219$

Kemudian dilakukan pengendalian dengan pembobot $\omega=0,2 \lambda=0,4$ dan $L=3,3213$ untuk pengendalian variabilitas, dengan menggunakan pembobot ini diketahui terdapat 13 data *out of control* dengan BKA sebesar 2,6240 dan BKB sebesar 0,0760. Selisih antara BKA dan BKB pembobot ini sebesar 2,5480 sedangkan untuk selisih BKA dan BKB pembobot $\omega=0,4 \lambda=0,4$ dan $L=3,9219$ lebih lebar dibandingkan dengan pembobot $\omega=0,2 \lambda=0,4$ yang berarti bahwa dengan pembobot $\omega=0,2 \lambda=0,4$ diagram kendali MEWMV untuk mengendalikan variabilitas proses lebih sensitif. Untuk percobaan dengan menggunakan pembobot ω dan λ lainnya dapat dilihat pada Lampiran N.

Setelah dilakukan pengontrolan dengan berbagai pembobot didapatkan hasil perhitungan batas diagram masing-masing diagram kendali. Untuk mengetahui diagram kendali MEWMV yang paling sensitif dalam mendekripsi varians proses, dilakukan perhitungan $|BKA - BKB|$ dan didapatkan hasil sebagai berikut.

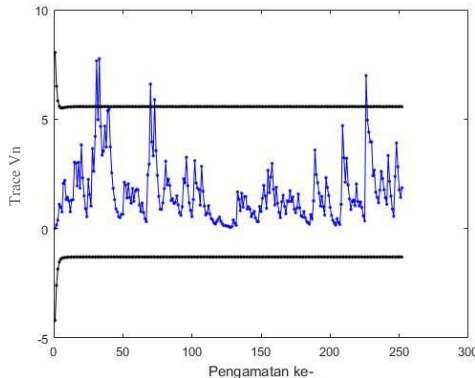
Tabel 4.8 Hasil Perhitungan BKA-BKB pada Diagram Kendali MEWMV

ω	λ	L	Tr(Vn) max	BKA	BKB	 Max tr(Vn)- BKA 	BKA- BKB	Out of control
0,1	0,1	2,7900	4,8400	3,9057	1,2100	0,9343	2,6957	63
0,1	0,2	2,7939	5,8052	3,2733	0,9934	2,5319	2,2798	64
0,1	0,3	2,7949	5,8068	2,6670	0,7918	3,1398	1,8753	62
0,1	0,4	2,7988	5,4384	2,0945	0,6055	3,3439	1,4890	62
0,2	0,1	3,3105	4,8400	4,8756	0,2402	0,0356	4,6355	15
0,2	0,2	3,3086	5,8052	4,0856	0,1811	1,7196	3,9046	12
0,2	0,3	3,3164	5,8068	3,3356	0,1229	2,4712	3,2131	14
0,2	0,4	3,3213	5,4384	2,6240	0,0760	2,8144	2,5480	13
0,3	0,1	3,6484	4,8400	5,7717	-0,6559	0,9317	6,4277	8
0,3	0,2	3,6523	5,8052	4,8395	-0,5728	0,9657	5,4123	8
0,3	0,3	3,6602	5,8068	3,9520	-0,4932	1,8548	4,4452	9
0,3	0,4	3,6699	5,4384	3,1118	0,4118	2,3266	3,5236	9
0,4	0,1	3,8984	4,8400	6,6407	-1,5249	1,8007	8,1656	7
0,4	0,2	3,9063	5,8052	5,5684	-1,3018	0,2368	6,8702	5
0,4	0,3	3,9121	5,8068	4,5438	-1,0850	1,2630	5,6288	6
0,4	0,4	3,9219	5,4384	3,5767	-0,8767	1,8617	4,4534	6

Dalam menentukan pembobot optimum dapat dilihat dari jumlah pengamatan *out of control* yang paling minimum. Namun akan lebih baik dengan memperhatikan nilai $|\max \text{tr}(Vn) - \text{BKA}|$ yang merupakan nilai *error*, karena semakin kecil selisihnya, maka probabilitas suatu pengamatan jatuh di luar batas kendali tanpa adanya *assignable cause* akan lebih kecil. Selain itu juga dapat dilihat dari selisih BKA dan BKB yang lebih sempit.

Tabel 4.8 menunjukkan beberapa kombinasi nilai pembobot dalam pembuatan peta kendali MEWMV. Dilihat dari jumlah pengamatan yang *out of control* pembobot dengan $\omega=0,4$ $\lambda=0,2$ memiliki jumlah pengamatan *out of control* terkecil yaitu 5. Sedangkan jika dilihat dari selisih nilai $|\max \text{tr}(Vn) - \text{BKA}|$ yang terkecil adalah pembobot $\omega=0,2$ $\lambda=0,1$ yaitu sebesar 0,0356 dan selisih terkecil kedua adalah pembobot $\omega=0,4$ $\lambda=0,2$ yaitu sebesar 0,2368. Selain itu juga dapat dilihat dari selisih BKA dan BKB semakin sempit selisih BKA dan BKB maka semakin sensitif pula diagram kendali MEWMV. Dengan mempertimbangkan ketiga cara untuk menentukan pembobot optimum maka ditentukan bahwa pembobot yang optimum untuk

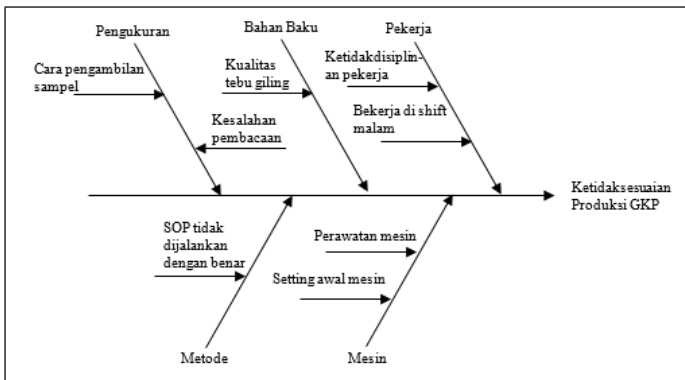
mendeteksi variabilitas adalah $\omega=0,4$ $\lambda=0,2$. Berikut merupakan diagram kendali MEWMV dengan pembobot $\omega=0,4$ $\lambda=0,2$.



Gambar 4.9 Diagram Kendali MEWMV $\omega=0,4$ $\lambda=0,2$ dan $L=3,9063$

Dilihat dari Gambar 4.9 pada diagram kendali MEWMV dengan pembobot $\omega=0,4$ $\lambda=0,2$ terlihat adanya data yang berada di luar batas, hal ini menandakan bahwa variabilitas proses produksi GKP PG Rejo Agung Baru madiun belum terkendali secara statistik.

Setelah dilakukan pengendalian variabilitas proses, langkah selanjutnya yaitu melakukan pengendalian rata-rata proses. Namun sebelum itu perlu dilakukan identifikasi faktor penyebab (*assignable cause*) tidak terkendalinya suatu proses tersebut. Berikut merupakan diagram ishikawa yang merepresentasikan faktor penyebab tidak terkendalinya data pengamatan pada proses produksi GKP selama periode giling tahun 2017.

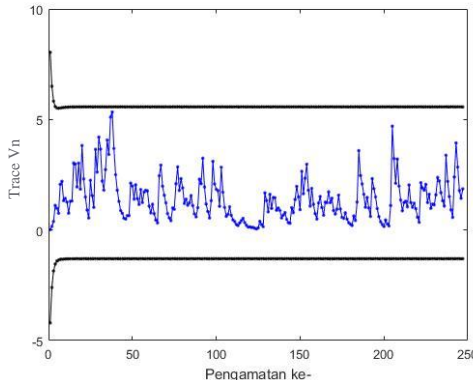


Gambar 4.10 Diagram Ishikawa Produk GKP

Gambar 4.10 menjelaskan mengenai faktor penyebab terjadinya ketidaksesuaian produksi GKP di PG Rejo Agung Baru terdapat lima penyebab utama yaitu pengukuran, bahan baku, pekerja, metode, dan mesin. Dari faktor utama pengukuran mungkin saja terjadi kesalahan pada saat pengambilan sampel gula dan saat mengecek nilai kualitas terjadi kesalahan baca. Pada faktor bahan baku disebabkan karena kualitas tebu yang digiling kurang baik atau masih terdapat banyak kotoran. Pada faktor utama pekerja disebabkan karena ketidakdisiplinan pekerja saat memasak gula dan faktor kelalaian saat bekerja pada shift malam. Faktor metode disebabkan karena SOP yang tidak dijalankan dengan benar. Faktor mesin disebabkan karena setting awal mesin yang tidak tepat dan perawatan mesin pada saat masa *maintenance*.

Tahap selanjutnya adalah dilakukan perbaikan peta kendali dengan cara mengeluarkan pengamatan yang *out of control*. Pada diagram kendali MEWMV dengan pembobot optimum diketahui terdapat 5 pengamatan yang *out of control*, pembuangan data dilakukan dari data yang memiliki selisih nilai $tr(Vn)$ dengan BKA yang paling besar. Iterasi pembuangan data terdapat pada Lampiran M, iterasi dilakukan sebanyak 5 kali hingga diperoleh diagram kendali MEWMV yang telah terkendali, berikut

merupakan diagram kendali MEWMV yang telah dilakukan perbaikan.

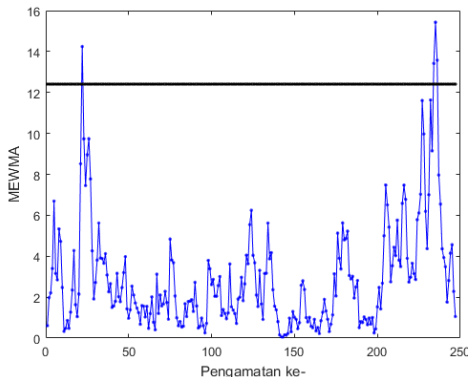


Gambar 4.11 Diagram Kendali MEWMV $\omega=0,4$ $\lambda=0,2$ $L=3,9063$ setelah perbaikan

Berdasarkan Gambar 4.11 diketahui bahwa setelah pengamatan yang berada di luar batas kendali dihilangkan satu per satu dari yang terjauh terlihat bahwa sudah tidak ada lagi pengamatan yang berada di luar batas kendali. Dapat disimpulkan bahwa setelah dilakukan perbaikan maka variabilitas proses pembuatan GKP telah terkendali secara statistik.

4.4.3 Pengendalian Kualitas Pada Rata-Rata Proses Pembuatan GKP

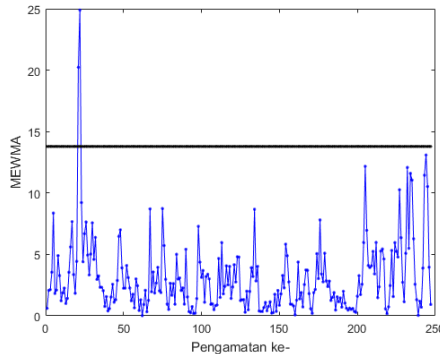
Setelah data pengamatan proses produksi GKP telah terkendali, maka langkah selanjutnya adalah melakukan pengendalian kualitas pada rata-rata proses produksi GKP di PG Rejo Agung Baru Madiun periode giling tahun 2017 dengan menggunakan diagram kendali MEWMA dengan data pengamatan yang telah terkendali variabilitas prosesnya yang dapat ditinjau pada Lampiran M. Pembobot pada MEWMA disimbolkan dengan λ , di mana nilai pembobot yang digunakan dalam penelitian ini adalah 0,1 hingga 0,9. Berikut ini adalah hasil monitoring rata-rata proses produksi GKP dengan menggunakan diagram kendali MEWMA nilai λ 0,1.



Gambar 4.12 Diagram Kendali MEWMA dengan $\lambda=0,1$

Titik pengamatan yang diperoleh pada plot merupakan nilai T_t^2 . Pada Gambar 4.12 diketahui bahwa terdapat 4 pengamatan yang *out of control* dengan nilai T_t^2 tertinggi sebesar 15.43. Nilai batas kendali atas sebesar 12,41 dan 0 sebagai batas kendali bawah. Berdasarkan Gambar 4.12, dapat disimpulkan bahwa rata-rata proses kualitas GKP di PG Rejo Agung Baru Madiun belum terkendali secara statistik. Selain itu dapat disimpulkan bahwa proses belum stabil dilihat dari pengamatan yang fluktuatif.

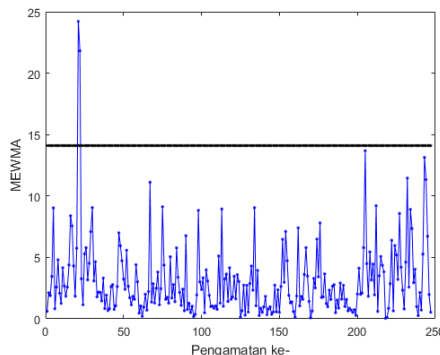
Penelitian dilanjutkan dengan menggunakan pembobot λ 0,3. Diagram kendali MEWMA yang dihasilkan dengan pembobot $\lambda=0,3$ menghasilkan batas kendali atas sebesar 13,79 dengan jumlah pengamatan *out of control* sebanyak 2 pengamatan. Diagram kendali MEWMA dengan pembobot $\lambda=0,3$ disajikan pada Gambar 4.13.



Gambar 4.13 Diagram Kendali MEWMA dengan $\lambda=0,3$

Berdasarkan Gambar 4.13 dapat diketahui bahwa rata-rata proses kualitas GKP di PG Rejo Agung Baru Madiun dengan menggunakan diagram kendali MEWMA nilai pembobot $\lambda=0,3$ belum terkendali secara statistik. Hal ini dilihat dari masih adanya pengamatan yang berada di luar batas kendali.

Jika dibandingkan dengan nilai pembobot sebelumnya yaitu $\lambda=0,1$, pembobot $\lambda=0,3$ memiliki daerah batas kualitas yang lebih lebar. Selain itu jika dilihat dari jumlah pengamatan yang *out of control* lebih sedikit dibanding pembobotan sebelumnya. Selanjutnya menggunakan pembobot $\lambda=0,5$ yang disajikan pada Gambar 4.14.



Gambar 4.14 Diagram Kendali MEWMA dengan $\lambda=0,5$

Dari Gambar 4.14 diketahui bahwa dengan menggunakan pembobot $\lambda=0,5$ terdapat 2 pengamatan yang *out of control* dengan nilai batas kendali sebesar 14,10. Nilai nilai T_i^2 tertinggi sebesar 24,21 pada pengamatan ke-2. Dapat disimpulkan bahwa dengan pembobot $\lambda=0,5$ proses kualitas GKP belum terkendali secara statistik karena masih adanya pengamatan yang *out of control*. Untuk percobaan dengan menggunakan pembobot λ lainnya dapat dilihat pada Lampiran O.

Untuk menentukan pembobot yang paling optimum dapat dilakukan dengan memperhatikan jumlah pengamatan yang *out of control*. Selain itu juga dapat memperhatikan selisih antara nilai pengamatan paling besar dengan BKA, pembobot optimum memiliki selisih yang paling kecil. Rangkuman dari percobaan berbagai pembobot disajikan pada Tabel 4.9.

Tabel 4.9 Perhitungan Bobot Maksimum Untuk Diagram Kendali MEWMA

λ	Titik Maksimum	BKA	Selisih	<i>Out of Control</i>
0,1	15,43	12,41	3,02	4
0,2	22,45	13,39	9,05	3
0,3	24,89	13,79	11,10	2
0,4	24,20	13,99	10,21	2
0,5	24,21	14,10	10,11	2
0,6	24,42	14,16	10,26	2
0,7	23,89	14,19	9,70	2
0,8	22,91	14,21	8,71	1
0,9	21,69	14,21	7,47	1

Berdasarkan percobaan diagram kendali MEWMA dengan pembobot $0,1 < \lambda < 0,9$ yang disajikan pada Tabel 4.9, diketahui bahwa secara keseluruhan pengendalian rata-rata proses pada data kualitas GKP belum terkendali secara statistik karena masih adanya pengamatan yang *out of control*. Dapat diketahui pula jika semakin besar pembobot maka semakin lebar nilai batas kendali. Jika dilihat dari selisih nilai maksimum terhadap batas kendali, pembobot 0,1 memiliki selisih yang paling kecil. Dengan menggunakan pembobot 0,1 pengamatan belum terkendali secara statistik namun merupakan pembobot paling optimum dibandingkan dengan yang lain.

4.4.4 Analisis Kapabilitas Kualitas Proses GKP

Analisis kapabilitas proses adalah analisis guna menaksir kemampuan proses pada suatu produk dalam memenuhi spesifikasi yang telah ditentukan. Analisis kemampuan proses merupakan bagian yang sangat penting dari keseluruhan program peningkatan kualitas. Proses dikatakan kapabel jika dalam keadaan terkendali, memenuhi batas spesifikasi, dan tingkat akurasi dan presisi tinggi. Presisi adalah ukuran pendekatan antara suatu pengamatan dengan yang lain. Sedangkan akurasi adalah ukuran kedekatan pengamatan dengan nilai target dalam spesifikasi.

Hasil analisis diagram kendali MEWMV dan MEWMA, didapatkan hasil bahwa varabel kadar air, warna larutan dan besar jenis butir tidak terkendali secara statistik pada varians dan rata-rata, oleh karena itu perhitungan kapabilitas proses menggunakan MP_p dan MP_{pk} . Untuk memperoleh indeks kapabilitas multivariat perlu diketahui kapabilitas proses secara multivariat yang disajikan pada Tabel 4.12.

Tabel 4.10 Perhitungan Analisis Kapabilitas Univariat

Variabel	P_p	P_{pk}
Kadar Air	0,81	-0,97
Warna Larutan	0,18	-0,69
Besar Jenis Butir	0,64	0,16

Dari Tabel 4.10 diketahui bahwa nilai P_p masing-masing variabel yaitu kadar air, warna larutan, dan besar jenis butir berturut-turut adalah 0,81, 0,18, dan 0,64, sedangkan nilai P_{pk} masing-masing sebesar -0,97, -0,69, dan 0,16. Dari hasil tersebut dapat dilihat bahwa variabel kadar air, warna larutan, dan besar jenis butir memiliki nilai P_p dan P_{pk} yang kurang dari 1, hal ini menunjukkan bahwa proses belum kapabel dan kinerja proses belum baik.

Selanjutnya dilakukan analisis kapabilitas secara multivariat dengan menggunakan persamaan (2.43) dan (2.44). Sehingga diperoleh indek kapabilitas multivariat MP_p dan MP_{pk} masing-masing sebesar 0,528 dan -0,495 nilai tersebut kurang dari 1 yang berarti bahwa proses pembuatan GKP di PG Rejo

Agung Baru Madiun belum kapabel dan kinerja proses belum baik.

(Halaman ini sengaja dikosongkan)

BAB V

KESIMPULAN DAN SARAN

5.1 Kesimpulan

Berdasarkan analisis yang telah dilakukan pada Bab IV, diperoleh kesimpulan bahwa asumsi dasar dalam menggunakan peta kendali konvensional adalah saling independen antar data pengamatan dan berdistribusi normal. Autokorelasi antar pengamatan akan membuat batas kendali pada diagram kendali konvensional menjadi semakin ketat dan menyebabkan munculnya banyak *false alarm*. Pendekatan yang dapat dilakukan jika terdapat autokorelasi pada data adalah dengan menggunakan pendekatan residual dari model *time series* untuk digunakan pada peta kendali. Residual yang dihasilkan oleh model terbaik *time series* akan memenuhi asumsi independen dan identik.

Dalam penelitian ini diketahui bahwa ketiga karakteristik kualitas GKP memiliki autokorelasi sehingga perlu dilakukan pemodelan *time series* dengan metode VAR. Model VAR yang paling baik adalah VARI (14,1), sehingga residual dari model VARI(14,1) ini yang akan digunakan dalam peta kendali MEWMV dan MEWMA. Pembobot optimum pada diagram kendali MEWMV adalah $\omega=0.4$ dan $\lambda=0.2$ karena menghasilkan pengamatan *out of control* paling sedikit dibandingkan dengan kombinasi pembobot lain dan memiliki selisih $|\max \operatorname{tr}(V_n) - BKA|$ terkecil. Variansi dari kualitas GKP PG Rejo Agung Baru Madiun belum terkendali secara statistik karena masih terdapat pengamatan yang keluar dari batas kendali. Untuk rata-rata proses dengan menggunakan pembobot optimum $\lambda=0.1$ pada diagram kendali MEWMA, dapat disimpulkan bahwa rata-rata proses belum terkendali secara statistik. Faktor penyebab terjadinya ketidaksesuaian produksi GKP di PG Rejo Agung Baru dipengaruhi lima faktor utama yaitu pengukuran, bahan baku, pekerja, metode, dan mesin.

Hasil perhitungan kapabilitas proses secara multivariat menunjukkan bahwa proses pembuatan GKP belum kapabel dan

kinerja proses belum baik karena nilai MP_p dan MP_{pk} kurang dari 1 yaitu masing-masing sebesar 0.528 dan -0.495. Sehingga dapat disimpulkan bahwa belum ada kecenderungan kinerja proses potensial kapabel pada ketiga variabel kadar air, warna larutan, serta besar jenis butir.

5.2 Saran

Berdasarkan hasil analisis dan pembahasan yang telah dilakukan maka saran yang dapat diberikan untuk PG Rejo Agung Baru madiun dan penelitian selanjutnya adalah sebagai berikut,

1. Disarankan untuk perusahaan saat melakukan pengendalian kualitas variansi proses untuk menggunakan pembobot $\omega=0.4$ dan $\lambda=0.2$ pada diagram kendali MEWMV karena menghasilkan pengamatan *out of control* paling sedikit dibandingkan dengan kombinasi pembobot lain. Sedangkan pembobot optimum yang disarankan untuk diagram kendali MEWMA adalah $\lambda=0.1$.
2. Untuk penelitian selanjutnya yang berkaitan dengan diagram kendali multivariat berbasis *time series* disarankan untuk memperhatikan pemodelan menggunakan VARIMA. Selain itu untuk disarankan untuk memastikan tidak ada efek autokorelasi pada data sebelum melakukan pengendalian kualitas.

DAFTAR PUSTAKA

- Alva, J. V., & Estrada, E. G. (2009). A Generalization of Shapiro-Wilk's Test for Multivariate Normality. *Communication in Statistics - Theory and Methods*, 38, 1870-1883.
- Alwan, L. C., & Roberts, H. V. (1988). Time Series Modelling for Statistical Process Control. *Journal of Business & Economic Statistic*, 6(1), 87-95.
- Anonim. (2015, November 30). 2015, *Impor Gula Indonesia Capai 2.882.811 Ton*. Dipetik Februari 10, 2018, dari ptpnx: <http://ptpn10.co.id/blog/2015-impor-gula-indonesia-capai-2882811-ton>
- Assauri, S. (1993). *Manajemen Produksi dan Operasi*. Jakarta: LPFE-UI.
- Box, G. E., & Cox, D. R. (1964). An Analysis of Transformations. *Journal of the Royal Statistical Society*, 26(2), 211-252.
- Gujarati, Damodar, N., & Porter, D. C. (2015). *Dasar-dasar Ekonometrika Edisi Lima*. Jakarta: Salemba Empat.
- Harianja, D. M. (2016). Analisis Pengendalian Kualitas Tetes PG Kreomboong Sidoarjo Menggunakan Diagram Kendali MEWMV dan MEWMA. *Jurnal Sains dan Seni ITS Vol. 5 No.2*, 289-294.
- Heizer, J., Render, B., & Munson, C. (2017). *Operations Management : Twelfth Edition*. USA: Pearson Education Inc.
- Hyndman, R. J., & Kostenko, A. V. (2008). Forecasting without significance tests?
- Idris, M. (2017, Juli 20). *detikFinance*. Dipetik Januari 22, 2018, dari detik.com: <https://finance.detik.com/industri/d-3567959/ri-kejar-swasembada-gula-2019-begini-jurusnya>
- Jarret, J. E., & Pan, X. (2006). The quality control chart for monitoring multivariate autocorrelated processes. *Journal Computational & Data Analysis* 51, 3862 – 3870.
- Johnson, R. A., & Wichern, D. W. (2007). *Applied Multivariate Statistical Analysis*. New Jersey: Prentice Hall.

- Lowry, C. A., Woodall, W. H., Champ, C. W., & Rigdon, S. E. (1992). A Multivariate Exponential Weighted Moving Average Control Chart. *Technometrics*, 46.
- Lutkepohl, H. (2005). *New Introduction to Multiple Time Series Analysis*. California: Springer.
- Makridakis, S., Wheelwright, S. C., & Hyndman, R. J. (1983). *Forecasting: Methods and Applications*. Canada: John Wiley & sons, Inc.
- Montgomery, D. C. (2013). *Introduction to Statistical Quality Control : Seventh Edition*. New Jersey: John Wiley & Sons, Inc.
- Morrison, D. F. (1990). *Multivariate Statistical Methods : Third Edition*. New York: Mc Graw Hill Publishing Comfiney.
- Payne, J. H. (1982). *Unit Operation in Cane Sugar Production*. New York: Elsevier Scientific Publishing Company.
- Psarakis, S., & Papaleonida, G. (2007). SPC Procedures for Monitoring Autocorrelated Processes. *Journal of Quality Technology & Quantitative Management*, 4(4), 501-540.
- Putri, R.S. (2015). Analisis Pengendalian Kualitas Tetes Produksi PG Pesantren Baru Kediri Menggunakan Diagram Kontrol Multivariate . *Jurnal Sains dan Seni ITS*, 4(2), 133-138.
- Raiissi, S. (2009). Dalam *Multivariate Process Capability Indoces on the Presence of Priority for Quality Characteristics*. Jurnal of Industrial Engineering International Vol. 5, No. 9.
- Sari, L. F., & Al-Hanif, Y. A. (2017). *Laporan Kegiatan Praktik Kerja Industri di PG Rajawali I Unit Kera PG Rejo Agung Baru*. Madiun: SMK Gula Rajawali Madiun.
- Sugiyanto, C. (2007, Desember). Permintaan Gula di Indonesia. *Jurnal Ekonomi Pembangunan*, Vol. 8, No. 2, 113-127.
- Tiao, & Box. (1981). Coefficient Methods. Dalam W. W. Wei, *Time Series Analysis*. New York: Addison Wesley.

- Tsay, R. S. (2014). *Multivariate Time Series Analysis: With R and Financial Applications*. New York: John Wiley & Sons, Inc.
- Wei, W. W. (2006). *Time Series Analysis*. New York: Pearson Education, Inc.

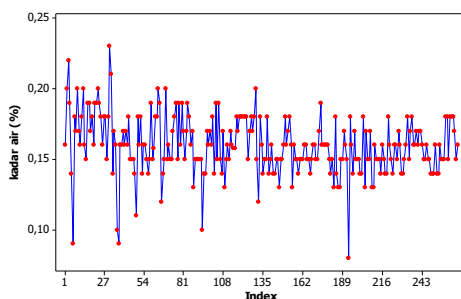
(Halaman ini sengaja dikosongkan)

LAMPIRAN

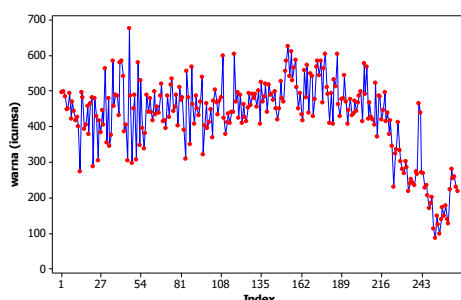
Lampiran A. Data Karakteristik Kualitas GKP PG Rejo Agung Baru Madiun

Subgrup	kadar air (%)	warna (icumsa)	BJB (mm)
1	0.16	495.15	0.94
2	0.2	498.13	0.95
3	0.22	483.81	1.09
4	0.19	447.97	1.01
5	0.14	449.58	0.91
6	0.09	493.33	1.23
7	0.18	422.36	0.9
8	0.17	470.79	0.83
9	0.2	443.31	0.97
10	0.17	417.71	0.97
11	0.16	426.07	0.84
12	0.18	400.2	0.91
13	0.2	274.19	0.96
14	0.16	497.11	0.85
15	0.15	482.24	0.99
.	.	.	.
.	.	.	.
.	.	.	.
256	0.15	139.09	0.6
257	0.15	171.57	0.56
258	0.15	149.55	0.7
259	0.18	177.36	0.73
260	0.18	139.86	0.74
261	0.15	127.63	0.71
262	0.18	224.2	0.81
263	0.18	280.89	0.89
264	0.18	255.17	0.77
265	0.17	258.68	0.76
266	0.15	229.75	0.71
267	0.16	217.54	0.77

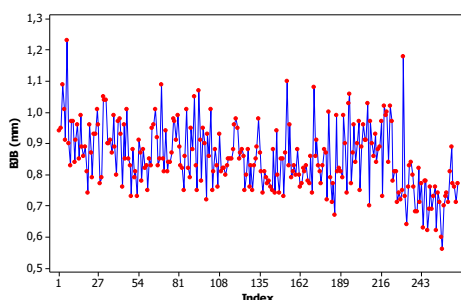
Lampiran B. Time Series Plot Karakteristik Kualitas GKP PG Rejo Agung Baru Madiun
Time Series Plot Kadar Air



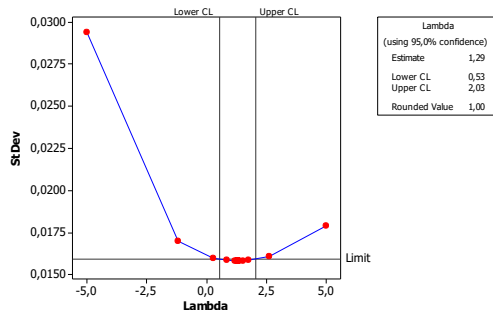
Time Series Plot Warna Larutan



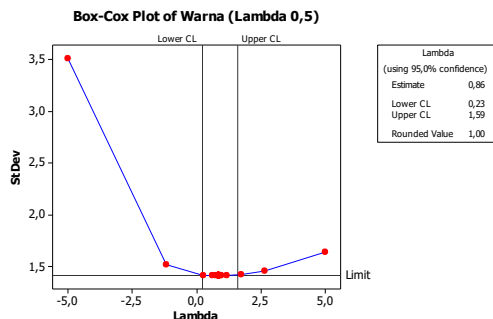
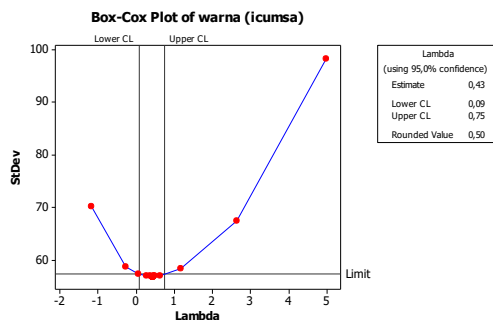
Time Series Plot BJB



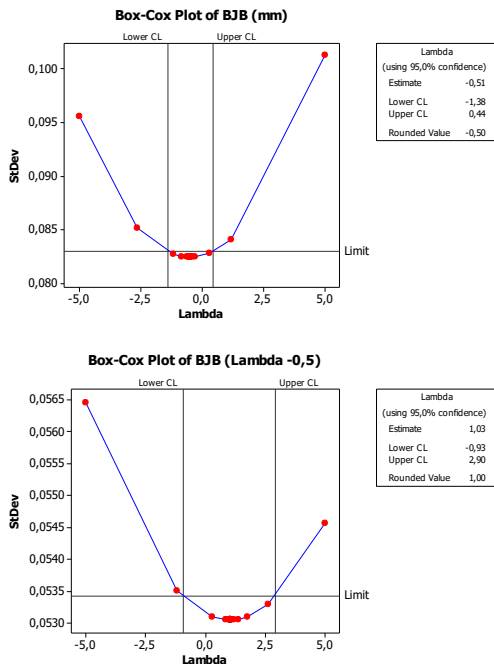
Lampiran C. Plot Pengujian Stationer Dalam Varians Data Karakteristik Kualitas Kadar Air, Warna Larutan, dan BJB Box-Cox Karakteristik Kualitas Kadar Air



Box-Cox Karakteristik Kualitas Warna Larutan



Box-Cox Karakteristik Kualitas BJB



Lampiran D. Data Karakteristik Kulitas GKP Stationer Dalam Varians

Subgrup	kadar air (%)	warna (icumsa)	BJB (mm)
1	0.16	22.25	1.03
2	0.2	22.32	1.03
3	0.22	22.00	0.96
4	0.19	21.17	1.00
5	0.14	21.20	1.05
6	0.09	22.21	0.90
7	0.18	20.55	1.05
8	0.17	21.70	1.10
9	0.2	21.05	1.02
10	0.17	20.44	1.02
11	0.16	20.64	1.09
12	0.18	20.00	1.05
13	0.2	16.56	1.02
14	0.16	22.30	1.08
15	0.15	21.96	1.01
.	.	.	.
.	.	.	.
.	.	.	.
256	0.15	11.79	1.29
257	0.15	13.10	1.34
258	0.15	12.23	1.20
259	0.18	13.32	1.17
260	0.18	11.83	1.16
261	0.15	11.30	1.19
262	0.18	14.97	1.11
263	0.18	16.76	1.06
264	0.18	15.97	1.14
265	0.17	16.08	1.15
266	0.15	15.16	1.19
267	0.16	14.75	1.14

Lampiran E. Pengujian Stationer Dalam Rata-rata dengan Uji ADF Pada Package Software R

Uji ADF Kadar Air

```
>
stationervarians=read.csv("C:/Users/windows/Dropbox/TA/
/VALIDASI/stationervarians.csv",sep=';', header=T)
> kadar=stationervarians[,1]
> kadar
> adf.test(as.ts(kadar))

Augmented Dickey-Fuller Test

data: as.ts(kadar)
Dickey-Fuller = -5.1512, Lag order = 6, p-value = 0.01
alternative hypothesis: stationary

Warning message:
In adf.test(as.ts(kadar)) : p-value smaller than
printed p-value
```

Uji ADF Warna Larutan

```
>
stationervarians=read.csv("C:/Users/windows/Dropbox/TA/
/VALIDASI/stationervarians.csv",sep=';', header=T)
> warna=stationervarians[,2]
> warna
> adf.test(as.ts(warna))

Augmented Dickey-Fuller Test

data: as.ts(warna)
Dickey-Fuller = -1.9975, Lag order = 6, p-value = 0.577
alternative hypothesis: stationary
```

Uji ADF BJB

```
>  
stationervarians=read.csv("C:/Users/Windows/Dropbox/TA  
/VALIDASI/stationervarians.csv",sep=';', header=T)  
> bjb=stationervarians[,3]  
> bjb  
> adf.test(as.ts(bjb))  
  
Augmented Dickey-Fuller Test  
  
data: as.ts(BJB)  
Dickey-Fuller = -4.2621, Lag order = 6, p-value = 0.01  
alternative hypothesis: stationary  
  
Warning message:  
In adf.test(as.ts(BJB)) : p-value smaller than printed  
p-value
```

Lampiran F. Syntax VAR (1) Data Karakteristik Kualitas GKP

```
data GKP;
input kadar warna bjb;
datalines;
0.16    22.25   1.03
0.2     22.32   1.03
0.22    22       0.96
0.19    21.17   1
0.14    21.2    1.05
0.09    22.21   0.9
0.18    20.55   1.05
0.17    21.7    1.1
0.2     21.05   1.02
0.17    20.44   1.02
0.16    20.64   1.09
.
.
.
0.18    15.97   1.14
0.17    16.08   1.15
0.15    15.16   1.19
0.16    14.75   1.14
;
proc varmax data=GKP;
model kadar warna bjb/p=1 dftest dify(1) lagmax=36
noint minic=(p=36) method=ls
print=(corry parcoef pcorr pcancorr roots);
output lead=12 out=ramalan;
run;

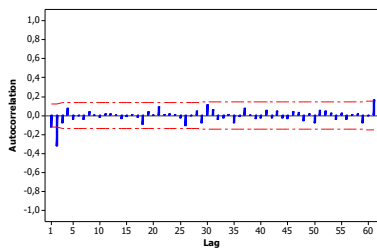
proc export data=work.ramalan
outfile='D:\GKPvar15.xls'
dbms=excel
replace;
run;
```

Lampiran G. Uji Portmanteau dan ACF Residual VARI (1,1) Hingga VARI (15,1)

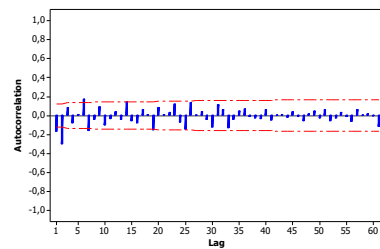
Lampiran G1. Uji Portmanteau dan ACF Residual VARI (1,1)

To Lag	Chi-Square	DF	Prob> Chisq	To Lag	Chi-Square	DF	Prob> Chisq
2	113.19	9	<.0001	20	330.54	171	<.0001
3	125.42	18	<.0001	21	350.73	180	<.0001
4	132.16	27	<.0001	22	355.44	189	<.0001
5	140.63	36	<.0001	23	376.32	198	<.0001
6	151.85	45	<.0001	24	387.8	207	<.0001
7	176.44	54	<.0001	25	396.98	216	<.0001
8	183.97	63	<.0001	26	409.85	225	<.0001
9	200.03	72	<.0001	27	414.1	234	<.0001
10	216.61	81	<.0001	28	424.35	243	<.0001
11	227.28	90	<.0001	29	434.97	252	<.0001
12	246.51	99	<.0001	30	456.46	261	<.0001
13	261.24	108	<.0001	31	472.49	270	<.0001
14	276.24	117	<.0001	32	483.8	279	<.0001
15	286.45	126	<.0001	33	492.96	288	<.0001
16	293.22	135	<.0001	34	499.92	297	<.0001
17	300.88	144	<.0001	35	516.43	306	<.0001
18	305.56	153	<.0001	36	523.15	315	<.0001
19	317.44	162	<.0001				

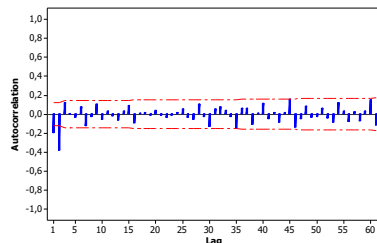
ACF Residual Kadar Air VARI (1,1)



ACF Residual Warna Larutan VARI (1,1)



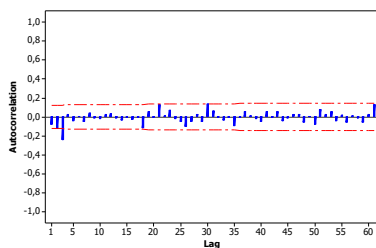
ACF Residual BJB VARI (1,1)



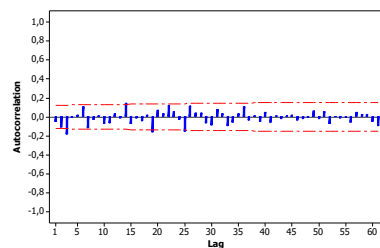
Lampiran G2. Uji Portmanteau dan ACF Residual VARI (2,1)

To Lag	Chi-Square	DF	Prob> Chisq	To Lag	Chi-Square	DF	Prob> Chisq
3	57.98	9	<.0001	20	241.28	162	<.0001
4	67.1	18	<.0001	21	255.74	171	<.0001
5	74.42	27	<.0001	22	265.37	180	<.0001
6	79.07	36	<.0001	23	277.18	189	<.0001
7	102.38	45	<.0001	24	282.17	198	<.0001
8	109.79	54	<.0001	25	291.89	207	<.0001
9	119.35	63	<.0001	26	299.58	216	0.0001
10	128.41	72	<.0001	27	306.92	225	0.0002
11	134.68	81	0.0002	28	316.07	234	0.0003
12	152.28	90	<.0001	29	322.71	243	0.0005
13	164.04	99	<.0001	30	340.65	252	0.0002
14	178.24	108	<.0001	31	352.13	261	0.0001
15	190.14	117	<.0001	32	362.96	270	0.0001
16	198.41	126	<.0001	33	369.12	279	0.0002
17	211.04	135	<.0001	34	374.1	288	0.0005
18	216.62	144	<.0001	35	389.6	297	0.0002
19	230.8	153	<.0001	36	395.19	306	0.0004

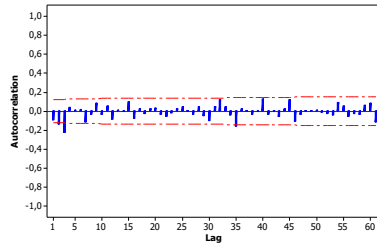
ACF Residual Kadar Air VARI (2,1)



ACF Residual Warna Larutan VARI (2,1)



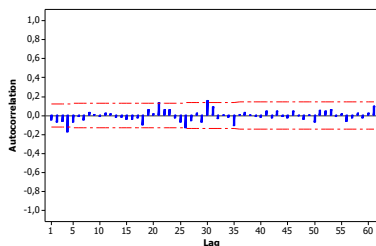
ACF Residual BJB VARI (2,1)



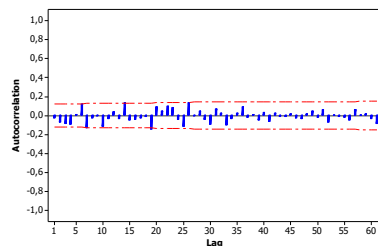
Lampiran G3. Uji Portmanteau dan ACF Residual VARI (3,1)

To Lag	Chi-Square	DF	Prob> Chisq	To Lag	Chi-Square	DF	Prob> Chisq
4	39.67	9	<.0001	21	224.25	162	0.0009
5	47.1	18	0.0002	22	232.61	171	0.0012
6	53.86	27	0.0016	23	248.46	180	0.0005
7	76.72	36	<.0001	24	255.45	189	0.0009
8	84.48	45	0.0003	25	262.26	198	0.0015
9	93.99	54	0.0006	26	274.19	207	0.0012
10	104.23	63	0.0008	27	280.54	216	0.002
11	111.16	72	0.0021	28	289.53	225	0.0024
12	126.94	81	0.0008	29	297.99	234	0.0029
13	137.15	90	0.001	30	320.58	243	0.0006
14	151.07	99	0.0006	31	332.5	252	0.0005
15	163.27	108	0.0005	32	343.02	261	0.0005
16	168.9	117	0.0012	33	348.58	270	0.0009
17	179.4	126	0.0013	34	353.05	279	0.0017
18	184.13	135	0.0032	35	370.6	288	0.0007
19	197.57	144	0.002	36	375.8	297	0.0013
20	208.71	153	0.0019				

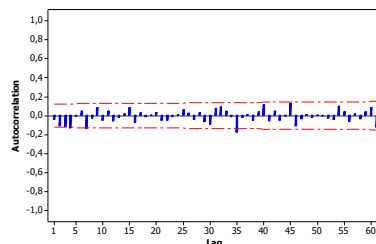
ACF Residual Kadar Air VARI (3,1)



ACF Residual Warna Larutan VARI (3,1)



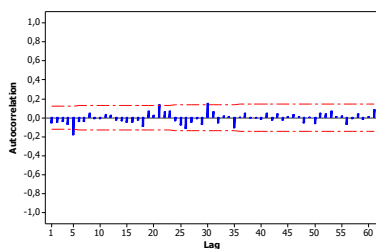
ACF Residual BJB VARI (3,1)



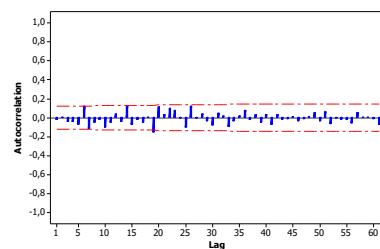
Lampiran G4. Uji Portmanteau dan ACF Residual VARI (4,1)

To Lag	Chi-Square	DF	Prob> Chisq	To Lag	Chi-Square	DF	Prob> Chisq
5	37.32	9	<.0001	21	210.97	153	0.0013
6	43.47	18	0.0007	22	219.07	162	0.0019
7	60.31	27	0.0002	23	234.15	171	0.001
8	68.87	36	0.0008	24	241.28	180	0.0016
9	77.74	45	0.0018	25	247.79	189	0.0026
10	85.24	54	0.0043	26	257.68	198	0.0028
11	92.55	63	0.009	27	263.27	207	0.0049
12	110.03	72	0.0026	28	271.22	216	0.0064
13	121.59	81	0.0024	29	278.46	225	0.0088
14	132.71	90	0.0023	30	299.69	234	0.0024
15	145.26	99	0.0017	31	310.17	243	0.0023
16	151.3	108	0.0038	32	321.34	252	0.002
17	166.81	117	0.0017	33	326.01	261	0.0038
18	172.16	126	0.004	34	329.27	270	0.0079
19	184.56	135	0.003	35	348.37	279	0.003
20	196.46	144	0.0024	36	354.75	288	0.0044

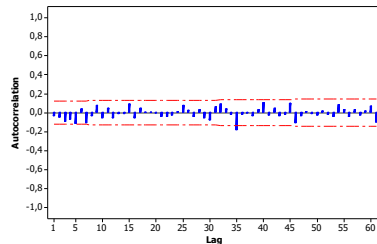
ACF Residual Kadar Air VARI (4,1)



ACF Residual Warna Larutan VARI (4,1)



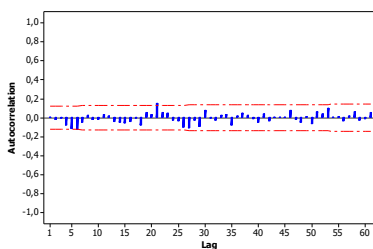
ACF Residual BJB VARI (4,1)



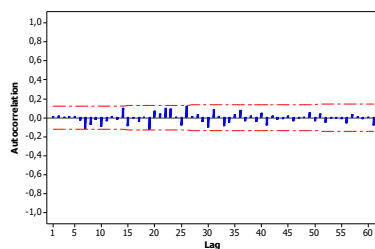
Lampiran G5. Uji Portmanteau dan ACF Residual VARI (5,1)

To Lag	Chi-Square	DF	Prob> Chisq	To Lag	Chi-Square	DF	Prob> Chisq
6	25.73	9	0.0023	22	193.45	153	0.0149
7	40.59	18	0.0017	23	206.69	162	0.0101
8	49.32	27	0.0054	24	214.3	171	0.0138
9	59.25	36	0.0087	25	218.24	180	0.0273
10	65.39	45	0.0251	26	227.07	189	0.0305
11	73.18	54	0.0422	27	236.67	198	0.0313
12	92.41	63	0.0093	28	246.31	207	0.0319
13	105.21	72	0.0065	29	255.67	216	0.0333
14	115.87	81	0.0067	30	270.57	225	0.0202
15	130.02	90	0.0037	31	279.11	234	0.023
16	133.83	99	0.0113	32	288.84	243	0.0232
17	148.91	108	0.0056	33	293.38	252	0.0375
18	152.02	117	0.0163	34	298.35	261	0.0557
19	161.04	126	0.0191	35	314.75	270	0.0316
20	169.11	135	0.0248	36	318.82	279	0.0505
21	185.56	144	0.0112				

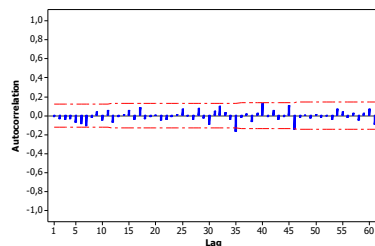
ACF Residual Kadar Air VARI (5,1)



ACF Residual Warna Larutan VARI (5,1)



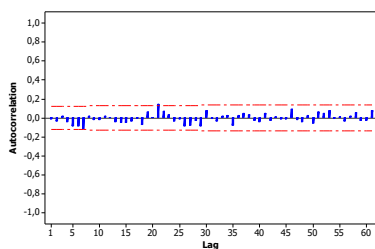
ACF Residual BJB VARI (5,1)



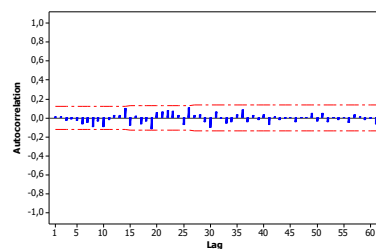
Lampiran G6. Uji Portmanteau dan ACF Residual VARI (6,1)

To Lag	Chi-Square	DF	Prob> Chisq	To Lag	Chi-Square	DF	Prob> Chisq
7	28.24	9	0.0009	22	183.36	144	0.0148
8	39.14	18	0.0027	23	193.98	153	0.014
9	48.04	27	0.0076	24	202.27	162	0.0174
10	55.89	36	0.0183	25	205.04	171	0.0386
11	63.14	45	0.0383	26	211.13	180	0.056
12	84.53	54	0.005	27	218.13	189	0.0719
13	97.66	63	0.0034	28	226.68	198	0.0792
14	108.68	72	0.0034	29	234.29	207	0.0936
15	124.6	81	0.0013	30	248.32	216	0.0649
16	127.17	90	0.006	31	255.66	225	0.0784
17	140.38	99	0.004	32	265.78	234	0.0752
18	143.13	108	0.0133	33	270.47	243	0.109
19	152.43	117	0.0154	34	275.15	252	0.1514
20	160.87	126	0.0196	35	291.42	261	0.0948
21	176.2	135	0.0099	36	296.06	270	0.1323

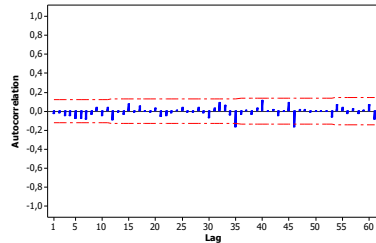
ACF Residual Kadar Air VARI (6,1)



ACF Residual Warna Larutan VARI (6,1)



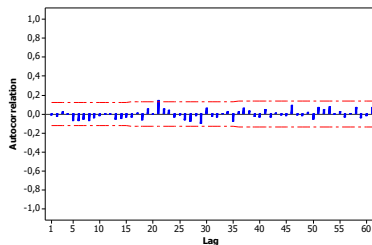
ACF Residual BJB VARI (6,1)



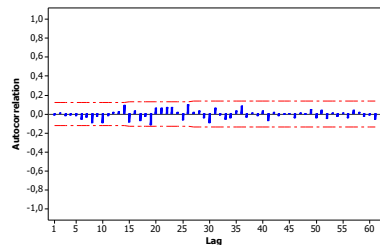
Lampiran G7. Uji Portmanteau dan ACF Residual VARI (7,1)

To Lag	Chi-Square	DF	Prob> Chisq	To Lag	Chi-Square	DF	Prob> Chisq
8	29.82	9	0.0005	23	182.07	144	0.0174
9	39.21	18	0.0027	24	191	153	0.0201
10	47.81	27	0.0081	25	193.94	162	0.044
11	53.04	36	0.0333	26	198.47	171	0.0738
12	72.26	45	0.0061	27	204.97	180	0.0978
13	86.37	54	0.0034	28	213.33	189	0.1084
14	97.98	63	0.0031	29	222.17	198	0.1148
15	114.58	72	0.0011	30	235.32	207	0.0861
16	117.36	81	0.0052	31	242.98	216	0.1004
17	129.54	90	0.004	32	251.36	225	0.1096
18	132.5	99	0.0138	33	255.98	234	0.1547
19	140.95	108	0.0182	34	260.49	243	0.2104
20	149.49	117	0.0229	35	274.86	252	0.1542
21	164.41	126	0.0122	36	279.61	261	0.2047
22	172.65	135	0.0159				

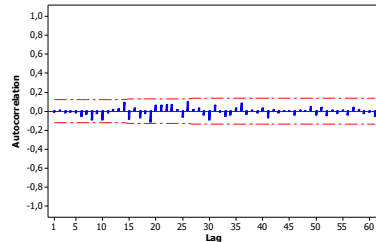
ACF Residual Kadar Air VARI (7,1)



ACF Residual Warna Larutan VARI (7,1)



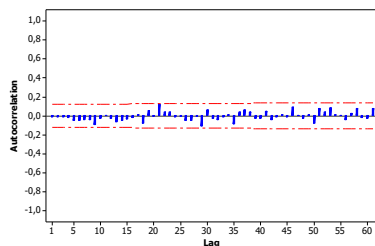
ACF Residual BJB VARI (7,1)



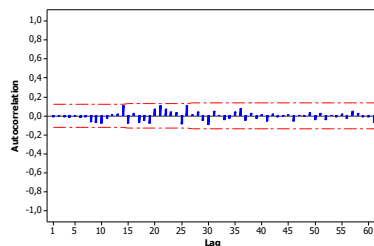
Lampiran G8. Uji Portmanteau dan ACF Residual VARI (8,1)

To Lag	Chi-Square	DF	Prob> Chisq	To Lag	Chi-Square	DF	Prob> Chisq
9	29.9	9	0.0005	23	170	135	0.0223
10	39.32	18	0.0026	24	178.18	144	0.0279
11	44.35	27	0.019	25	182.34	153	0.0528
12	62.72	36	0.0038	26	187.25	162	0.085
13	73.48	45	0.0047	27	194.36	171	0.1065
14	87.19	54	0.0028	28	202.33	180	0.1218
15	103.49	63	0.001	29	212.5	189	0.1159
16	105.54	72	0.0061	30	226.11	198	0.0832
17	116.41	81	0.0061	31	232.12	207	0.1112
18	119.46	90	0.0206	32	240.93	216	0.1174
19	126.74	99	0.0315	33	244.13	225	0.1817
20	137.63	108	0.0286	34	249.06	234	0.2381
21	153.02	117	0.0142	35	265.57	243	0.153
22	160.51	126	0.0205	36	271.16	252	0.1943

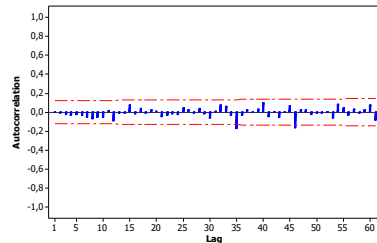
ACF Residual Kadar Air VARI (8,1)



ACF Residual Warna Larutan VARI (8,1)



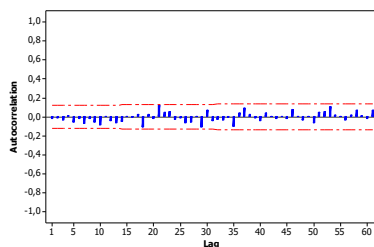
ACF Residual BJB VARI (8,1)



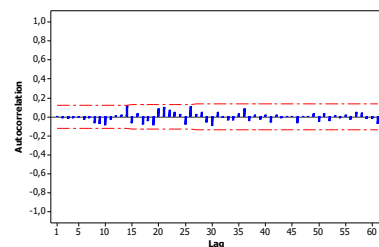
Lampiran G9. Uji Portmanteau dan ACF Residual VARI (9,1)

To Lag	Chi-Square	DF	Prob> Chisq	To Lag	Chi-Square	DF	Prob> Chisq
10	21.71	9	0.0099	24	164.71	135	0.0418
11	26.63	18	0.0862	25	168.49	144	0.0796
12	42.82	27	0.0273	26	174.37	153	0.1137
13	53.29	36	0.0317	27	180.5	162	0.1521
14	69.24	45	0.0116	28	187.65	171	0.1819
15	85.94	54	0.0037	29	199.28	180	0.1546
16	88.72	63	0.0181	30	213.83	189	0.104
17	100.92	72	0.0139	31	218.56	198	0.1509
18	105.71	81	0.0341	32	227.22	207	0.1597
19	112.27	90	0.0561	33	231.09	216	0.2292
20	123.56	99	0.0479	34	236.29	225	0.2895
21	139.87	108	0.0212	35	254.09	234	0.1751
22	147.36	117	0.0302	36	261.27	243	0.2008
23	157.41	126	0.0304				

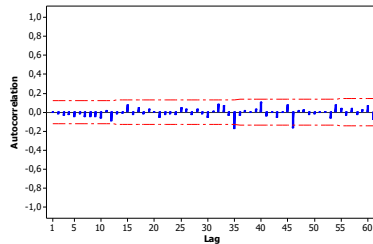
ACF Residual Kadar Air VARI (9,1)



ACF Residual Warna Larutan VARI (9,1)



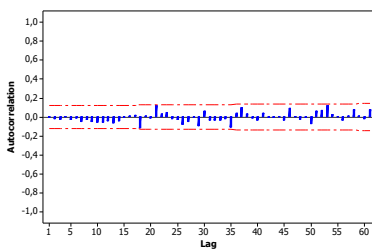
ACF Residual BJB VARI (9,1)



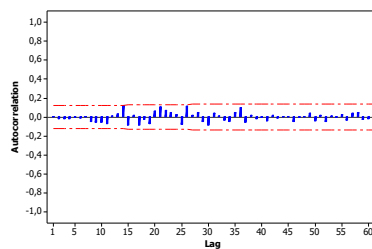
Lampiran G10. Uji Portmanteau dan ACF Residual VARI (10,1)

To Lag	Chi-Square	DF	Prob> Chisq	To Lag	Chi-Square	DF	Prob> Chisq
11	21.17	9	0.0119	24	153.39	126	0.0489
12	35.56	18	0.008	25	157.36	135	0.0914
13	47.56	27	0.0086	26	164.45	144	0.1168
14	63.99	36	0.0028	27	170.67	153	0.1559
15	82.01	45	0.0006	28	178.32	162	0.1801
16	84.23	54	0.0053	29	190.41	171	0.1473
17	95.33	63	0.0053	30	205.84	180	0.0907
18	100.06	72	0.016	31	211.01	189	0.1303
19	106.79	81	0.029	32	220.76	198	0.128
20	114.13	90	0.0439	33	224.74	207	0.1893
21	130.35	99	0.019	34	229.82	216	0.2472
22	136.81	108	0.0319	35	244.4	225	0.1786
23	146.25	117	0.0347	36	251.94	234	0.2005

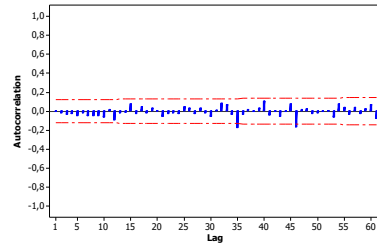
ACF Residual Kadar Air VARI (10,1)



ACF Residual Warna Larutan VARI (10,1)



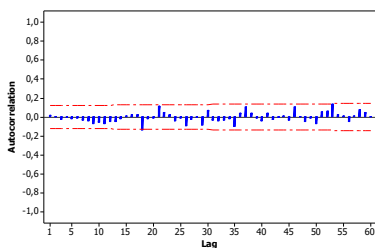
ACF Residual BJB VARI (10,1)



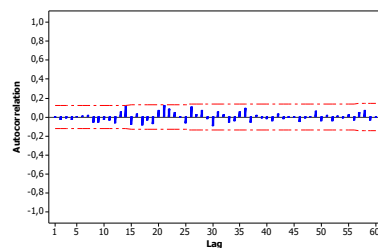
Lampiran G11. Uji Portmanteau dan ACF Residual VARI (11,1)

To Lag	Chi-Square	DF	Prob> Chisq	To Lag	Chi-Square	DF	Prob> Chisq
12	23.27	9	0.0056	25	144.77	126	0.121
13	35.63	18	0.0079	26	152.4	135	0.1453
14	50.28	27	0.0042	27	157.99	144	0.2009
15	67.86	36	0.001	28	166.87	153	0.2095
16	70.25	45	0.0094	29	179.22	162	0.1682
17	81.15	54	0.0098	30	193.48	171	0.1148
18	87.13	63	0.0237	31	198.18	180	0.1678
19	95.18	72	0.0351	32	208.96	189	0.1523
20	102.74	81	0.0519	33	214.22	198	0.2041
21	119.61	90	0.0201	34	217.53	207	0.2941
22	127.2	99	0.0296	35	232.52	216	0.2097
23	135.09	108	0.0398	36	240.84	225	0.2233
24	139.98	117	0.0726				

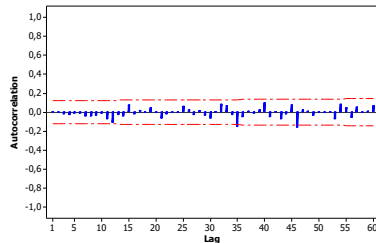
ACF Residual Kadar Air VARI (11,1)



ACF Residual Warna Larutan VARI (11,1)



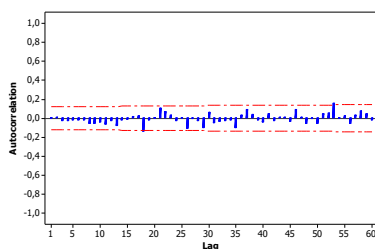
ACF Residual BJB VARI (11,1)



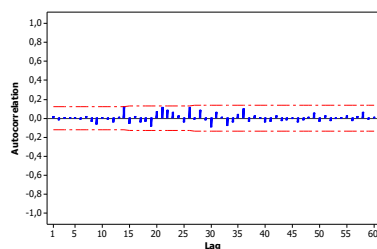
Lampiran G12. Uji Portmanteau dan ACF Residual VARI (12,1)

To Lag	Chi-Square	DF	Prob> Chisq	To Lag	Chi-Square	DF	Prob> Chisq
13	25.02	9	0.0029	25	130.72	117	0.1822
14	39.88	18	0.0022	26	139.42	126	0.1952
15	56.25	27	0.0008	27	146.89	135	0.2286
16	58.57	36	0.0101	28	154.69	144	0.2565
17	67.12	45	0.0179	29	168.56	153	0.1844
18	73.43	54	0.0404	30	181.52	162	0.14
19	81.77	63	0.0562	31	187.24	171	0.1874
20	89.95	72	0.0748	32	195.99	180	0.1966
21	106.39	81	0.0308	33	202.11	189	0.244
22	113.45	90	0.048	34	208.7	198	0.2872
23	120.87	99	0.0669	35	222.3	207	0.2216
24	125.37	108	0.1213	36	232.18	216	0.2143

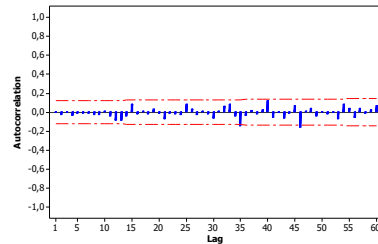
ACF Residual Kadar Air VARI (12,1)



ACF Residual Warna Larutan VARI (12,1)



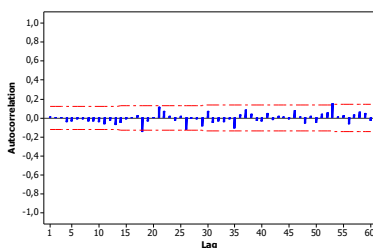
ACF Residual BJB VARI (12,1)



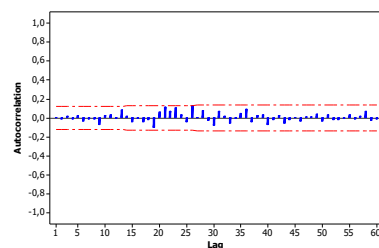
Lampiran G13. Uji Portmanteau dan ACF Residual VARI (13,1)

To Lag	Chi-Square	DF	Prob> Chisq	To Lag	Chi-Square	DF	Prob> Chisq
14	27.5	9	0.0012	26	129.43	117	0.2036
15	42.93	18	0.0008	27	135.42	126	0.2673
16	45.78	27	0.0134	28	141.6	135	0.3316
17	54.26	36	0.0259	29	154.26	144	0.2644
18	61.04	45	0.0557	30	166.59	153	0.214
19	69.19	54	0.0798	31	173.42	162	0.2556
20	76.15	63	0.1236	32	181.52	171	0.2764
21	91.98	72	0.0563	33	187.13	180	0.3424
22	98.75	81	0.0876	34	193.64	189	0.3932
23	107.2	90	0.1044	35	206.56	198	0.3236
24	112.89	99	0.1607	36	216.56	207	0.3101
25	118.21	108	0.236				

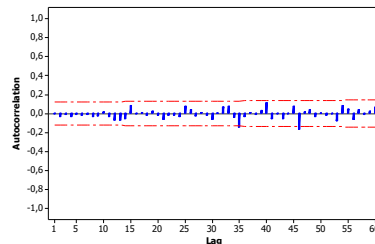
ACF Residual Kadar Air VARI (13,1)



ACF Residual Warna Larutan VARI (13,1)



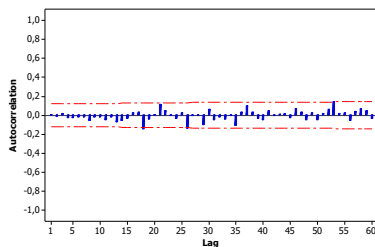
ACF Residual BJB VARI (13,1)



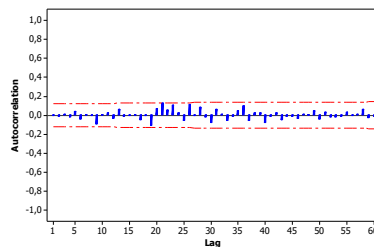
Lampiran G14. Uji Portmanteau dan ACF Residual VARI (14,1)

To Lag	Chi-Square	DF	Prob> Chisq	To Lag	Chi-Square	DF	Prob> Chisq
15	26.21	9	0.0019	26	115.8	108	0.2865
16	29.56	18	0.0419	27	121.57	117	0.3676
17	40.69	27	0.0441	28	127.91	126	0.4358
18	49.13	36	0.071	29	140.24	135	0.3613
19	56.45	45	0.1177	30	152.79	144	0.2922
20	61.08	54	0.2367	31	158.81	153	0.3571
21	78.09	63	0.0955	32	167.23	162	0.3729
22	85.48	72	0.1324	33	173.57	171	0.4309
23	94.35	81	0.1473	34	180.01	180	0.4858
24	99.45	90	0.2326	35	192.24	189	0.4208
25	105.74	99	0.303	36	202.66	198	0.3952

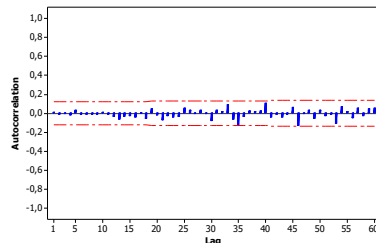
ACF Residual Kadar Air VARI (14,1)



ACF Residual Warna Larutan VARI (14,1)



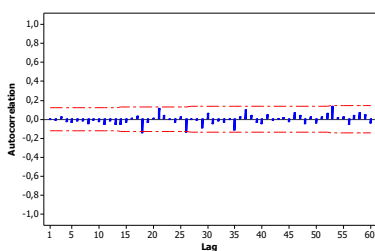
ACF Residual BJB VARI (14,1)



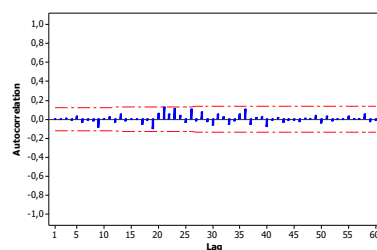
Lampiran G15. Uji Portmanteau dan ACF Residual VARI (15,1)

To Lag	Chi-Square	DF	Prob> Chisq	To Lag	Chi-Square	DF	Prob> Chisq
16	29.07	9	0.0006	27	121.52	108	0.1764
17	40.63	18	0.0017	28	126.77	117	0.2531
18	49.28	27	0.0055	29	138.31	126	0.2138
19	56.68	36	0.0154	30	150.49	135	0.1713
20	61.11	45	0.0551	31	156.54	144	0.2244
21	77.59	54	0.0194	32	164.86	153	0.2422
22	84.42	63	0.0372	33	173.07	162	0.2616
23	94.56	72	0.0386	34	180.13	171	0.3012
24	99.56	81	0.0791	35	192.01	180	0.2565
25	105.36	90	0.1283	36	202.54	189	0.2374
26	115.7	99	0.1204				

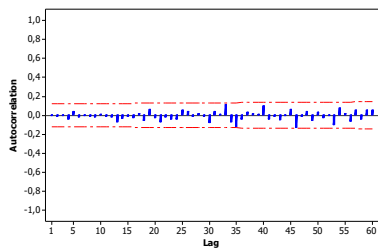
ACF Residual Kadar Air VARI (15,1)



ACF Residual Warna Larutan VARI (15,1)



ACF Residual BJB VARI (15,1)



Lampiran H. Output VARI (14,1) Data Karakteristik Kualitas GKP Periode Giling Tahun 2017

The SAS System 09:44 Thursday, May 6, 2018 1						
The VARMAX Procedure						
Number of Observations 266						
Number of Pairwise Missing 0						
Observation(s) eliminated by differencing 1						
Variable	Type	N	Mean	StdDev	Min	Max
kadar	DEP	266	0	0.02476	-0.07000	0.10000
warna	DEP	266	-0.02820	2.09737	-5.41000	8.55000
bjb	DEP	266	0.0004135	0.07646	-0.23000	0.25000
Dickey-Fuller Unit Root Tests						
Variable	Type	Rho	Prob<Rho	Tau	Prob<Tau	
kadar	Zero Mean	-676.838	0.0001	-18.50	<.0001	
	Single Mean	-676.905	0.0001	-18.47	<.0001	
warna	Trend	-677.196	0.0001	-18.44	<.0001	
	Zero Mean	-888.294	0.0001	-20.01	<.0001	
bjb	Single Mean	-889.472	0.0001	-19.99	<.0001	
	Trend	-810.302	0.0001	-19.96	<.0001	
kadar	Zero Mean	-981.935	0.0001	-22.11	<.0001	
	Single Mean	-982.483	0.0001	-22.08	<.0001	
	Trend	-982.452	0.0001	-22.04	<.0001	
Cross-Correlation Matrices of Endogenous (Dependent) Series						
Lag	Variable	kadar	warna	bjb		
0	kadar	1.00000	0.03250	-0.08912		
	warna	0.03250	1.00000	-0.16109		
	bjb	-0.08912	-0.16109	1.00000		
1	kadar	-0.38362	-0.07414	0.12083		
	warna	-0.09954	-0.47801	0.01344		
	bjb	-0.03785	0.13438	-0.45342		
2	kadar	-0.10160	0.11583	-0.06201		
	warna	0.06091	-0.04057	0.06181		
	bjb	0.07781	-0.01725	-0.14194		
3	kadar	-0.05296	-0.09303	-0.01597		
	warna	-0.12636	0.09949	-0.00770		
	bjb	0.01697	0.00762	0.15193		
4	kadar	0.07574	0.04275	-0.01377		
	warna	0.07638	-0.07019	-0.04944		
	bjb	-0.06162	0.01289	-0.03874		
5	kadar	-0.04803	-0.01281	0.01414		
	warna	0.01555	-0.04903	-0.00164		
	bjb	0.07271	-0.09251	-0.04692		
6	kadar	0.03756	-0.04017	0.02473		
	warna	0.02151	0.19995	-0.05336		
	bjb	-0.07455	-0.00161	0.12384		
7	kadar	-0.05296	0.07164	-0.03570		
	warna	-0.07258	-0.18981	0.09255		
	bjb	0.04965	0.14883	-0.13733		
8	kadar	0.04495	0.06518	0.02510		
	warna	0.00970	0.01912	0.05661		
	bjb	-0.03546	-0.10155	-0.00049282		
9	kadar	-0.01539	-0.12489	0.06082		
	warna	-0.09459	0.09865	-0.12572		

The SAS System 09:44 Thursday, May 6, 2018 2

The VARMAX Procedure

Cross-Correlation Matrices of Endogenous (Dependent) Series

Lag	Variable	kadar	warna	bjb
9	bjb	0.06461	-0.04348	0.11699
10	kadar	-0.00431	-0.00308	-0.08752
	warna	0.15323	-0.10008	0.03494
	bjb	-0.06859	0.14657	-0.11156
11	kadar	0.01416	0.05708	-0.00358
	warna	-0.07158	-0.02721	0.03592
	bjb	-0.06977	-0.18325	0.07340
12	kadar	0.00123	0.04212	0.11823
	warna	0.02251	0.10261	-0.00310
	bjb	0.28579	0.12578	-0.03684
13	kadar	-0.00308	-0.15151	-0.12579
	warna	0.05373	-0.14257	0.01794
	bjb	-0.13478	-0.02031	-0.00254
14	kadar	-0.00308	0.13032	0.10210
	warna	-0.13066	0.18142	-0.06077
	bjb	0.00238	-0.04071	-0.03312
15	kadar	-0.01970	-0.08033	-0.10986
	warna	0.08885	-0.09028	0.05792
	bjb	0.02873	0.00136	0.11837
16	kadar	0.02463	0.06614	0.07259
	warna	-0.06316	-0.02495	0.01732
	bjb	0.07220	0.07760	-0.12371
17	kadar	0.00123	-0.02546	-0.06996
	warna	0.08161	0.02192	-0.09783
	bjb	-0.12560	-0.08016	0.06239
18	kadar	-0.08621	0.01367	0.06741
	warna	-0.01715	0.06811	0.05798
	bjb	0.08954	0.06036	-0.02370
19	kadar	0.07328	-0.05550	-0.07097
	warna	-0.05375	-0.18465	0.05586
	bjb	-0.10986	0.02372	0.00167
20	kadar	-0.04926	0.05899	0.07936
	warna	0.02312	0.15405	-0.17212
	bjb	0.10569	-0.14378	0.02453
21	kadar	0.09483	-0.03085	0.01735
	warna	-0.00107	-0.06375	0.18886
	bjb	-0.07474	0.16809	-0.00869
22	kadar	-0.03571	0.01342	-0.04346
	warna	-0.02418	0.02233	-0.02407
	bjb	0.01180	-0.07632	-0.02737
23	kadar	0.02525	-0.01634	-0.03668
	warna	0.08907	0.07115	-0.17272
	bjb	0.04269	-0.07716	0.00846
24	kadar	-0.00739	0.02656	0.01615
	warna	-0.0066602	-0.01584	0.16724
	bjb	-0.00517	0.10259	-0.00720
25	kadar	0.01539	-0.02266	0.01534
	warna	-0.07115	-0.15301	0.00017806
	bjb	-0.01296	0.00149	0.04087
26	kadar	-0.08621	0.01903	0.00717
	warna	0.07796	0.19228	-0.07294
	bjb	-0.03906	-0.06785	-0.00738
27	kadar	-0.00739	-0.07667	0.03050
	warna	-0.05414	-0.11051	0.00573
	bjb	0.09213	0.08195	-0.07652
28	kadar	0.08374	0.14624	-0.07796

The SAS System 09:44 Thursday, May 6, 2018 3

The VARMAX Procedure

Cross-Correlation Matrices of Endogenous (Dependent) Series

Lag	Variable	kadar	warna	bjb
28	warna	-0.05957	0.07348	0.03248
	bjb	-0.04307	-0.10758	0.11282
29	kadar	-0.10653	-0.15204	0.07257
	warna	0.09198	0.09320	-0.04442
30	bjb	-0.07555	0.02385	-0.01851
	kadar	0.10160	0.13269	-0.01017
31	warna	-0.01632	-0.13544	0.07646
	bjb	0.02797	0.16151	-0.11263
32	kadar	0.01047	-0.03703	-0.05146
	warna	-0.05659	0.12217	-0.08305
33	bjb	0.12206	-0.17097	0.06620
	kadar	-0.02771	-0.18169	0.08114
34	warna	0.02395	0.02558	0.04143
	bjb	-0.11645	0.03916	0.03962
35	kadar	-0.01663	0.12188	-0.03728
	warna	0.03372	-0.09460	0.04699
36	bjb	0.04686	0.04766	-0.00797
	kadar	0.02586	-0.02382	-0.03610
37	warna	-0.03044	0.01157	-0.13180
	bjb	-0.05483	-0.05008	0.03635
38	kadar	-0.07389	-0.06398	0.00857
	warna	0.02736	0.00430	0.14551
39	bjb	0.07432	0.00914	-0.14231
	kadar	0.00985	0.03807	0.05324
40	warna	-0.00775	0.06139	-0.04249
	bjb	-0.04013	0.04675	0.08756

Schematic Representation of Cross Correlations

+ is > 2*std error, - is < -2*std error, . is between

Schematic Representation of Cross Correlations

+ is > 2*std error, - is < -2*std error, . is between

The SAS System 09:44 Thursday, May 6, 2018 4						
The VARMAX Procedure						
Minimum Information Criterion						
Lag	MA 0	MA 1	MA 2	MA 3	MA 4	MA 5
AR 0	-11.25427	-12.37204	-12.36875	-12.33894	-12.31779	-12.281
AR 1	-11.88137	-12.35216	-12.40718	-12.35892	-12.32468	-12.28092
AR 2	-12.26298	-12.40241	-12.3888	-12.38743	-12.35858	-12.32942
AR 3	-12.32535	-12.3793	-12.36294	-12.35823	-12.31119	-12.30264
AR 4	-12.3209	-12.34664	-12.32926	-12.32874	-12.29764	-12.25761
AR 5	-12.3484	-12.3423	-12.35529	-12.31686	-12.26582	-12.22793
AR 6	-12.36173	-12.33636	-12.30571	-12.27798	-12.23417	-12.21512
AR 7	-12.33518	-12.25183	-12.21767	-12.18892	-12.14259	-12.12024
AR 8	-12.29289	-12.20697	-12.1188	-12.08677	-12.03797	-12.01308
AR 9	-12.25397	-12.16537	-12.07439	-11.98094	-11.92947	-11.90177
AR 10	-12.2035	-12.11206	-12.01814	-11.92162	-11.82239	-11.79223
AR 11	-12.17199	-12.07758	-11.98055	-11.88078	-11.77816	-11.67257
AR 12	-12.13968	-12.04214	-11.94183	-11.83864	-11.73245	-11.62312
AR 13	-12.11729	-12.01643	-11.91267	-11.80587	-11.6959	-11.58261
AR 14	-12.10554	-12.0012	-11.89378	-11.78316	-11.66918	-11.5517
AR 15	-12.01627	-11.98023	-11.79695	-11.68228	-11.56406	-11.44213
AR 16	-11.9708	-11.85885	-11.74348	-11.62452	-11.5018	-11.37515
AR 17	-11.85249	-11.73641	-11.6167	-11.49318	-11.36569	-11.23481
AR 18	-11.77214	-11.65167	-11.52735	-11.399	-11.26642	-11.1294
AR 19	-11.71123	-11.5861	-11.45688	-11.32338	-11.18539	-11.04266
AR 20	-11.66773	-11.53764	-11.40321	-11.26423	-11.12045	-10.97163
AR 21	-11.56645	-11.43108	-11.2911	-11.14626	-10.99631	-10.84098
AR 22	-11.45366	-11.31266	-11.16675	-11.01565	-10.8591	-10.69678
AR 23	-11.39499	-11.24799	-11.09573	-10.93794	-10.7743	-10.60449
AR 24	-11.37481	-11.22137	-11.06232	-10.89735	-10.72611	-10.54824
AR 25	-11.22884	-11.06852	-10.90219	-10.7295	-10.55008	-10.36353
AR 26	-11.13668	-10.96897	-10.7948	-10.61381	-10.42557	-10.22966
AR 27	-10.9824	-10.80673	-10.62414	-10.43418	-10.23643	-10.03037
AR 28	-10.86508	-10.68085	-10.48915	-10.28953	-10.08147	-9.864422
AR 29	-10.82701	-10.63534	-10.43201	-10.2219	-10.00266	-9.773674
AR 30	-10.71935	-10.51588	-10.3037	-10.08222	-9.850817	-9.608821
AR 31	-10.55335	-10.32105	-10.09728	-9.863428	-9.618778	-9.362569
AR 32	-10.36331	-10.13723	-9.900863	-9.653505	-9.394369	-9.122592
AR 33	-10.21442	-9.975497	-9.725378	-9.463253	-9.188236	-8.899353
AR 34	-10.03378	-9.780838	-9.515661	-9.237335	-8.944857	-8.63712
AR 35	-9.773652	-9.505359	-9.223652	-8.927498	-8.615757	-8.287166
AR 36	-9.648402	-9.363239	-9.063326	-8.747488	-8.414423	-8.062681
Partial Autoregression Matrices						
Lag	Variable	kadar	warna	bjb		
1	kadar	-0.38993	-0.00010372	-0.02397		
	warna	-4.58435	-0.46751	1.48796		
	bjb	0.25391	-0.00229	-0.45619		
2	kadar	-0.28646	0.00090564	0.00945		
	warna	5.79380	-0.33992	1.04166		
	bjb	-0.02284	-0.00073406	-0.43384		
3	kadar	-0.27308	-0.00080620	0.01084		
	warna	-1.50569	-0.11878	2.45497		
	bjb	-0.04191	0.00012080	-0.21849		
4	kadar	-0.15369	-0.00011888	-0.00071185		
	warna	2.55848	-0.12663	2.38580		
	bjb	-0.21986	-0.00113	-0.18477		
5	kadar	-0.15147	0.00035242	0.03019		

The SAS System 09:44 Thursday, May 6, 2018 5

The VARMAX Procedure

Partial Autoregression Matrices

Lag	Variable	kadar	warna	bjb
5	warna	0.94828	-0.18231	-1.90237
	bjb	-0.24211	-0.00324	-0.19009
6	kadar	-0.10195	0.00102	-0.00001794
	warna	-4.20346	0.08337	-3.13295
7	bjb	-0.08550	-0.00697	-0.02305
	kadar	-0.12475	0.00003606	0.01813
8	warna	4.54191	-0.02632	1.00462
	bjb	-0.27346	-0.00353	-0.11211
9	kadar	-0.08628	-0.00046358	-0.01404
	warna	11.15645	-0.07204	0.96101
10	bjb	-0.11241	0.00153	-0.12457
	kadar	-0.07003	-0.00202	0.01383
11	warna	2.34631	-0.01566	-1.64762
	bjb	0.20859	-0.00109	-0.03112
12	kadar	-0.08630	-0.00038066	0.01027
	warna	-2.24628	-0.05260	2.37667
13	bjb	-0.09375	-0.00179	-0.14938
	kadar	-0.04378	-0.00133	-0.05778
14	warna	-0.24497	-0.12064	-3.39403
	bjb	-0.10748	-0.00176	-0.03090
15	kadar	-0.03118	-0.00030575	0.04357
	warna	11.32282	-0.04939	0.83609
16	bjb	0.31795	0.00028175	-0.05983
	kadar	-0.04905	0.00094757	-0.00943
17	warna	-10.27757	-0.15049	-1.93117
	bjb	0.09507	0.00104	-0.00993
18	kadar	-0.02649	-0.00150	-0.01554
	warna	1.16626	0.07219	-0.90354
19	bjb	0.38621	-0.00386	-0.14693
	kadar	-0.01884	-0.00010859	0.00297
20	warna	-4.74657	-0.02144	-1.59252
	bjb	-0.12166	0.00266	0.00730
21	kadar	0.01667	-0.00151	0.04421
	warna	0.64937	0.01041	-0.33932
22	bjb	0.19616	0.00271	-0.06109
	kadar	-0.00197	0.00035583	0.00999
23	warna	1.68984	-0.04703	-0.17229
	bjb	-0.15759	-0.00156	-0.02321
24	kadar	-0.12295	0.000055215	0.02488
	warna	3.48688	0.08788	1.90880
25	bjb	-0.05980	-0.00184	-0.07622
	kadar	-0.04477	-0.00123	-0.03070
26	warna	-1.59937	-0.13375	2.37519
	bjb	-0.33671	0.00303	-0.00285
27	kadar	-0.15872	-0.00043947	-0.00439
	warna	1.23117	-0.12429	-3.21297
28	bjb	-0.14732	-0.00486	0.02301
	kadar	-0.03691	-0.00094965	-0.02653
29	warna	-1.67069	-0.04205	1.96813
	bjb	0.20208	0.00228	-0.00115
30	kadar	-0.04009	-0.00140	-0.03021
	warna	-2.26600	-0.01503	-0.01957
31	bjb	0.12170	0.00196	0.06100
	kadar	0.04142	0.00039976	0.00418
32	warna	-3.23986	0.10636	-3.44856
	bjb	-0.20736	-0.00340	-0.04919

The SAS System 09:44 Thursday, May 6, 2018 6

The VARMAX Procedure

Partial Autoregression Matrices

Lag	Variable	kadar	warna	bjb
24	kadar	0.01413	0.00051450	-0.00076164
	warna	-0.21893	0.14289	-2.29998
	bjb	-0.18413	-0.00292	-0.13488
25	kadar	0.11188	0.00035389	0.01105
	warna	0.86471	-0.07362	0.80099
	bjb	-0.04790	0.00064949	-0.02971
26	kadar	-0.00695	0.00134	-0.01299
	warna	0.03430	0.08139	1.70980
	bjb	0.00109	0.00209	0.01574
27	kadar	-0.05517	-0.00044168	0.01149
	warna	-4.77684	-0.00080172	1.30913
	bjb	0.16302	-0.00200	-0.06762
28	kadar	0.00922	-0.00143	0.02112
	warna	1.37440	0.02947	-1.35255
	bjb	-0.00671	0.00262	-0.00247
29	kadar	-0.19989	0.00027547	-0.03624
	warna	-9.96576	-0.01046	-1.50306
	bjb	0.07764	0.00080263	0.08985
30	kadar	-0.02898	0.00030583	-0.02821
	warna	-2.37344	-0.12913	1.34933
	bjb	0.20122	0.00199	-0.03673
31	kadar	0.05117	-0.00010150	0.01290
	warna	2.86028	0.03631	0.77430
	bjb	-0.19857	-0.00533	-0.05674
32	kadar	-0.05600	0.00022591	-0.00656
	warna	-11.11600	0.05116	-0.31856
	bjb	0.21434	0.00079552	-0.09276
33	kadar	0.03989	-0.00022856	0.01956
	warna	4.86097	0.06618	0.10859
	bjb	-0.23352	0.00375	0.08782
34	kadar	-0.02362	-0.00075110	-0.01317
	warna	5.86400	-0.04613	1.89920
	bjb	0.32396	-0.00383	0.10410
35	kadar	-0.08621	0.00055775	0.01938
	warna	-1.30081	-0.04340	-1.51528
	bjb	-0.11127	0.00291	0.00958
36	kadar	-0.18645	0.00018091	-0.01098
	warna	1.06138	0.16084	2.30082
	bjb	0.14796	0.00114	-0.02581

Schematic Representation of Partial Autoregression

Variable/	1	2	3	4	5	6	7	8	9	10	11	12	13	14	15	16	17	18	19
Lag	---	---	---	---	---	---	---	---	---	---	---	---	---	---	---	---	---	---	
kadar	-..	-..	-..	-..	-..	-..	-..	-..	-..	-..	-..	-..	-..	-..	-..	-..	-..	-..	
warna	-..	-..	-..	-..	-..	-..	-..	-..	-..	-..	-..	-..	-..	-..	-..	-..	-..	-..	
bjb	-..	-..	-..	-..	-..	-..	-..	-..	-..	-..	-..	-..	-..	-..	-..	-..	-..	-..	

+ is > 2*std error, - is < -2*std error, . is between

The SAS System 09:44 Thursday, May 6, 2018 7

The VARMAX Procedure

Schematic Representation of Partial Autoregression

Variable/ Lag	20	21	22	23	24	25	26	27	28	29	30	31	32	33	34	35	36
kadar	-...
warna
bjb

+ is > 2*std error, - is < -2*std error, . is between

Partial Cross Correlation Matrices

Lag	Variable	kadar	warna	bjb
1	kadar	-0.38176	-0.05470	0.07596
	warna	0.00140	-0.47803	-0.06427
	bjb	-0.07917	0.05715	-0.45385
2	kadar	-0.28690	0.07099	0.00484
	warna	0.07092	-0.34664	-0.00422
	bjb	0.01355	0.03348	-0.42773
3	kadar	-0.27320	-0.02057	-0.01997
	warna	-0.07451	-0.13321	0.01486
	bjb	0.02699	0.08697	-0.20414
4	kadar	-0.15947	0.02976	-0.07355
	warna	-0.01020	-0.13768	-0.02733
	bjb	-0.00822	0.08129	-0.16975
5	kadar	-0.15937	0.01269	-0.08386
	warna	0.01412	-0.17475	-0.09154
	bjb	0.08357	-0.06651	-0.18944
6	kadar	-0.10157	-0.04937	-0.03970
	warna	0.06211	0.09894	-0.18419
	bjb	0.00925	-0.10522	-0.03526
7	kadar	-0.13367	0.05486	-0.09145
	warna	-0.01341	-0.03018	-0.09204
	bjb	0.05133	0.03074	-0.10102
8	kadar	-0.09308	0.13506	-0.02182
	warna	-0.02576	-0.07310	0.05446
	bjb	-0.04259	0.02367	-0.12207
9	kadar	-0.06655	0.03043	0.07760
	warna	-0.17383	-0.00556	-0.02965
	bjb	0.04546	-0.05921	-0.04324
10	kadar	-0.08743	-0.02934	-0.03573
	warna	-0.03571	-0.06495	-0.03897
	bjb	0.02021	0.08352	-0.13833
11	kadar	-0.04241	-0.00023487	-0.03903
	warna	-0.08190	-0.10159	-0.06164
	bjb	-0.15549	-0.11542	-0.04618
12	kadar	-0.02870	0.13864	0.13347
	warna	-0.04468	-0.05203	0.01244
	bjb	0.11907	0.01786	-0.06271
13	kadar	-0.04316	-0.12327	0.01513
	warna	0.08758	-0.14060	0.01454
	bjb	-0.02312	-0.05622	-0.02129
14	kadar	-0.01539	0.01588	0.14282
	warna	-0.12319	0.07764	-0.07747
	bjb	-0.05164	-0.03356	-0.16254
15	kadar	-0.02071	-0.05703	-0.05296
	warna	-0.00382	-0.01183	0.07431

The SAS System 09:44 Thursday, May 6, 2018 8

The VARMAX Procedure

Partial Cross Correlation Matrices

Lag	Variable	kadar	warna	bjb
15	bjb	0.01207	-0.05096	0.00231
16	kadar	0.01983	0.00853	0.07398
	warna	-0.13863	0.01326	0.09857
	bjb	0.11829	-0.01255	-0.06484
17	kadar	-0.00747	0.02039	-0.05384
	warna	0.02288	-0.04506	-0.04836
	bjb	0.02695	-0.00687	-0.02031
18	kadar	-0.12871	0.04105	-0.01711
	warna	0.02548	0.07485	-0.02841
	bjb	0.06906	0.06144	-0.06458
19	kadar	-0.05107	-0.02152	-0.12595
	warna	-0.07270	-0.14549	0.06478
	bjb	-0.08710	0.08254	0.01309
20	kadar	-0.16429	0.01694	-0.05541
	warna	-0.03979	-0.10275	-0.13799
	bjb	0.00251	-0.10975	0.01164
21	kadar	-0.02922	-0.02115	0.06866
	warna	-0.05586	-0.05302	0.05623
	bjb	0.07614	0.06897	0.00284
22	kadar	-0.03459	-0.02727	0.03766
	warna	-0.09299	-0.01402	0.04028
	bjb	-0.07888	0.00123	0.05741
23	kadar	0.03807	-0.03729	-0.07832
	warna	0.01902	0.12602	-0.06844
	bjb	0.01838	-0.11653	-0.06192
24	kadar	0.01023	-0.00122	-0.06343
	warna	0.03225	0.15349	-0.03458
	bjb	-0.00911	-0.08052	-0.14419
25	kadar	0.11104	0.00993	-0.01264
	warna	0.02460	-0.07683	0.01309
	bjb	0.02014	0.02713	-0.02440
26	kadar	-0.00607	-0.00114	-0.00034496
	warna	0.11460	0.06951	0.07022
	bjb	-0.03760	0.05864	0.02356
27	kadar	-0.05141	-0.06029	0.05055
	warna	-0.04272	-0.00777	-0.04822
	bjb	0.03668	0.04923	-0.06468
28	kadar	0.00745	0.01818	0.00052532
	warna	-0.11969	0.03688	0.07786
	bjb	0.06063	-0.04811	-0.00862
29	kadar	-0.19781	-0.12260	0.00299
	warna	0.04306	0.0080062	0.00825
	bjb	-0.08311	-0.04307	0.08072
30	kadar	-0.02314	-0.02999	0.06884
	warna	0.04199	-0.13208	0.04270
	bjb	-0.08188	0.04960	-0.03771
31	kadar	0.04702	0.03406	-0.06357
	warna	-0.02320	0.02986	-0.13643
	bjb	0.02990	0.02355	-0.04671
32	kadar	-0.05112	-0.13574	0.06182
	warna	0.02408	0.05447	0.04292
	bjb	-0.01994	0.00002333	-0.10191
33	kadar	0.03387	0.05905	-0.07830
	warna	-0.02220	0.06271	0.10222
	bjb	0.05865	-0.00109	0.09731
34	kadar	-0.01620	0.07038	0.12311

The SAS System 09:44 Thursday, May 6, 2018 9						
The VARMAX Procedure						
Partial Cross Correlation Matrices						
Lag	Variable	kadar	warna	bjb		
34	warna	-0.06082	-0.05660	-0.13671		
	bjb	-0.02993	0.06114	0.10596		
35	kadar	-0.09062	-0.01435	-0.04528		
	warna	0.04039	-0.03368	0.07805		
36	bjb	0.06386	-0.05090	0.00683		
	kadar	-0.18263	0.01070	0.05236		
	warna	0.01912	0.14222	0.05976		
	bjb	-0.01706	0.07769	-0.02049		

Schematic Representation of Partial Cross Correlations																			
Variable/	1	2	3	4	5	6	7	8	9	10	11	12	13	14	15	16	17	18	19
kadar	
warna	
bjb	

+ is > 2*std error, - is < -2*std error, . is between

Schematic Representation of Partial Cross Correlations																		
Variable/	20	21	22	23	24	25	26	27	28	29	30	31	32	33	34	35	36	
kadar
warna
bjb

+ is > 2*std error, - is < -2*std error, . is between

Partial Canonical Correlations						
Lag	PCanCorr1	PCanCorr2	PCanCorr3	Chi-Square	DF	Prob>ChiSq
1	0.48765	0.46516	0.38534	159.71	9	<.0001
2	0.43089	0.39221	0.23859	104.66	9	<.0001
3	0.29546	0.22726	0.09998	39.17	9	<.0001
4	0.22538	0.14869	0.11882	22.80	9	0.0067
5	0.27186	0.17998	0.11271	31.06	9	0.0003
6	0.22015	0.13494	0.08734	19.32	9	0.0226
7	0.18598	0.12305	0.05345	13.62	9	0.1365
8	0.19428	0.10782	0.06528	13.84	9	0.1283
9	0.19332	0.10770	0.03119	12.84	9	0.1702
10	0.16298	0.12233	0.04225	11.09	9	0.2697
11	0.24687	0.03907	0.03618	16.26	9	0.0616
12	0.20409	0.13871	0.01589	15.53	9	0.0773
13	0.19862	0.09484	0.02530	12.42	9	0.1907
14	0.24274	0.13476	0.03494	19.73	9	0.0196
15	0.09831	0.06899	0.02166	3.74	9	0.9278
16	0.21551	0.07377	0.00207	12.97	9	0.1639
17	0.08115	0.04988	0.01936	2.35	9	0.9846
18	0.15141	0.12167	0.02422	9.50	9	0.3922

The SAS System 09:44 Thursday, May 6, 2018 10						
The VARMAX Procedure						
Partial Canonical Correlations						
Lag	PCanCorr1	PCanCorr2	PCanCorr3	Chi-Square	DF	Prob>ChiSq
19	0.17935	0.13721	0.11472	15.85	9	0.0702
20	0.20983	0.15533	0.07456	18.13	9	0.0337
21	0.12120	0.10113	0.02748	6.29	9	0.7106
22	0.14921	0.02696	0.01873	5.70	9	0.7700
23	0.17609	0.12720	0.01527	11.52	9	0.2415
24	0.18783	0.14818	0.00665	13.86	9	0.1273
25	0.11635	0.08509	0.01508	5.06	9	0.8289
26	0.15178	0.07282	0.00162	6.80	9	0.6577
27	0.12656	0.06764	0.00146	4.90	9	0.8427
28	0.16242	0.04009	0.01451	6.71	9	0.6671
29	0.25563	0.07437	0.02219	16.91	9	0.0501
30	0.17347	0.07290	0.04769	8.89	9	0.4472
31	0.16479	0.06270	0.00011456	7.31	9	0.6054
32	0.16544	0.11625	0.00693	9.58	9	0.3857
33	0.16196	0.08582	0.07037	8.98	9	0.4389
34	0.23858	0.07000	0.00221	14.34	9	0.1106
35	0.14235	0.05417	0.05330	6.02	9	0.7384
36	0.19215	0.16665	0.04929	15.44	9	0.0796

The SAS System 09:44 Thursday, May 6, 2018 11						
The VARMAX Procedure						
Type of Model	VAR(14)					
Estimation Method	Least Squares Estimation					
AR Coefficient Estimates						
Lag	Variable	kadar	warna	bjb		
1	kadar	-0.70401	0.00019347	-0.00988		
	warna	-2.48872	-0.67927	1.80851		
	bjb	0.10411	-0.00356	-0.89501		
2	kadar	-0.62574	0.00030390	0.00611		
	warna	6.82231	-0.48966	2.28344		
	bjb	-0.14157	-0.00534	-0.88204		
3	kadar	-0.52237	-0.00040846	-0.01034		
	warna	0.30400	-0.30528	0.30402		
	bjb	-0.30440	-0.00685	-0.69466		
4	kadar	-0.36757	0.00022937	-0.02282		
	warna	3.93165	-0.25980	-2.91582		
	bjb	-0.38107	-0.01011	-0.59706		
5	kadar	-0.40904	0.00049496	-0.01988		
	warna	3.54472	-0.18071	-5.15178		
	bjb	-0.26782	-0.01314	-0.52195		
6	kadar	-0.34562	-0.00008919	-0.04603		
	warna	5.49049	-0.02941	-5.82084		
	bjb	-0.06985	-0.01282	-0.37789		
7	kadar	-0.32650	-0.00191	-0.02177		
	warna	18.23564	-0.15402	-4.00163		
	bjb	0.00078435	-0.00618	-0.40591		
8	kadar	-0.23859	-0.00264	-0.03590		
	warna	9.84624	-0.21135	-4.04212		
	bjb	0.30934	-0.00171	-0.35987		
9	kadar	-0.18968	-0.00334	-0.02069		
	warna	3.46290	-0.18776	-5.11698		
	bjb	0.53535	-0.00412	-0.29199		

10	kadar	-0.18740	-0.00150	-0.02188
	warna	-0.64375	-0.23116	-2.57776
	bjb	0.33034	-0.00373	-0.31934
11	kadar	-0.12001	-0.00116	-0.03460
	warna	3.79622	-0.22205	-5.45312
	bjb	0.44664	-0.00170	-0.21231
12	kadar	-0.07888	-0.00003650	0.02986
	warna	4.38236	-0.13655	-1.23593
	bjb	0.67945	-0.00138	-0.22334
13	kadar	-0.06283	0.00001388	-0.01695
	warna	-9.97275	-0.09738	-2.43697
	bjb	0.36591	-0.00207	-0.17598
14	kadar	-0.01764	-0.00145	-0.01178
	warna	1.03217	0.07155	-0.88949
	bjb	0.39719	-0.00405	-0.16260

Schematic Representation of Parameter Estimates

Variable/
Lag AR1 AR2 AR3 AR4 AR5 AR6 AR7 AR8 AR9 AR10 AR11 AR12 AR13 AR14
kadar
+ is > 2*std error, - is < -2*std error, . is between, * is N/A

The SAS System 09:44 Thursday, May 6, 2018 12

The VARMAX Procedure

Schematic Representation of Parameter Estimates

Variable/
Lag AR1 AR2 AR3 AR4 AR5 AR6 AR7 AR8 AR9 AR10 AR11 AR12 AR13 AR14
warna
bjb
+ is > 2*std error, - is < -2*std error, . is between, * is N/A

Model Parameter Estimates

Equation	Parameter	Estimate	Std Error	T Ratio	Prob> T	Variable
kadar	AR1_1_1	-0.70401	0.06904	-10.20	0.0001	kadar(t-1)
	AR1_1_2	0.00019347	0.00079933	0.24	0.8900	warna(t-1)
	AR1_1_3	-0.00988	0.02301	-0.43	0.6681	bjb(t-1)
	AR2_1_1	-0.62574	0.08430	-7.42	0.0001	kadar(t-2)
	AR2_1_2	0.00030390	0.00096522	0.31	0.7532	warna(t-2)
	AR2_1_3	0.00611	0.03080	0.20	0.8428	bjb(t-2)
	AR3_1_1	-0.52237	0.09524	-5.48	0.0001	kadar(t-3)
	AR3_1_2	-0.00040846	0.00105	-0.39	0.6963	warna(t-3)
	AR3_1_3	-0.01034	0.03617	-0.29	0.7753	bjb(t-3)
	AR4_1_1	-0.36757	0.10203	-3.60	0.0004	kadar(t-4)
	AR4_1_2	0.00022937	0.00107	0.21	0.8300	warna(t-4)
	AR4_1_3	-0.02282	0.03904	-0.58	0.5596	bjb(t-4)
	AR5_1_1	-0.40904	0.10514	-3.89	0.0001	kadar(t-5)
	AR5_1_2	0.00049496	0.00111	0.45	0.6565	warna(t-5)
	AR5_1_3	-0.01988	0.00474	-0.49	0.6260	bjb(t-5)
	AR6_1_1	-0.34562	0.10723	-3.22	0.0015	kadar(t-6)
	AR6_1_2	-0.00008919	0.00116	-0.08	0.9387	warna(t-6)
	AR6_1_3	-0.04603	0.04213	-1.09	0.2758	bjb(t-6)
	AR7_1_1	-0.32650	0.10746	-3.04	0.0027	kadar(t-7)
	AR7_1_2	-0.00191	0.00117	-1.64	0.1034	warna(t-7)
	AR7_1_3	-0.02177	0.04272	-0.51	0.6109	bjb(t-7)

	AR8_1_1	-0.23859	0.10724	-2.22	0.0272	kadar(t-8)
	AR8_1_2	-0.00264	0.00116	-2.27	0.0242	warna(t-8)
	AR8_1_3	-0.03590	0.04301	-0.83	0.4048	bjb(t-8)
	AR9_1_1	-0.18968	0.10590	-1.79	0.0747	kadar(t-9)
	AR9_1_2	-0.00334	0.00118	-2.84	0.0049	warna(t-9)
	AR9_1_3	-0.02069	0.04270	-0.48	0.6285	bjb(t-9)
	AR10_1_1	-0.18740	0.10258	-1.83	0.0691	kadar(t-10)
	AR10_1_2	-0.00150	0.00118	-1.26	0.2079	warna(t-10)
	AR10_1_3	-0.02188	0.04115	-0.53	0.5954	bjb(t-10)
	AR11_1_1	-0.12001	0.09734	-1.23	0.2190	kadar(t-11)
	AR11_1_2	-0.00116	0.00118	-0.98	0.3266	warna(t-11)
	AR11_1_3	-0.03460	0.03889	-0.89	0.3747	bjb(t-11)
	AR12_1_1	-0.07888	0.08810	-0.90	0.3716	kadar(t-12)
	AR12_1_2	-0.00003650	0.00116	-0.03	0.9748	warna(t-12)
	AR12_1_3	0.02986	0.03610	0.83	0.4092	bjb(t-12)
	AR13_1_1	-0.06283	0.07824	-0.80	0.4229	kadar(t-13)
	AR13_1_2	0.00001388	0.00105	0.01	0.9894	warna(t-13)
	AR13_1_3	-0.01695	0.03062	-0.55	0.5805	bjb(t-13)
	AR14_1_1	-0.01764	0.06431	-0.27	0.7841	kadar(t-14)
	AR14_1_2	-0.00145	0.00881768	-1.77	0.0782	warna(t-14)
	AR14_1_3	-0.01178	0.02341	-0.50	0.6154	bjb(t-14)
warna	AR1_2_1	-2.48872	6.02153	-0.41	0.6798	kadar(t-1)
	AR1_2_2	-0.67927	0.06972	-9.74	0.0001	warna(t-1)
	AR1_2_3	1.80851	2.00731	0.90	0.3686	bjb(t-1)
The SAS System 09:44 Thursday, May 6, 2018 13						
The VARMAX Procedure						
Model Parameter Estimates						
Equation	Parameter	Estimate	Std Error	T Ratio	Prob> T	Variable
warna	AR2_2_1	6.82231	7.35314	0.93	0.3546	kadar(t-2)
	AR2_2_2	-0.48966	0.08419	-5.82	0.0001	warna(t-2)
	AR2_2_3	2.28344	2.68661	0.85	0.3963	bjb(t-2)
	AR3_2_1	0.30400	8.30700	0.04	0.9788	kadar(t-3)
	AR3_2_2	-0.30528	0.09116	-3.35	0.0010	warna(t-3)
	AR3_2_3	0.30402	3.15520	0.10	0.9233	bjb(t-3)
	AR4_2_1	3.93165	8.89948	0.44	0.6591	kadar(t-4)
	AR4_2_2	-0.25980	0.09308	-2.79	0.0057	warna(t-4)
	AR4_2_3	-2.91582	3.40564	-0.86	0.3929	bjb(t-4)
	AR5_2_1	3.54472	9.17028	0.39	0.6995	kadar(t-5)
	AR5_2_2	-0.18071	0.09692	-1.86	0.0637	warna(t-5)
	AR5_2_3	-5.15178	3.55368	-1.45	0.1486	bjb(t-5)
	AR6_2_1	5.49049	9.35304	0.59	0.5578	kadar(t-6)
	AR6_2_2	-0.02941	0.10111	-0.29	0.7714	warna(t-6)
	AR6_2_3	-5.82084	3.67440	-1.58	0.1147	bjb(t-6)
	AR7_2_1	10.23564	9.37273	1.09	0.2761	kadar(t-7)
	AR7_2_2	-0.15492	0.10173	-1.51	0.1315	warna(t-7)
	AR7_2_3	-4.00163	3.72621	-1.07	0.2841	bjb(t-7)
	AR8_2_1	9.84624	9.35396	1.05	0.2937	kadar(t-8)
	AR8_2_2	-0.21135	0.10160	-2.08	0.0387	warna(t-8)
	AR8_2_3	-4.04212	3.75133	-1.08	0.2825	bjb(t-8)
	AR9_2_1	3.46290	9.23713	0.37	0.7081	kadar(t-9)
	AR9_2_2	-0.18776	0.10265	-1.83	0.0688	warna(t-9)
	AR9_2_3	-5.11698	3.72462	-1.37	0.1710	bjb(t-9)
	AR10_2_1	-0.64375	8.94705	-0.07	0.9427	kadar(t-10)
	AR10_2_2	-0.23116	0.10333	-2.24	0.0263	warna(t-10)
	AR10_2_3	-2.57776	3.58910	-0.72	0.4734	bjb(t-10)
	AR11_2_1	3.79622	8.49840	0.45	0.6552	kadar(t-11)
	AR11_2_2	-0.22205	0.10291	-2.16	0.0321	warna(t-11)
	AR11_2_3	-5.45312	3.39246	-1.61	0.1095	bjb(t-11)
	AR12_2_1	4.38236	7.68480	0.57	0.5691	kadar(t-12)
	AR12_2_2	-0.13655	0.10081	-1.35	0.1770	warna(t-12)
	AR12_2_3	-1.23593	3.14916	-0.39	0.6951	bjb(t-12)
	AR13_2_1	-9.97275	6.82436	-1.46	0.1454	kadar(t-13)
	AR13_2_2	-0.09738	0.09143	-1.07	0.2881	warna(t-13)
	AR13_2_3	-2.43697	2.67056	-0.91	0.3625	bjb(t-13)

The SAS System 09:44 Thursday, May 6, 2018 14						
The VARMAX Procedure						
Model Parameter Estimates						
Equation	Parameter	Estimate	Std Error	T Ratio	Prob> T	Variable
bjb	AR6_3_3	-0.37789	0.12504	-3.02	0.0028	bjb(t-6)
	AR7_3_1	0.00078435	0.31896	0.00	0.9980	kadar(t-7)
	AR7_3_2	-0.00618	0.00346	-1.78	0.0758	warna(t-7)
	AR7_3_3	-0.40591	0.12681	-3.20	0.0016	bjb(t-7)
	AR8_3_1	0.30034	0.31832	0.94	0.3465	kadar(t-8)
	AR8_3_2	-0.00171	0.00346	-0.50	0.6210	warna(t-8)
	AR8_3_3	-0.35987	0.12766	-2.82	0.0053	bjb(t-8)
	AR9_3_1	0.53535	0.31435	1.70	0.0900	kadar(t-9)
	AR9_3_2	-0.00412	0.00349	-1.18	0.2397	warna(t-9)
	AR9_3_3	-0.29199	0.12675	-2.30	0.0222	bjb(t-9)
	AR10_3_1	0.33834	0.38448	1.08	0.2792	kadar(t-10)
	AR10_3_2	-0.00373	0.00352	-1.06	0.2903	warna(t-10)
	AR10_3_3	-0.31934	0.12214	-2.61	0.0096	bjb(t-10)
	AR11_3_1	0.44664	0.28894	1.55	0.1237	kadar(t-11)
	AR11_3_2	-0.00170	0.00350	-0.48	0.6283	warna(t-11)
	AR11_3_3	-0.21231	0.11545	-1.84	0.0673	bjb(t-11)
	AR12_3_1	0.67945	0.26152	2.60	0.0100	kadar(t-12)
	AR12_3_2	-0.00138	0.00343	-0.40	0.6881	warna(t-12)
	AR12_3_3	-0.22334	0.10717	-2.08	0.0384	bjb(t-12)
	AR13_3_1	0.36591	0.23224	1.58	0.1166	kadar(t-13)
	AR13_3_2	-0.00207	0.00311	-0.67	0.5057	warna(t-13)
	AR13_3_3	-0.17598	0.09088	-1.94	0.0542	bjb(t-13)
	AR14_3_1	0.39719	0.19089	2.08	0.0387	kadar(t-14)
	AR14_3_2	-0.00405	0.00243	-1.67	0.0967	warna(t-14)
	AR14_3_3	-0.16260	0.06949	-2.34	0.0202	bjb(t-14)
Covariance Matrix for the Innovation						
Variable	kadar	warna	bjb			
kadar	0.00036595	0.00267	-0.00015443			
warna	0.00267	2.78414	-0.01500			
bjb	-0.00015443	-0.01500	0.00322			

Information Criteria				
AICC(Corrected AIC)			-12.0228	
HQC(Hannan-Quinn Criterion)			-11.5127	
AIC(Akaike Information Criterion)			-12.2228	
SBC(Schwarz Bayesian Criterion)			-10.4581	
FPEC(Final Prediction Error Criterion)			4.964E-6	
Residual Cross-Covariance Matrices				
Lag	Variable	kadar	warna	bjb
0	kadar	0.00030484	0.00220	-0.00012806
	warna	0.00220	2.31345	-0.01235
	bjb	-0.00012806	-0.01235	0.00268
1	kadar	6.516736E-8	-0.00010822	0.00000940
	warna	-0.00004297	-0.00754	-0.00032298
	bjb	0.00000511	0.00017536	0.00003722
2	kadar	-0.00000257	-0.00008813	0.00000297
The SAS System 09:44 Thursday, May 6, 2018 15				
The VARMAX Procedure				
Residual Cross-Covariance Matrices				
Lag	Variable	kadar	warna	bjb
2	warna	0.00007668	-0.03403	-0.00032900
	bjb	0.00000745	-0.00000288	-0.00003631
3	kadar	0.00000576	-0.00000228	-0.00000703
	warna	-0.00026841	0.03195	0.00229
	bjb	0.00001844	-0.00026744	-0.00001102
4	kadar	-0.00000819	0.00026225	0.00001460
	warna	-0.00005844	-0.05063	-0.00004369
	bjb	0.00004214	0.00013355	-0.00005884
5	kadar	-0.00000786	-0.00075837	0.00001658
	warna	0.00006177	0.08642	-0.00105
	bjb	-0.00001289	-0.000030937	0.00009499
6	kadar	-0.00000591	-0.000006886	-0.00000480
	warna	-0.00018912	-0.08962	0.00223
	bjb	0.00005778	-0.00204	-0.00002724
7	kadar	-0.00000619	0.000005078	0.00000110
	warna	-0.00027266	0.00003797	0.00120
	bjb	0.00000191	0.00093551	-0.00002208
8	kadar	-0.00001720	0.00027525	-0.00000748
	warna	-0.00075964	-0.01244	0.00271
	bjb	0.00002668	0.00056120	-0.00003899
9	kadar	-0.00000506	-0.00045768	-0.00002485
	warna	-0.00069234	-0.20675	0.00070885
	bjb	-0.00001850	0.00025089	-0.00002349
10	kadar	-0.00000655	-0.00031234	-0.00004359
	warna	0.00087418	0.00650	-0.00078888
	bjb	-0.00004004	-0.00150	0.00003390
11	kadar	-0.00001441	-0.00122	-0.00001489
	warna	-0.00032643	0.06383	0.00463
	bjb	-0.00001104	0.00080893	-0.00003921
12	kadar	-0.00000641	0.00002945	0.00001528
	warna	0.00066772	-0.06926	0.00011323
	bjb	5.600267E-7	0.00112	-0.00008784
13	kadar	-0.00002146	0.00005630	-0.00001267
	warna	-0.00043916	0.14056	0.000035076
	bjb	0.00000648	-0.00265	-0.00017845
14	kadar	-0.00001703	0.00046902	0.00003458
	warna	-0.000107	-0.03026	0.00333
	bjb	-0.00000125	-0.00091495	-0.00008097

Lag	Variable	kadar	warna	bjb
21	kadar	0.00003413	-0.00225	0.00005956
	warna	0.00129	0.29781	0.00617
	bjb	0.00002601	0.00314	-0.00019240
22	kadar	0.00001437	0.00025702	-0.00003557
	warna	0.00351	0.12223	-0.00640
	bjb	7.54141E-7	-0.00028988	-0.00006077
23	kadar	-9.96634E-7	-0.00012415	-0.00001106
	warna	0.00234	0.24457	-0.00765
	bjb	0.00005851	-0.00236	-0.00010260
24	kadar	-0.00001083	0.00150	0.00004716
	warna	0.00035980	0.06012	0.00437
	bjb	0.00002297	0.00505	-0.00008125
25	kadar	0.00000866	0.00020942	0.00002289
	warna	-0.00043414	-0.12676	0.00475
	bjb	0.00003379	0.00645	0.00015637
26	kadar	-0.000004149	-0.00111	0.00000191
	warna	0.00017658	0.26117	-0.00178
	bjb	-0.000001952	-0.00146	0.00008677
27	kadar	-7.50288E-7	-0.00293	0.00004966
	warna	-0.00136	-0.01673	-0.00241
	bjb	-0.00001526	-0.00254	-0.00000824
28	kadar	-0.00000203	0.00284	0.00001081
	warna	-0.00133	0.19490	0.00481
	bjb	-0.000000137	-0.00209	0.00000928
29	kadar	-0.000003004	0.00084367	0.000008229
	warna	0.00172	-0.04210	-0.00388
	bjb	-0.000006324	0.00727	-0.00001807
30	kadar	0.000001809	0.00267	0.00003644
	warna	-0.00160	-0.17406	-0.00047930
	bjb	0.000002936	0.00823	-0.00021104
31	kadar	-0.000001363	0.00032567	-0.00003489
	warna	-0.00110	0.14921	0.00141
	bjb	0.000007805	-0.00471	0.00009934
32	kadar	-0.00000595	-0.00186	0.00007312
	warna	0.000008943	0.02976	0.00004
	bjb	-0.000007521	0.00480	0.00005839
33	kadar	-0.000001132	0.00147	-0.00003951
	warna	-0.000099844	-0.13119	-0.00148
	bjb	0.000001950	0.00253	0.00024730

34	kadar	-0.0000174	-0.00051273	0.00003584
	warna	0.00173	-0.03272	-0.00535
	bjb	-0.0006283	0.00373	-0.00016638
35	kadar	-0.00003380	0.00068245	0.00000793
	warna	0.00134	0.11130	0.00381
	bjb	0.0007860	0.00199	-0.00033822
36	kadar	0.00000995	0.00214	5.276653E-7
	warna	-0.00168	0.22988	-0.00002840
	bjb	0.00000800	0.00702	-0.00008498

The SAS System 09:44 Thursday, May 6, 2018 17

The VARMAX Procedure

Residual Cross-Correlation Matrices

Lag	Variable	kadar	warna	bjb
0	kadar	1.0000	0.08280	-0.14159
	warna	0.08280	1.0000	-0.15677
	bjb	-0.14159	-0.15677	1.0000
1	kadar	0.00021378	-0.00408	0.01040
	warna	-0.00162	-0.00326	-0.00410
	bjb	0.00565	0.00223	0.01387
2	kadar	-0.00843	-0.00332	0.00328
	warna	0.00289	-0.01471	-0.00418
	bjb	0.00823	-0.00003659	-0.01353
3	kadar	0.01891	-0.00347	-0.00777
	warna	-0.01811	0.01381	0.02911
	bjb	0.02039	-0.00339	-0.00411
4	kadar	-0.02688	0.00988	0.01614
	warna	-0.00190	-0.02189	-0.00512
	bjb	0.04659	0.00169	-0.02192
5	kadar	-0.02579	-0.02856	0.01833
	warna	0.00233	0.03736	-0.01336
	bjb	-0.01426	-0.00393	0.03540
6	kadar	-0.01940	-0.00259	-0.00530
	warna	-0.00712	-0.03874	0.02827
	bjb	0.06389	-0.02588	-0.01015
7	kadar	-0.02030	0.00191	0.00121
	warna	-0.01827	0.00001641	0.01525
	bjb	0.00212	0.01187	-0.00823
8	kadar	-0.05642	0.01037	-0.00827
	warna	-0.02827	-0.00538	0.03437
	bjb	0.02950	0.00712	-0.01419
9	kadar	-0.01661	-0.01723	-0.02748
	warna	-0.02607	-0.08937	0.00900
	bjb	-0.01161	0.00318	-0.00875
10	kadar	-0.02148	-0.01176	-0.04820
	warna	0.03292	0.00281	-0.01000
	bjb	-0.04427	-0.01907	0.01263
11	kadar	-0.04727	-0.04607	-0.01646
	warna	-0.01229	0.02759	0.05881
	bjb	-0.01221	0.01027	-0.01461
12	kadar	-0.02102	0.00111	0.01689
	warna	0.02514	-0.02994	0.00144
	bjb	0.00061916	0.01419	-0.03273
13	kadar	-0.07640	0.00212	0.01491
	warna	-0.01654	0.06076	0.00445
	bjb	0.00717	-0.03367	-0.06649
14	kadar	-0.05587	0.01766	0.03823
	warna	-0.04025	-0.01308	0.04220
	bjb	-0.00138	-0.01161	-0.03017
15	kadar	-0.03207	0.05949	-0.06898
	warna	-0.05058	-0.00635	0.07288
	bjb	0.03084	-0.01850	-0.02291

16	kadar	0.02361	0.01232	-0.04097
	warna	-0.00318	0.00417	-0.01194
	bjb	0.00264	-0.01036	-0.03909
17	kadar	0.03010	0.02098	-0.12365
	warna	0.05625	-0.04917	-0.01695
	bjb	-0.08190	0.11639	0.00465
18	kadar	-0.14377	-0.03595	0.08490
	warna	0.00792	-0.00709	-0.03906
The SAS System 09:44 Thursday, May 6, 2018 18				
The VARMAX Procedure				
Residual Cross-Correlation Matrices				
Lag	Variable	kadar	warna	bjb
18	bjb	0.03263	0.04421	-0.05341
19	kadar	-0.03735	-0.07227	0.01866
	warna	-0.05519	-0.10359	0.00266
	bjb	-0.04874	-0.03946	0.04568
20	kadar	0.00065790	0.00633	0.00912
	warna	0.02610	0.06949	-0.07251
	bjb	0.05400	-0.06248	-0.02830
21	kadar	0.11196	-0.08465	0.06585
	warna	0.04867	0.12873	0.07833
	bjb	0.02876	0.03987	-0.07169
22	kadar	0.04714	0.00968	-0.03933
	warna	0.13234	0.05283	-0.08128
	bjb	0.00083376	-0.00368	-0.02264
23	kadar	-0.00327	-0.00467	-0.01223
	warna	0.08797	0.10572	-0.09704
	bjb	0.06469	-0.02991	-0.03823
24	kadar	-0.03552	0.05665	0.05213
	warna	0.01355	0.02599	0.05552
	bjb	0.02540	0.06489	-0.03827
25	kadar	0.02820	0.00789	0.02530
	warna	-0.01635	-0.05479	0.06027
	bjb	0.03736	0.08185	0.05826
26	kadar	-0.13610	-0.04179	0.00211
	warna	0.00665	0.11289	-0.02263
	bjb	-0.02158	-0.01854	0.03233
27	kadar	-0.00246	-0.11044	0.04495
	warna	-0.05107	-0.00723	-0.03854
	bjb	-0.01687	-0.03228	-0.00307
28	kadar	-0.00665	0.07680	0.01195
	warna	-0.05022	0.08424	0.06100
	bjb	-0.00152	-0.02648	0.03364
29	kadar	-0.09855	0.03177	0.09098
	warna	0.06475	-0.01820	-0.04929
	bjb	-0.06992	0.09228	-0.00673
30	kadar	0.05934	0.10063	0.04029
	warna	-0.06035	-0.07524	-0.00608
	bjb	0.03246	0.10444	-0.07864
31	kadar	-0.04471	0.01226	-0.03858
	warna	-0.04143	0.06450	0.01794
	bjb	0.08629	-0.05979	0.03366
32	kadar	-0.01953	-0.06996	0.08084
	warna	0.00337	0.01286	0.07670
	bjb	-0.08316	0.06090	0.02176
33	kadar	-0.03712	0.05521	-0.04368
	warna	-0.03760	-0.05671	-0.01881
	bjb	0.02156	0.03216	0.09214
34	kadar	-0.00571	-0.01931	0.03962
	warna	0.06525	-0.01415	-0.06787
	bjb	-0.06947	0.04740	-0.06199

```

35    kadar      -0.11088     0.02570     0.00877
      warna      0.05048     0.04811     0.04830
      bjb        0.08690     0.02520     -0.12602
36    kadar      0.03263     0.00850     0.00058338
      warna      -0.06335     0.09936     -0.00036039
      bjb        0.00885     0.08912     -0.03166

The SAS System      09:44 Thursday, May 6, 2018  19

The VARMAX Procedure

Schematic Representation of Residual Cross Correlations

Variable/Lag      0   1   2   3   4   5   6   7   8   9   10  11  12  13  14  15  16  17  18
kadar  +-... .... ... ... ... ... ... ... ... ... ... ... ... ... ... ... ...
warna  .+-... .... ... ... ... ... ... ... ... ... ... ... ... ... ...
bjb    --+... .... ... ... ... ... ... ... ... ... ... ... ... ... ...

+ is > 2*std error, - is < -2*std error, . is between

Schematic Representation of Residual Cross Correlations

Variable/Lag      19  20  21  22  23  24  25  26  27  28  29  30  31  32  33  34  35  36
kadar  .... ... ... ... ... ... ... ... ... ... ... ... ...
warna  .... ... +.+. ... ... ... ... ...
bjb    .... ... ... ... ... ... ... ... ... ... ... ...

+ is > 2*std error, - is < -2*std error, . is between

Portmanteau Test for Residual
Cross Correlations
To      Chi-    Prob>
Lag     Square   DF    ChiSq
      15      26.21    9   0.0019
      16      29.56   18   0.0419
      17      40.69   27   0.0441
      18      49.13   36   0.0710
      19      56.45   45   0.1177
      20      61.08   54   0.2367
      21      78.09   63   0.0955
      22      85.48   72   0.1324
      23      94.35   81   0.1473
      24      99.45   90   0.2326
      25     105.74   99   0.3030
      26     115.80  108   0.2865
      27     121.57  117   0.3676
      28     127.91  126   0.4358
      29     140.24  135   0.3613
      30     152.79  144   0.2922
      31     158.81  153   0.3571
      32     167.23  162   0.3729
      33     173.57  171   0.4309
      34     180.01  180   0.4858
      35     192.24  189   0.4208
      36     202.66  198   0.3952

```

The SAS System 09:44 Thursday, May 6, 2018 20						
The VARMAX Procedure						
Univariate Model Diagnostic Checks						
Variable	R-square	StdDev	F Value	Prob>F		
kadar	0.4586	0.0191	4.34	<.0001		
warna	0.4765	1.6686	4.66	<.0001		
bjb	0.5400	0.0568	6.01	<.0001		
Univariate Model Diagnostic Checks						
Variable	DW(1)	Normality ChiSq	Prob> ChiSq	ARCH1 F Value		Prob>F
kadar	2.00	33.88	<.0001	6.40		0.0120
warna	2.00	0.46	0.7942	3.14		0.0776
bjb	1.97	1.84	0.3986	0.57		0.4494
Univariate Model Diagnostic Checks						
Variable	AR1 F Value	Prob>F	AR1-2 F Value	Prob>F	AR1-3 F Value	Prob>F
kadar	0.00	0.9973	0.01	0.9905	0.04	0.9905
warna	0.00	0.9590	0.03	0.9724	0.03	0.9914
bjb	0.05	0.8268	0.05	0.9542	0.03	0.9937
AR1-4 F Value						
						Prob>F
Roots of AR Characteristic Polynomial						
Index	Real	Imaginary	Modulus	ATAN(I/R)		Degree
1	0.85903	0.30374	0.9111	0.3399	19.4728	
2	0.85903	-0.30374	0.9111	-0.3399	-19.4728	
3	0.78609	0.41403	0.8885	0.4848	27.7753	
4	0.78609	-0.41403	0.8885	-0.4848	-27.7753	
5	0.71993	0.40148	0.8165	0.5141	29.4547	
6	0.71993	-0.40148	0.8165	-0.5141	-29.4547	
7	0.62430	0	0.6243	0	0	0
8	0.58496	0.67853	0.8959	0.8593	49.2357	
9	0.58496	-0.67853	0.8959	-0.8593	-49.2357	
10	0.54982	0.54528	0.7744	0.7813	44.7625	
11	0.54982	-0.54528	0.7744	-0.7813	-44.7625	
12	0.48956	0.74584	0.8922	0.9899	56.7196	
13	0.48956	-0.74584	0.8922	-0.9899	-56.7196	
14	0.31642	0.76965	0.8322	1.1807	67.6510	
15	0.31642	-0.76965	0.8322	-1.1807	-67.6510	
16	0.24538	0.87518	0.9089	1.2974	74.3379	
17	0.24538	-0.87518	0.9089	-1.2974	-74.3379	
18	0.12793	0.88239	0.8916	1.4268	81.7504	
19	0.12793	-0.88239	0.8916	-1.4268	-81.7504	
20	-0.07366	0.81187	0.8152	1.6613	95.1840	
21	-0.07366	-0.81187	0.8152	-1.6613	-95.1840	
22	-0.07995	0.90846	0.9120	1.6586	95.0292	
23	-0.07995	-0.90846	0.9120	-1.6586	-95.0292	
24	-0.19562	0	0.1956	3.1416	180.0000	
25	-0.27733	0.86599	0.9093	1.8807	107.7573	
26	-0.27733	-0.86599	0.9093	-1.8807	-107.7573	
27	-0.37245	0.71289	0.8043	2.0522	117.5848	

The SAS System 09:44 Thursday, May 6, 2018 21					
The VARMAX Procedure					
Roots of AR Characteristic Polynomial					
Index	Real	Imaginary	Modulus	ATAN(I/R)	Degree
28	-0.37245	-0.71289	0.8043	-2.0522	-117.5848
29	-0.50455	0.80094	0.9466	2.1330	122.2091
30	-0.50455	-0.80094	0.9466	-2.1330	-122.2091
31	-0.56280	0.73509	0.9258	2.2242	127.4382
32	-0.56280	-0.73509	0.9258	-2.2242	-127.4382
33	-0.67483	0.62336	0.9187	2.3958	137.2705
34	-0.67483	-0.62336	0.9187	-2.3958	-137.2705
35	-0.80238	0.46208	0.9259	2.6191	150.0630
36	-0.80238	-0.46208	0.9259	-2.6191	-150.0630
37	-0.85392	0.32492	0.9137	2.7780	159.1679
38	-0.85392	-0.32492	0.9137	-2.7780	-159.1679
39	-0.91046	0.19858	0.9319	2.9268	167.6960
40	-0.91046	-0.19858	0.9319	-2.9268	-167.6960
41	-0.91129	0.04136	0.9122	3.0962	177.4012
42	-0.91129	-0.04136	0.9122	-3.0962	-177.4012
Forecasts					
Variable	Obs	Forecast	Standard Error	95% Confidence Limits	
				0.1379	0.2129
kadar	268	0.1754	0.0191	0.1310	0.2094
	269	0.1702	0.0200	0.1073	0.1867
	270	0.1470	0.0202	0.1099	0.1905
	271	0.1502	0.0206	0.1118	0.1950
	272	0.1534	0.0212	0.1118	0.2028
	273	0.1610	0.0213	0.1191	0.2015
	274	0.1591	0.0216	0.1166	0.2056
	275	0.1625	0.0220	0.1195	0.2056
	276	0.1615	0.0225	0.1174	0.2056
	277	0.1581	0.0229	0.1131	0.2030
	278	0.1618	0.0232	0.1164	0.2072
	279	0.1601	0.0234	0.1141	0.2060
warna	268	15.2221	1.6686	11.9518	18.4925
	269	15.3904	1.7502	11.9601	18.8206
	270	14.8753	1.8212	11.3059	18.4448
	271	15.5413	1.9066	11.8044	19.2782
	272	13.9228	1.9711	10.0595	17.7861
	273	14.1438	2.0470	10.1317	18.1559
	274	14.3301	2.1769	10.0634	18.5969
	275	13.5048	2.2172	9.1592	17.8504
	276	14.4657	2.2681	10.0203	18.9110
	277	14.1159	2.3330	9.5433	18.6884
bjb	278	14.0218	2.3552	9.4057	18.6378
	279	14.4387	2.4019	9.7310	19.1464
	268	1.1466	0.0568	1.0353	1.2578
	269	1.1477	0.0575	1.0351	1.2604
	270	1.1767	0.0579	1.0631	1.2902
	271	1.1962	0.0597	1.0791	1.3132
	272	1.1916	0.0616	1.0709	1.3124
	273	1.1672	0.0634	1.0429	1.2915
	274	1.1739	0.0655	1.0454	1.3023
	275	1.1621	0.0657	1.0334	1.2909
	276	1.1750	0.0663	1.0451	1.3050
	277	1.1627	0.0683	1.0289	1.2966

The SAS System 09:44 Thursday, May 6, 2018 22					
The VARMAX Procedure					
Forecasts					
Variable	Obs	Forecast	Standard Error	95% Confidence Limits	
bjb	278	1.1439	0.0688	1.0090	1.2788
	279	1.1618	0.0696	1.0254	1.2982

Lampiran I. Residual Pemodelan Data Karakteristik Kualitas GKP PG Rejo Agung Baru Madiun

Subgrup	kadar air (%)	warna (icumsa)	BJB (mm)
1	*	*	*
2	*	*	*
3	*	*	*
4	*	*	*
5	*	*	*
6	*	*	*
7	*	*	*
8	*	*	*
9	*	*	*
10	*	*	*
11	*	*	*
12	*	*	*
13	*	*	*
14	*	*	*
15	*	*	*
16	0.013093	0.120843	0.003493
17	0.015023	-0.75123	0.043204
18	0.00283	0.927152	0.036541
19	-0.00344	-1.7734	0.076514
.	.	.	.
.	.	.	.
.	.	.	.
256	-0.01257	-0.66582	0.058343
257	-0.00093	1.751814	0.095675
258	-0.00673	-0.05189	-0.00523
259	0.012299	0.16789	-0.04183
260	0.018731	-0.57406	-0.04909
261	-0.00916	-0.22494	-0.0155
262	0.021178	2.361512	-0.07962
263	0.014694	3.217417	-0.09869
264	0.020848	2.088584	-0.03336
265	0.001205	1.537476	-0.01112
266	-0.014	-0.08847	0.064778
267	0.000424	-1.10939	0.030947

Lampiran J. Pengujian Distribusi Multivariat Normal dengan Uji ADF Pada *Package Software R*

```
>  
PG=read.csv("C:/Users/Windows/Dropbox/TA/VAR/  
VAR2/RESIDUAL.csv",sep=';', header=T)  
> a=t(PG[1:252,1:3])  
> library(mvnormtest)  
> mshapiro.test(a)  
  
Shapiro-Wilk normality test  
  
data: z  
W = 0.98127, p-value = 0.002101
```

Lampiran K. Pengujian Dependensi Variabel dengan Uji Bartlett menggunakan Software SPSS**KMO and Bartlett's Test**

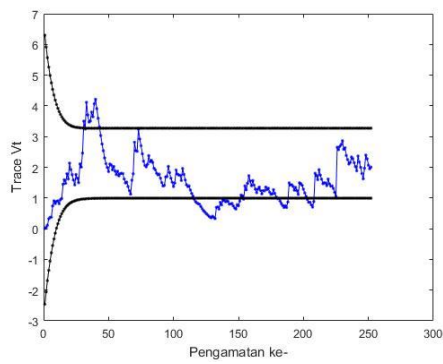
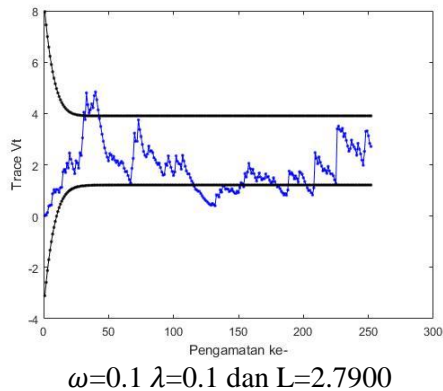
Kaiser-Meyer-Olkin Measure of Sampling Adequacy.	,548
Bartlett's Test of Sphericity	Approx. Chi-Square
	df
	Sig.

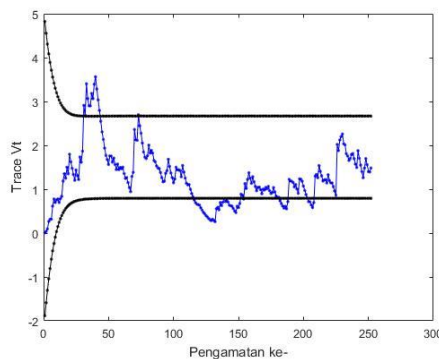
Lampiran L. Tabel Nilai L dengan p=3

ω	λ	L	ω	λ	L	ω	λ	L
0.1	0.1	2.7900	0.4	0.1	3.8984	0.7	0.1	4.3777
	0.2	2.7939		0.2	3.9063		0.2	4.3797
	0.3	2.7949		0.3	3.9121		0.3	4.3816
	0.4	2.7988		0.4	3.9219		0.4	4.3836
	0.5	2.7979		0.5	3.9277		0.5	4.3855
	0.6	2.8027		0.6	3.9395		0.6	4.3875
	0.7	2.8066		0.7	3.9492		0.7	4.3836
	0.8	2.8105		0.8	3.9511		0.8	4.3836
	0.9	2.8164		0.9	3.9492		0.9	4.3758
0.2	0.1	3.3105	0.5	0.1	4.1016	0.8	0.1	4.4707
	0.2	3.3086		0.2	4.1016		0.2	4.4668
	0.3	3.3164		0.3	4.1094		0.3	4.4629
	0.4	3.3213		0.4	4.1152		0.4	4.4688
	0.5	3.3340		0.5	4.1191		0.5	4.4688
	0.6	3.3438		0.6	4.1270		0.6	4.4688
	0.7	3.3535		0.7	4.1367		0.7	4.4629
	0.8	3.3594		0.8	4.1387		0.8	4.4590
	0.9	3.3691		0.9	4.1328		0.9	4.4551
0.3	0.1	3.6484	0.6	0.1	4.2578	0.9	0.1	4.5234
	0.2	3.6523		0.2	4.2578		0.2	4.5195
	0.3	3.6602		0.3	4.2617		0.3	4.5117
	0.4	3.6699		0.4	4.2695		0.4	4.5195
	0.5	3.6797		0.5	4.2715		0.5	4.5176
	0.6	3.6895		0.6	4.2715		0.6	4.5137
	0.7	3.6943		0.7	4.2734		0.7	4.5098
	0.8	3.7011		0.8	4.2813		0.8	4.5078
	0.9	3.7070		0.9	4.2715		0.9	4.4984

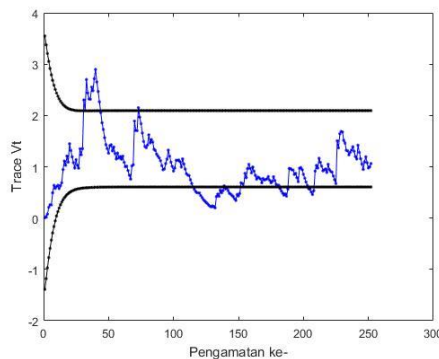
**Lampiran M. Residual Kualitas GKP PG Rejo Agung Baru
Madiun Setelah Dilakukan Pembuangan Data *Out of Control***

Subgrup	kadar air (%)	warna (icumsa)	BJB (mm)
1	0.0131	0.1208	0.0035
2	0.0150	-0.7512	0.0432
3	0.0028	0.9272	0.0365
4	-0.0034	-1.7734	0.0765
5	-0.0246	0.8121	0.1193
6	0.0207	0.7322	-0.0611
7	0.0168	-2.4192	-0.0109
8	0.0281	1.5277	0.0433
9	0.0078	-0.1760	-0.0029
10	-0.0074	-1.6198	-0.0405
11	-0.0204	0.8960	-0.0834
12	0.0017	-0.0631	-0.0383
13	0.0072	1.7076	0.0742
14	-0.0289	-1.1830	0.0527
15	0.0044	2.9280	-0.0871
16	0.0438	-1.5676	-0.1079
17	0.0156	0.9314	-0.0664
18	-0.0479	-2.3961	0.0226
19	-0.0081	-0.5906	0.0227
.	.	.	.
.	.	.	.
.	.	.	.
236	-0.0126	-0.6658	0.0583
237	-0.0009	1.7518	0.0957
238	-0.0067	-0.0519	-0.0052
239	0.0123	0.1679	-0.0418
230	0.0187	-0.5741	-0.0491
241	-0.0092	-0.2249	-0.0155
242	0.0212	2.3615	-0.0796
243	0.0147	3.2174	-0.0987
244	0.0208	2.0886	-0.0334
245	0.0012	1.5375	-0.0111
246	-0.0140	-0.0885	0.0648
247	0.0004	-1.1094	0.0309

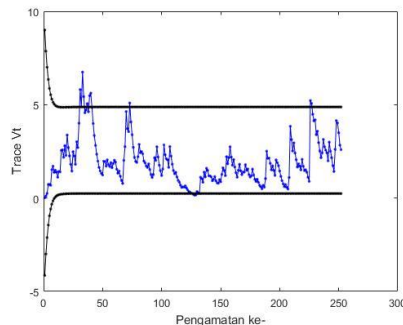
Lampiran N. Peta Kendali MEWMV



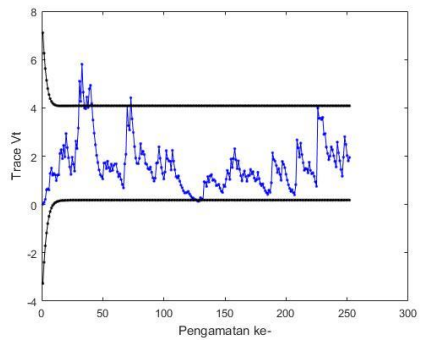
$$\omega=0.1 \lambda=0.3 \text{ dan } L=2.7949$$



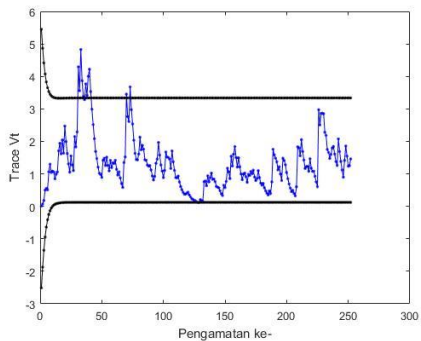
$$\omega=0.1 \lambda=0.4 \text{ dan } L=2.7988$$



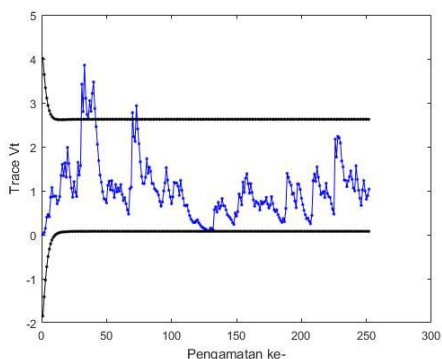
$$\omega=0.2 \lambda=0.1 \text{ dan } L=3.3105$$



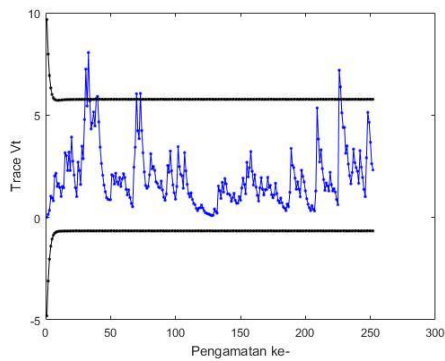
$\omega=0.2 \lambda=0.2$ dan $L=3.3086$



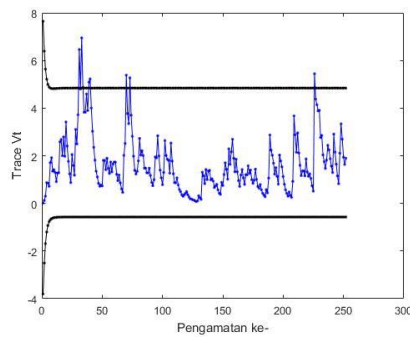
$\omega=0.2 \lambda=0.3$ dan $L=3.3164$



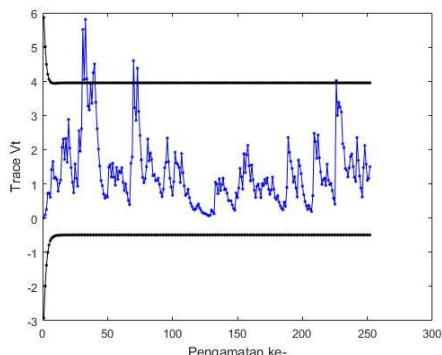
$\omega=0.2 \lambda=0.4$ dan $L=3.3213$



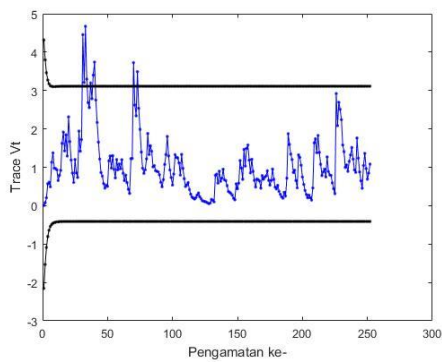
$$\omega=0.3 \lambda=0.1 \text{ dan } L=3.6484$$



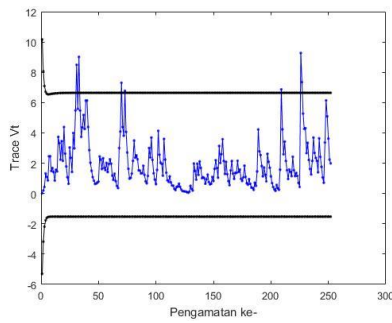
$$\omega=0.3 \lambda=0.2 \text{ dan } L=3.6523$$



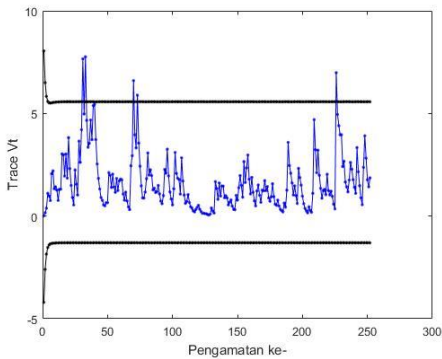
$$\omega=0.3 \lambda=0.3 \text{ dan } L=3.6602$$



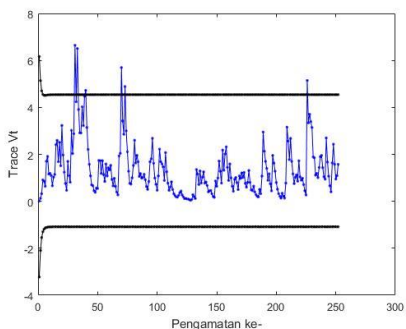
$$\omega=0.3 \lambda=0.4 \text{ dan } L=3.6699$$



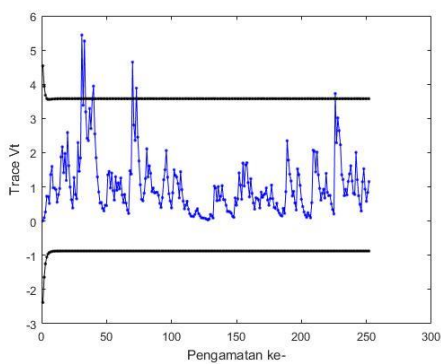
$$\omega=0.4 \lambda=0.1 \text{ dan } L=3.8984$$



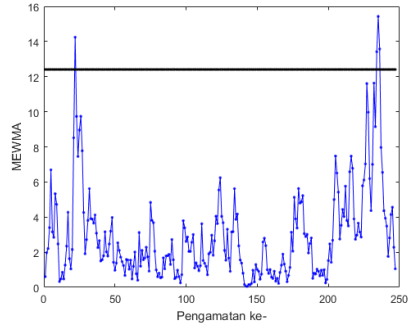
$$\omega=0.4 \lambda=0.2 \text{ dan } L=3.9063$$



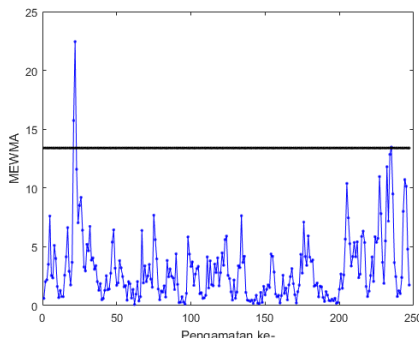
$\omega=0.4 \lambda=0.3$ dan $L=3.9121$



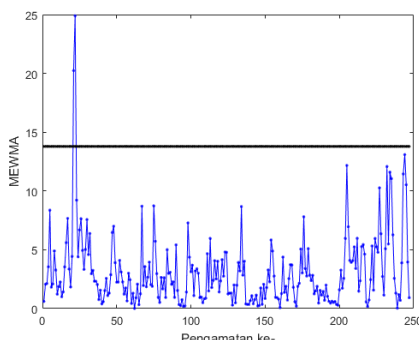
$\omega=0.4 \lambda=0.4$ dan $L=3.919$

Lampiran O. Peta Kendali MEWMA

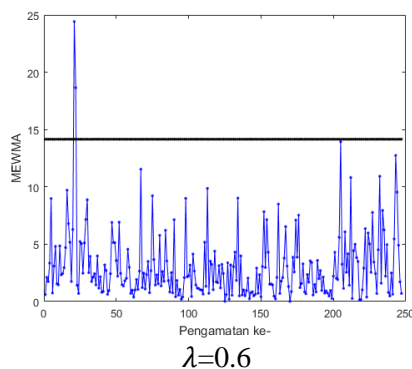
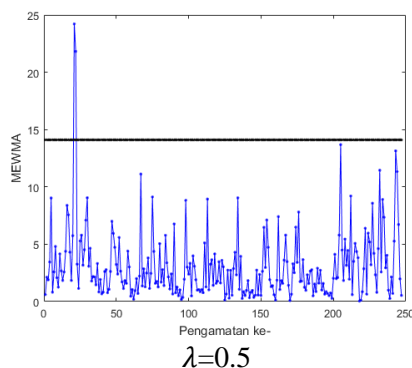
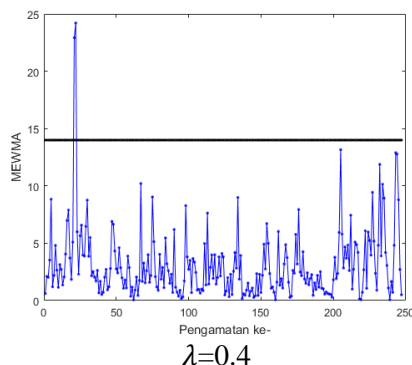
$$\lambda=0.1$$

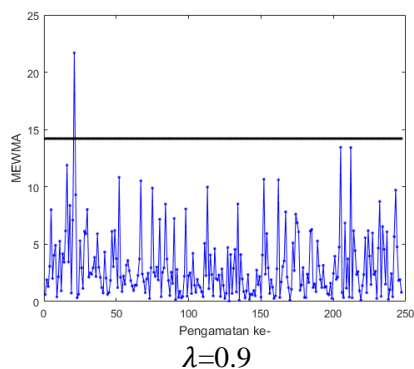
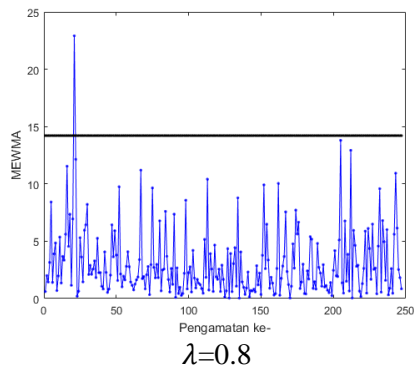
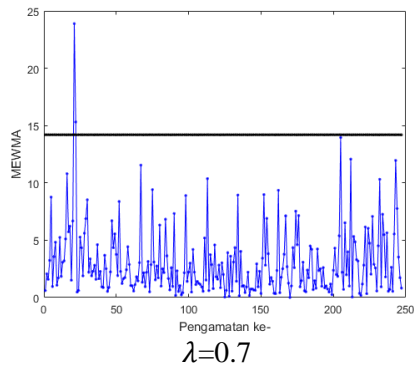


$$\lambda=0.2$$



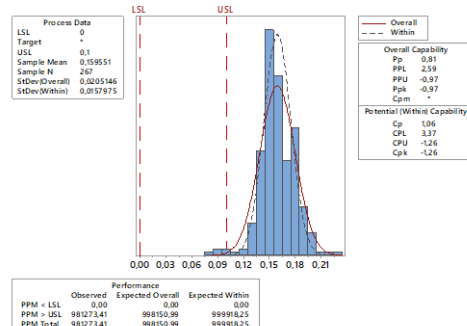
$$\lambda=0.3$$



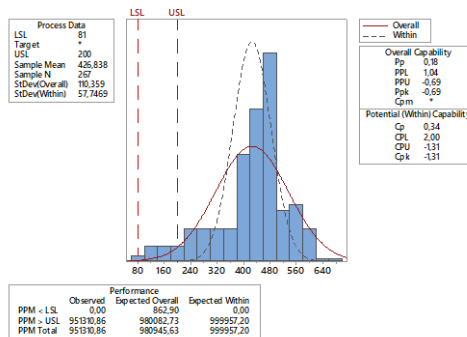


Lampiran P Kapabilitas Proses GKP

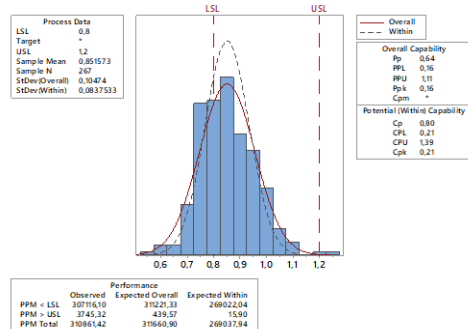
Lampiran P1. Kapabilitas proses Kadar Air



Lampiran P2. Kapabilitas proses warna larutan



Lampiran P3. Kapabilitas proses BJB



Lampiran Q. Syntax MATLAB MEWMV

```
clc; clear all;
X = importdata('E:\uni.txt');
omega=0.9;
lamda=0.9;
p=3;
L=4.4984;
[brsX, klmX]=size(X);
t=brsX;
I=eye(t);
for i=1:t
    elemen(i)=lamda*(1-lamda)^(i-1);
end
for i=1:t
    for j=1:t
        if i<j
            M(i,j)=0;
        else
            for l=i:t
                M(l,j)=elemen(l-j+1);
            end
        end
    end
end
A=X*X';
for u=1:brsX
Apantu=A(1:u,1:u);
Ipantu=I(1:u,1:u);
Mpantu=M(1:u,1:u);
elemenC=[];
for i=1:u
    if i>1
        elemenC(i)=omega*(1-omega)^(u-i);
    else
        elemenC(i)=(1-omega)^(u-i);
    end
end
```

```
C=diag(elemenC);
Q=(Ipartu-Mpartu) '*C* (Ipartu-Mpartu);
trv(u)=trace(Q*Apartu);
ekspektasi(u)=p*trace(Q);
Q2=Q.^2;
sumQ2=sum(sum(Q2));
var(u)=2*p*sumQ2;
ba=ekspektasi+(L*sqrt(var));
bb=ekspektasi-(L*sqrt(var));
end
trvpartial=trv(:,1:t);
ekspekkpartial=ekspektasi(:,1:t);
varpartial=var(:,1:t);
bapartial=ba(:,1:t);
bbpartial=bb(:,1:t);
keluar=0;
d=0;
for i=1:t-1
if trvpartial(i)<bbpartial(i)
keluar=keluar+1
d=d+1
yangkeluar(d)=i;
end
if trvpartial(i)>bapartial(i)
keluar=keluar+1
d=d+1
yangkeluar(d)=i;
end
end
x=1:t;
plot(x,trvpartial,'b.-',x,bapartial,'k.-'
',x,bbpartial,'k.-');
xlabel('Pengamatan ke-')
ylabel('Trace Vt');
```

Lampiran R. Surat Permohonan Ijin Perusahaan



PG Rajawali I
RNI Group



Medan, 23 Desember 2017

Nomor : 258-5/254/XII/2017
 Lampiran : -
 Perihal : Pengambilan Data Tugas Akhir

Kepada Yth :
 Kepala Departemen Statistik
 Institut Teknologi Sepuluh Nopember
 Kampus ITS Sukolilo
SURABAYA 60111

Dengan hormat,

Menunjuk surat saudara nomor : 077471/IT2.VL9.2/TU.00.09/2017 pada tanggal 13 Desember 2017 perihal tersebut diatas, dengan ini diberitahukan bahwa kami dapat menerima mahasiswa saudara :

No	Nama	NIM	Prodi
1	Retro Puspitaningrum	05211440000035	Statistika FMKSD

Untuk melaksanakan Pengambilan Data Tugas Akhir dengan judul Pengendalian Kualitas di PG. Rejo Agung Baru Medan pada tanggal 03 Januari 2018 s.d 03 Februari 2018 di bagian Quality Control dengan peraturan sebagai berikut :

1. Mahasiswa wajib mengikuti kedisiplinan/turutan-aturan yang berlaku di PG. Rejo Agung Baru.
2. Perusahaan tidak menyediakan akomodasi.
3. Apabila terjadi kecelakaan, akibat tidak disiplin pada point 1, maka Mahasiswa harus mempertanggung jawabkannya.
4. Mahasiswa Wajib Menyediakan Alat Pelindung Diri (APD)

Demikian, harap untuk dijadikan periksa.

Hormat kami,

an

PG. Rajawali I
Institut Rajawali Baru

Zainal Arifin
General Manager

Lampiran S. Surat Keterangan Pengambilan Data

SURAT KETERANGAN

Saya yang bertandatangan di bawah ini menerangkan bahwa:

1. Mahasiswa Statistika FMKSD ITS dengan identitas berikut:

Nama : Retno Puspitaningrum

NRP : 062114 4000 0035

Telah mengambil data di instansi/perusahaan kami:

Nama Instansi : PG Rejo Agung Baru Madiun

Divis/bagian : *Quality Control*

sejak tanggal 1 Januari 2018 sampai dengan 31 Januari 2018 untuk keperluan Tugas Akhir/Thesis Semester Gasal/Genap* 2017/2018.

2. Tidak Keberatan/~~Keberatan~~* nama perusahaan dicantumkan dalam Tugas Akhir/~~thesis~~-mahasiswa Statistika yang akan disimpan di Perpustakan ITS dan dibaca lingkungan ITS.
3. Tidak Keberatan/~~Keberatan~~* bahwa hasil analisis data dari perusahaan dipublikasikan dalam E jurnal ITS yaitu Jurnal Sains dan Seni ITS.

Madiun, 2 April 2018
Manager *Quality Control*
PG Rejo Agung Baru Madiun

PG. Rajawali I
Unit PG Rejo Agung Baru

Margono

*(coret yang tidak perlu)

(Halaman ini sengaja dikosongkan)

BIODATA PENULIS



Penulis bernama Retno Puspitaningrum yang biasa dipanggil Retno lahir di Ngawi, 27 maret 1996. Penulis adalah anak kedua dari pasangan Suami Istri Sumiyardi dan Sri Isti Utami. Pendidikan yang pernah ditempuh adalah SDN 2 Karangjati, SMP negeri 2 Ngawi, dan SMA Negeri 3 Madiun. Setelah lulus dari SMA penulis diterima di Jurusan Statistika ITS dengan NRP 1314100035. Organisasi kampus yang pernah diikuti yaitu sebagai Staff *Public Relation* Divisi *Statictic Computer Course* HIMASTA-ITS periode 2015-2016 dan sebagai Manajer *Public Relation* Divisi *Statictic Computer Course* HIMASTA-ITS periode 2016-2017. Selain itu penulis termasuk dalam Sie Acara STATION, salah satu rangkaian acara Pekan Raya Statistik Tahun. Pengalaman tersebut memberikan pelajaran bagi penulis untuk mengetahui bagaimana kondisi dunia pekerjaan yang sebenarnya baik di perusahaan maupun di bidang akademik. Segala kritik dan saran akan diterima oleh penulis untuk perbaikan kedepannya. Jika ada keperluan atau ingin berdiskusi dengan penulis dapat dihubungi melalui email: retnopuspita1996@gmail.com.